



UNIVERSITAS INDONESIA

**OPTIMASI PERANCANGAN RANGKAIAN TERINTEGRASI  
*OPERTIONAL AMPLIFIER DUA TINGKAT*  
FREKUENSI RENDAH**

**SKRIPSI**

**ARIF ISMAIL HUSIN  
06 06 04 2304**

**FAKULTAS TEKNIK UNIVERSITAS INDONESIA  
PROGRAM STUDI TEKNIK ELEKTRO  
DEPOK  
JULI, 2009**



UNIVERSITAS INDONESIA

**OPTIMASI PERANCANGAN RANGKAIAN TERINTEGRASI  
*OPERTIONAL AMPLIFIER DUA TINGKAT*  
FREKUENSI RENDAH**

**SKRIPSI**

**Diajukan untuk melengkapi  
sebagian persyaratan menjadi sarjana teknik**

**ARIF ISMAIL HUSIN**

**06 06 04 2304**

**FAKULTAS TEKNIK UNIVERSITAS INDONESIA  
PROGRAM STUDI TEKNIK ELEKTRO  
DEPOK  
JULI, 2009**

## **HALAMAN PENGESAHAN**

Skripsi ini diajukan oleh : Arif Ismail Husin  
Nama : 06 06 04 2304  
NPM : Teknik Elektro  
Program Studi : Optimisasi Perancangan Rangkaian Terintegrasi  
Judul Skripsi : *Operational Amplifier* Dua Tingkat Frekuensi  
Rendah.

**Telah berhasil dipertahankan di hadapan Dewan Penguji dan diterima sebagian persyaratan yang diperlukan untuk memperoleh gelar Sarjana Teknik pada Program Studi Teknik Elektro, Fakultas Teknik, Universitas Indonesia.**

### **DEWAN PENGUJI**

Pembimbing : Dr.Ir.Agus Santoso Tamsir, M.T. (.....)

Penguji : Prof.Dr.Ir.Harry Sudibyo S.D.EA (.....)

Penguji : Dr.Ir.Purnomo Sidi Priambodo, M.Sc. (.....)

Ditetapkan di : Depok

Tanggal : 7 Juli 2009

## **HALAMAN PERNYATAAN ORISINALITAS**

Skripsi ini adalah hasil karya saya sendiri,

dan semua sumber baik yang dikutip maupun dirujuk

telah saya nyatakan dengan benar.

Nama : Arif Ismail Husin

NPM : 0606042304

Tanda Tangan :

Tanggal : 7 Juli 2009

## KATA PENGANTAR

Puji syukur dipanjatkan kepada Allah SWT atas segala Karunia dan Rahmat-Nya sehingga skripsi ini dapat terselesaikan. Penulisan skripsi ini dilakukan dalam rangka memenuhi salah satu syarat untuk mencapai gelar Sarjana Teknik Departemen Teknik Elektro pada Fakultas Teknik Universitas Indonesia. Saya menyadari bahwa tanpa bantuan dan bimbingan dari berbagai pihak, dari masa perkuliahan sampai pada penyusunan skripsi ini, sangatlah sulit bagi saya untuk memperoleh gelar sarjana. Oleh karena itu, saya mengucapkan terima kasih kepada :

- (1) Ibunda tercinta dan Almarhum Ayahanda yang telah membimbing dan memberi dukungan moril maupun materil
- (2) Dr.Ir.Agus Santoso Tamsir, MT, selaku dosen pembimbing yang telah menyediakan waktu, tenaga dan pikiran untuk mengarahkan saya dalam penmyusunan skripsi ini.
- (3) Umi Kulsum dan Taufiq Alief yang telah membantu baik tenaga maupun pikirannya dalam penyelesaian skipsi ini.
- (4) Teman-teman elektro khususnya ekstensi angkatan 2006 yang telah banyak membantu saya dalam penyelesaian skripsi ini.
- (5) Rekan-rekan Wartawan Telko, PT Lanskap Media Kreasi atas dukungannya selama ini.

Akhir kata, semoga Allah SWT membalas segala kebaikan semua pihak yang telah membantu penyusunan skripsi ini dengan balasan yang lebih baik. Semoga skripsi ini membawa manfaat yang besar bagi pengembangan ilmu pengetahuan dan teknologi.

Depok, 7 Juli 2009

Penulis

## HALAMAN PERNYATAAN PERSETUJUAN PUBLIKASI TUGAS AKHIR UNTUK KEPENTINGAN AKADEMIS

---

Sebagai civitas akademik Universitas Indonesia, saya yang bertanda tangan dibawah ini:

Nama : Arif Ismail Husin  
NPM : 0606042304  
Program Studi : Teknik Elektro  
Departemen : Teknik Elektro  
Fakultas : Teknik  
Jenis Karya : Skripsi

demi perkembangan ilmu pengetahuan, menyetujui untuk memberikan kepada Universitas Indonesia **Hak Bebas Royalti Noneksklusif (Non-exclusive Royalty-Free Right)** atas karya ilmiah saya yang berjudul :  
Optimasi Perancangan Rangkaian Terintegrasi Operational Amplifier Dua Tingkat Frekuensi Rendah

Beserta perangkat yang ada (jika diperlukan). Dengan Hak Bebas Royalti Noneksklusif ini Universitas Indonesia berhak menyimpan, mengalihmedia/format-kan, mengelola dalam bentuk pangkalan data (*database*), merawat, dan mempublikasikan tugas akhir saya selama tetap mencantumkan nama saya sebagai penulis/pencipta dan sebagai pemilik Hak Cipta.

Demikian pernyataan ini saya buat dengan sebenarnya.

Dibuat di : Depok  
Pada tanggal : 7 Juli 2009  
Yang menyatakan

( Arif Ismail Husin)

## ABSTRAK

Nama : Arif Ismail Husin  
Program Studi : Teknik Elektro  
Judul : Optimisasi Perancangan Rangkaian Terintegrasi *Operational Amplifier* Dua Tingkat Frekuensi Rendah

Slewrate merupakan salah satu parameter terpenting op-amp. Untuk mendeteksi pergeseran fasa, parameter *Slewrate* harus dilihat. Hal tersebut dikarenakan hubungan antara *Slewrate* dengan frekuensi akan menghasilkan akurasi yang digunakan untuk membaca keluaran. Untuk perancangan ini menggunakan rangkaian dua tingkat op-amp. Dalam rangkaian dua tingkat dihasilkan nilai *Slewrate* sebesar  $20 \text{ V}/\mu\text{s}$ . Nilai tersebut didapat dengan menggunakan teknologi  $0.4 \mu\text{m}$  untuk parameter MOS. Sehingga dengan merubah nilai *Capasitor Load* untuk tegangan masukkan  $V_{DD}$  5 V dan 3.3 V. Dengan slewrate sebesar  $20 \text{ V}/\mu\text{s}$  didapatkan nilai lebar pulsa dengan akurasinya sebesar  $0.7^\circ$  untuk 5V dan  $0.46^\circ$  untuk 3.3 V. Hasil itu didapat untuk nilai *Capasitor Load* sebesar 1800 pF.

Kata kunci:

*Slew Rate, Operational Amplifier Dua Tingkat*

## **ABSTRACT**

Name : Arif Ismail Husin  
Study Program: Electrical Engineering  
Title : Design Optimization of Two Stage Operational Amplifier Integrated Circuit for Low Frequency

Slewrate is one of the most important parameter op-amp. To detecting the phase shift, the parameters should be seen Slewrate. That is because the relationship between the frequency Slewrate will producing accuracy that is used to read the output. For this design uses of two stage operational amplifier. In a circuit of two stage operational amplifier value generated Slewrate of  $20 \text{ V} / \mu\text{s}$ . Value is obtained by using  $0.4 \mu\text{m}$  technology for the parameters of MOS. So with the value Capacitor Load to enter  $V_{DD}$  voltage  $5 \text{ V}$  and  $3.3 \text{ V}$ . With slewrate of  $20 \text{ V} / \mu\text{s}$  founded bandwidth with the accuracy of  $0.7^\circ$  for  $5\text{V}$  and  $0.46^\circ$  to  $3.3 \text{ V}$ . Results are obtained for the values of Capacitor Load  $1800 \text{ pF}$ .

key words:  
Slew Rate, Two Stage Operational Amplifier

## DAFTAR ISI

<b>HALAMAN JUDUL .....</b>	i
<b>HALAMAN PERNYATAAN ORISINALITAS .....</b>	ii
<b>HALAMAN PENGESAHAN .....</b>	iii
<b>KATA PENGANTAR .....</b>	iv
<b>LEMBAR PERSETUJUAN PUBLIKASI KARYA ILMIAH .....</b>	v
<b>ABSTRAK .....</b>	vi
<b>ABSTRACT .....</b>	vii
<b>DAFTAR ISI.....</b>	viii
<b>DAFTAR TABEL .....</b>	x
<b>DAFTAR GAMBAR.....</b>	xi
<b>DAFTAR LAMPIRAN .....</b>	xii
<b>1. PENDAHULUAN</b>	
1.1 Latar belakang .....	1
1.2 Tujuan .....	2
1.2 Batasan Masalah .....	2
1.3 Sistematika Penulisan .....	3
1.4 Metode Penulisan Skripsi.....	3
<b>2. LANDASAN TEORI</b>	
2.1 <i>Operational Amplifier</i> .....	5
2.1.1. Pengertian Dasar .....	5
2.1.2. Karakteristik <i>Operational Amplifier</i> .....	6
2.1.2.1. Penguatan Loop Terbuka ( <i>Open Loop</i> ).....	6
2.1.2.2. CMRR .....	7
2.1.2.3. Tegangan <i>Offset</i> .....	8
2.1.2.4. Arus Bias <i>Input</i> .....	9
2.1.2.5. Impedansi <i>Input</i> .....	9
2.1.2.6. Impedansi <i>Output</i> .....	10
2.1.2.7. Arus <i>Offset Input</i> .....	10
2.1.2.8. <i>Slew Rate</i> .....	11
2.1.2.9. Lebar Pita (Bandwidth / BW) .....	12
2.1.2.10. Karakteristik Tidak Berubah Dengan Suhu .....	12
2.2 MOS .....	12
2.2.1 Karakteristik MOS .....	14
<b>3. METODE PERANCANGAN RANGKAIAN PENGUAT OPERASI FREKUENSI RENDAH</b>	
3.1 Dasar Perancangan.....	17
3.2 Parameter MOS .....	19
3.3 Parameter <i>Operational Amplifier</i> .....	24
3.4 Perancangan Rangkaian Penguat Operasi Dua Tingkat Frekuensi Rendah.....	26
3.4.1. <i>Capasitor Load</i> ( $C_L$ ).....	27
3.4.2. <i>Slewrate</i> .....	27
3.4.3 <i>Gain Bandwidth</i> (GBW) .....	28

3.4.4. $V_{DD}$ dan $V_{SS}$ .....	28
3.4.5. $g_m$ .....	28
3.4.6. $S_7$ .....	29
3.5. Proses Simulasi Rangkaian .....	30
<b>4. KAJIAN PERHITUNGAN DAN ANALISA RANGKAIAN PENGUAT OPERASI FREKUENSI RENDAH</b>	
4.1 Kajian Penentuan Parameter MOS.....	32
4.2 Analisa Data .....	46
<b>5. PENUTUP</b>	
6.1 KESIMPULAN .....	48
6.2 SARAN .....	48
<b>DAFTAR ACUAN</b> .....	50
<b>DAFTAR REFERENSI</b> .....	51
<b>LAMPIRAN</b> .....	52

## DAFTAR TABEL

Tabel 2.1	Parameter <i>Operational Amplifier</i> .....	7
Tabel 3.1	Akurasi <i>Slewrate</i> Terhadap Frekuensi .....	16
Tabel 3.2	Untung Rugi Rangkaian Op-amp.....	18
Tabel 3.3	Mobilitas unsur untuk doping semikonduktor .....	19
Tabel 3.4	Parameter MOS $0.4\mu\text{m}$ .....	21
Tabel 4.1	Parameter CMOS yang digunakan.....	29
Tabel 4.2	Parameter Masukkan yang digunakan .....	30
Tabel 4.3	Keluaran untuk $V_{DD}/V_{SS}$ 5 V dan $C_L$ 1800pF .....	35
Tabel 4.4	Paramettermasukkan yang digunakan.....	37
Tabel 4.5	Keluaran untuk $V_{DD}/V_{SS}$ 3.3 V dan $C_L$ 1800pF .....	37
Tabel 4.6	Kurva perubahan <i>Slewrate</i> pada Frekuensi.....	42

## DAFTAR GAMBAR

Gambar 2.1	Simbol Operational Amplifier.....	4
Gambar 2.2	Penguatan differensial.....	5
Gambar 2.3	Blok diagram Operational Amplifier.....	6
Gambar 2.4	Jenis MOS.....	14
Gambar 3.1	Kurva Perbandingan <i>Slewrate</i> dan FPBW .....	15
Gambar 3.2	Blok diagram untuk perinsip dasar perancangan .....	17
Gambar 3.3	Total impurity concentration trhadap mobility .....	19
Gambar 3.4	Rangkaian Operational Amplifier dua tingkat .....	22
Gambar 3.5	Perancangan Masukkan dan keluaran .....	22
Gambar 3.6	parameter Operational Amplifier dua tingkat .....	24
Gambar 3.7	rangkaian Operational Amplifier Dua tingkat dengan kompensasi miller .....	27
Gambar 4.1	Perubahan S1 terhadap <i>Slewrate</i> dan CL .....	31
Gambar 4.2	Perubahan S3 terhadap <i>Slewrate</i> dan CL .....	31
Gambar 4.3	Perubahan S5 terhadap <i>Slewrate</i> dan CL .....	32
Gambar 4.4	Perubahan S7 terhadap <i>Slewrate</i> dan CL .....	33
Gambar 4.5	Perubahan $V_{DS5}$ terhadap <i>Slewrate</i> dan CL.....	33
Gambar 4.6	Perubahan S6 terhadap <i>Slewrate</i> dan CL .....	34
Gambar 4.7	Perubahan $A_V$ terhadap <i>Slewrate</i> dan CL .....	34
Gambar 4.8	Perubahan Disipasi Daya terhadap <i>Slewrate</i> dan CL.....	35
Gambar 4.9	Perubahan $I_5$ terhadap <i>Slewrate</i> dan CL .....	36
Gambar 4.10	Hubungan perubahan CL terhadap Disipasi Daya.....	38
Gambar 4.11	Hubungan Perubahan CL Terhadap Besaran S .....	38
Gambar 4.12	Hubungan perubahan <i>Slewrate</i> terhadap disipasi daya.....	39
Gambar 4.13	Hubungan perubahan <i>Slewrate</i> terhadap S .....	39
Gambar 4.14	Hubungan Perubahan <i>Slewrate</i> terhadap $A_V$ .....	40
Gambar 4.15(a)	Hasil diagram bode .....	41
Gambar 4.15(b)	Hasil Respons sistem .....	41
Gambar 4.16	Kurva Perbandingan <i>Slewrate</i> dan FPBW .....	42

## **DAFTAR LAMPIRAN**

Lampiran A	Keluaran <i>Operational Amplifier 5V</i> .....	49
Lampiran B	Keluaran <i>Operational Amplifier 3.3V</i> .....	57
Lampiran C	Hasil Perhitungan.....	62

## BAB 1

### PENDAHULUAN

#### 1.1 LATAR BELAKANG

Sejak ditemukannya bahan baku semikonduktor pada tahun 1947 oleh John Bardeen dan Walter Brattain[3], bagi dunia elektronik menjadi begitu penting. Dengan bahan baku Semikonduktor perancangan transistor yang pada awalnya menggunakan tabung kini dapat diubah menjadi sebuah komponen kecil

Dewasa ini bahan baku semikonduktor dapat membuat sebuah komponen yang di dalamnya terdapat rangkaian terintegrasi, atau lebih dikenal dengan istilah IC (*Integrated Circuit*).

Dalam sebuah perancangan IC diperlukan rangkaian elektronik yang menggunakan bahan baku semikonduktor, baik itu Silicon (Si) ataupun Germanium (Ge). Pemilihan bahan baku semikonduktor akan berpengaruh terhadap karakteristik dari IC tersebut. Saat ini hampir semua IC menggunakan semikonduktor dari bahan silicon.[1]

Biasanya didalam IC terdapat komponen elektronik yang berbahan semikonduktor, seperti Transistor. Didalam komponen transistor terdapat elektron dan *Hole* yang saling mengikat. Untuk menentukan tipe dari transistor diperlukan manipulasi elektron dan *Hole*. Kelebihan *Hole* akan mengakibatkan semikonduktor itu disebut tipe-p, sedangkan kelebihan elektron akan disebut tipe-n.

Komponen-komponen semikonduktor yang banyak dikenal dengan BJT (Bipolar Junction Transistor), JFET (Junction Gate Field Effect Transistor), MOSFET (Metal Oxide Semiconductor Field Effect Transistor) dan lain sebagainya akan membentuk sebuah rangkaian terintegrasi jika salah satu jenisnya di kumpulkan. Salah satunya adalah pada Op-Amp.

Didalam komponen Op-Amp (*Operational Amplifier*) umumnya terdapat duah buah komponen transistor yang memiliki dua buah masukkan dengan satu keluaran, dimana transistor tersebut mendapatkan tegangan masukkan. Op-Amp dapat berfungsi sebagai penguatan inverting, penguatan non-inverting, filter,

integrator dan differensiator. Disetiap fungsi Op-Amp dapat ditentukan hasil keluaran yang diharapkan, sehingga untuk mengoptimisasi keluaran Op-Amp harus melihat dari karakteristik Op-Amp itu sendiri.

Sebagai contoh dalam pergeseran fasa, dalam karakteristik Op-Amp yang digunakan untuk pergeseran fasa didapat sebuah parameter yang disebut *Slewrate*. *Slewrate* dapat menyebabkan tingkat keakurasan perubahan tegangan keluaran pada periода tertentu.

*Slewrate* yang besar tidak dapat dimiliki oleh semua Op-Amp, sebab setiap Op-Amp dirancang dengan memiliki fungsinya masing-masing. Jika ingin merancang Op-Amp dengan tingkat penguatan yang besar maka nilai *Slewrate* akan kecil, tetapi jika menginginkan sebuah Op-Amp dengan kecepatan tinggi maka nilai *Slewrate* akan semakin besar.

*Telescopic, Folded, Two stage, Gain Boosted*, adalah jenis-jenis rangkaian dalam dari sebuah Op-Amp yang memiliki keunggulan dan kelemahan dari masing-masing rangkaian. Pada Skripsi kali ini *Two Stage Operational Amplifier* digunakan untuk merancang sebuah Op-Amp. Pada perancangan *Two Stage Operational Amplifier* akan menghasilkan keluaran dengan *Gain* tinggi, *swing output* sangat tinggi, rendah *noise*, dan menghasilkan *Speed* yang rendah.

## 1.2 TUJUAN

Tujuan dari perancangan *Operational Amplifier* adalah untuk dicapainya *Operational Amplifier* yang dapat bekerja pada frekuensi rendah, yaitu 30 KHz. Frekuensi tersebut digunakan untuk membaca sensor dengan melihat pergeseran fasa antara tegangan masukkan dan tegangan keluaran. Sehingga dengan frekuensi kerja 30 KHz didapatkan nilai *Slewrate* dalam *Operational Amplifier* dua tingkat mencapai menjadi maksimal. Nilai *Slewrate* yang maksimal akan menghasilkan tingkat ketelitian yang tinggi untuk membaca perubahan tegangan keluaran pada perioda tertentu

## 1.3 BATASAN MASALAH

Perancangan *Operational Amplifier* menggunakan rangkaian yang berjenis dua tingkat. Dengan menggunakan berbagai persamaan yang mengacu pada

syarat, maka didapatkan sebuah hasil perhitungan yang diinginkan dengan menggunakan *Microsoft Excel* untuk mempermudah pencarian hasilnya. Setelah itu, dicari tingkat kestabilannya dengan menggunakan *Mathlab 7.1*.

#### **1.4 METODOLOGI PENGERJAAN**

Metode yang digunakan yaitu, mementukan besaran dari parameter-parameter yang diperlukan untuk merancang sebuah *Operational Amplifier* dua tingkat dengan menentukan parameter bebas dan parameter tetap. Parameter bebas adalah parameter yang nilainya dapat diubah-ubah. Dalam hal ini parameter yang diubah adalah nilai *Slewrate* dari 10 V/ $\mu$ s hingga 100 V/ $\mu$ s, Nilai Kapasitor *Load* dari 800 pF sampai 2900 pF dengan tegangan masukkan sebesar 3.3 V dan 5V. Sedangkan parameter tetap adalah parameter MOS yang meliputi  $\lambda_P$ ,  $\lambda_N$ , *tox*,  $\mu_n$ ,  $\mu_p$ ,  $N_A$ ,  $N_D$ ,  $K_N$ ,  $K_P$  dan yang terakhir adalah *Gain Bandwidth*.

Selanjutnya, dari parameter tersebut dapat ditentukan besaran *Slewrate*,  $A_V$ , dan  $S(W/L)$  yang mengacu pada kemungkinan - kemungkinan yang bisa diambil dengan mengacu pada beberapa syarat, seperti: nilai *S* lebih besar dari 1,  $V_{DS5}$  lebih besar dari 100 mV dan *Gain* harus lebih besar dari 5000 V/V. .

#### **1.5 SISTEMATIKA PENULISAN**

Adapun sistematika yang digunakan dalam penyusunan seminar ini adalah sebagai berikut :

**BAB I PENDAHULUAN**

Berisi tentang latar belakang, tujuan penulisan, batasan masalah, metodologi penggerjaan dan sistematika

**BAB II LANDASAN TEORI**

Berisi tentang Teori-Teori *Operational Amplifier*, karakteristik MOS untuk perancangan

**BAB III METODE PERANCANGAN RANGKAIAN PENGUAT OPERASI DUA TINGKAT FREKUENSI RENDAH**

Berisi tentang metode –metode yang dilakukan saat perancangan  
IC OpAmp

**BAB IV KAJIAN PERHITUNGAN DAN ANALISA PANGKAIAN**

**PENGUAT DUA TINGKAT FREKUENSI RENDAH**

Berisi pengujian hasil perhitungan yang dilakukan saat merancang  
dan dianalisa berdasarkan teori-teori penunjang

**BAB V KESIMPULAN DAN SARAN**

Bab ini berisi kesimpulan yang berasal dari analisa.

## BAB 2

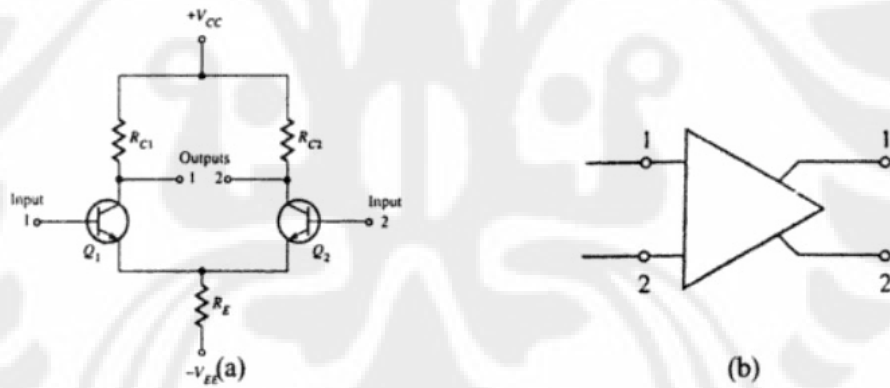
### LANDASAN TEORI

#### 2.1 Operational Amplifier

Penguat operasi (*Operational Amplifier*) atau sering disingkat dengan Op-Amp yaitu komponen elektronika yang merupakan suatu rangkaian *integrated circuit*. Rangkaian dasar opamp terdiri dari suatu rangkaian *differential amplifier*[3]

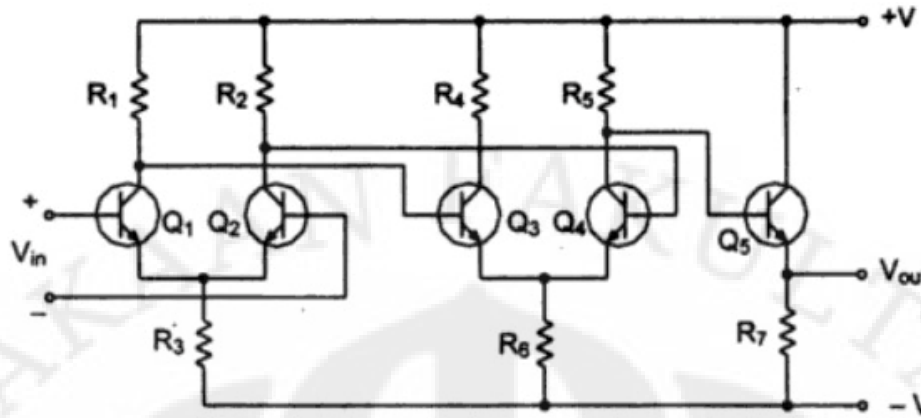
##### 2.1.1 Pengertian Dasar

Op-Amp adalah komponen elektronika yang merupakan suatu rangkaian *integrated circuit*. Rangkaian dasar Op-Amp terdiri dari suatu rangkaian *differential amplifier*. Salah satu contoh sederhana rangkaian *differential amplifier*. Seperti pada gambar 2.1a, dan simbolnya seperti pada gambar 2.1b.



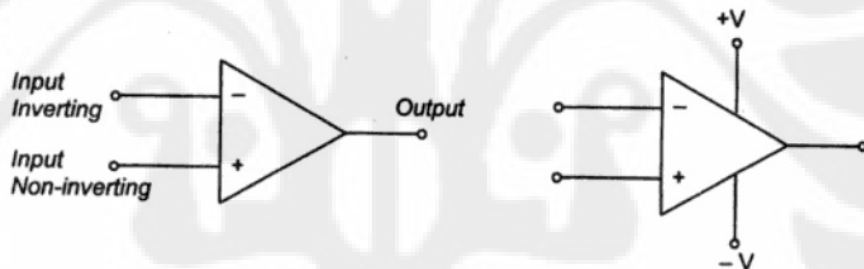
Gambar 2.1. *Differential Amplifier*[3]

Pada Op-Amp terdapat lebih dari satu rangkaian *differential amplifier*. Salah satu contoh rangkaian sederhana *operational amplifier* seperti pada gambar 2.2 yang terdiri atas dua tingkat rangkaian *differential amplifier*, dan pada *output* terdapat rangkaian *emitter follower*.



Gambar 2.2. Rangkaian sederhana Op-Amp[3]

Pada Op-Amp terdapat 2 *input* yang merupakan *input* dari *differential amplifier* tngkat ke-1 dan sebuah *output*. *Input*-*input* dari Op-Amp, yaitu *inverting input* (-) dan *non-inverting input*(+). Seperti yang terlihat pada gambar 2.3 sebagai simbol dari Op-Amp.



Gambar 2.3. Simbol Op-Amp[3]

## 2.1.2 Karakteristik *Operational Amplifier*

### 2.1.2.1. Penguatan loop terbuka (*open loop*)

Penguatan loop terbuka dari suatu Op-Amp adalah penguatan pada *output* Op-Amp tanpa adanya umpan balik (*Feedback*) dari *output* ke salah satu *input*, Karena op-amp terdiri dari beberapa tingkat penguatan *differential amplifier* dan penguat lainnya pada tahap akhir rangkaian Op-amp. Sehingga dengan sendirinya penguatan akhir pada *output* Op-amp sangat tinggi. Idealnya, penguatan loop terbuka Op-amp adalah tak terhingga ( $=\infty$ ). Sesuai keterbatasan terhadap karakteristik komponen. Maka pada umumnya penguatan berkisar antara 50.000 s/d 200.000 Volt/Volt

### 2.1.2.2. CMRR

CMRR (*Common Mode Rejection Ratio*) merupakan parameter yang cukup penting untuk menunjukkan kinerja op-amp tersebut. Op-amp dasarnya adalah penguat diferensial dan mestinya tegangan *input* yang dikuatkan hanyalah selisih tegangan antara *input non-inverting* dengan *input inverting*. Karena ketidak-idealannya op-amp, maka tegangan persamaan dari kedua *input* ini ikut juga dikuatkan. CMRR yang makin besar maka Op-Amp diharapkan akan dapat menekan penguatan sinyal yang tidak diinginkan (*common mode*) sekecil-kecilnya.

*Common mode input* adalah kondisi di mana pada kedua *input* Op-Amp diberi sinyal yang sama besar dan juga polaritas yang sama (se-fasa)[3]. Jika kedua pin *input* dihubung singkat dan diberi tegangan, maka *output* Op-Amp dapat menghasilkan nol (=0). Dengan kata lain, dalam sebuah Op-Amp dengan memiliki nilai CMRR yang semakin besar akan menghasilkan Op-amp yang semakin baik.[11]

Seperti pada *differential amplifier*, maka pada Op-amp pun terjadi hal yang sama pada kondisi *common-mode input*. CMRR pada Op-Amp didefinisikan:

$$\text{CMRR} = \frac{A_{OL}}{A_{CM}} \quad (2.1)$$

Dimana :

$A_{OL}$  = Penguatan loop terbuka pada *output* opamp

$A_{cm}$  = penguatan pada *output* Opamp dengan kondisi common mode *input*

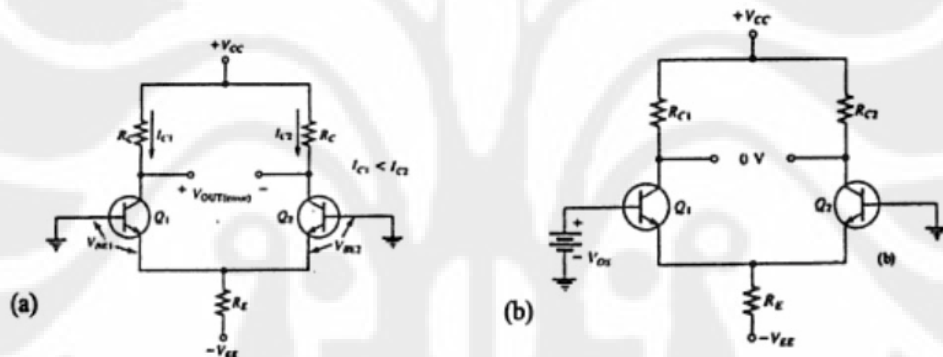
Biasanya CMRR pada data sheet dinyatakan dalam desibel, sehingga persamaannya menjadi:

$$\text{CMRR(dB)} = 20 \log \left[ \frac{A_{OL}}{A_{CM}} \right] \quad (2.2)$$

Berdasarkan persamaan diatas maka didapat Nilai CMRR dalam sebuah Op-Amp yang berada dipasaran berkisar antara 90 dB s/d 130 dB[3]

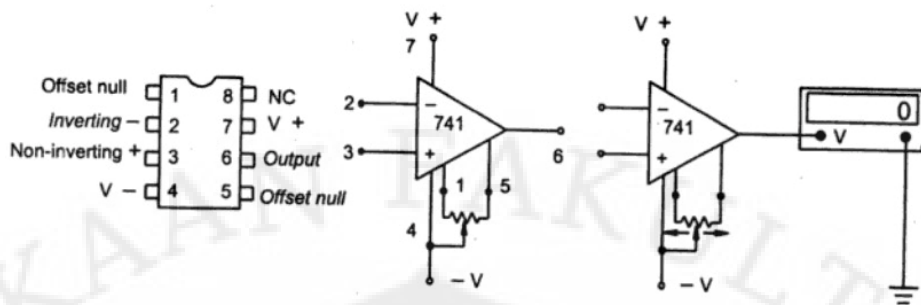
### 2.1.2.3. Tegangan Offset.

Akibat ketidak-samaan transistor Q1 dan Q2 pada *differential amplifier* yang merupakan bagian dari Op-Amp maka akan menyebabkan terjadinya tegangan *offset*. Tegangan *Offset* yaitu timbulnya tegangan DC pada *output*, meskipun dari *input* tidak ada sinyal, atau *input* di ketanahkan (*Ground*) seperti pada gambar 2.4a. hal ini disebabkan tidak samanya arus kolektor pada Q1 dan Q2. misalnya  $I_{C1} < I_{C2}$ , diakibatkan dari perbedaan tegangan pada basisnya ( $V_{BE1} > V_{BE2}$ ). Hal ini menimbulkan tegangan dc pada *output* dimana  $V_{out} = I_{C1} \cdot R_C - I_{C2} \cdot R_C$ . Tegangan DC *error* ini disebut dengan tegangan *offset*.



Gambar 2.4. Tegangan Offset Op-Amp[3]

Untuk menghindari tegangan *offset* pada *output*, pada salah satu *input* biasanya diberi tambahan tegangan dc, yaitu  $V_{os} = V_{BE1} - V_{BE2}$  yang menyebabkan  $V_{out} = 0$ . Penambahan tegangan pada salah satu *input* untuk menghilangkan terjadinya tegangan *offset* pada *output* disebut *offset input* ( $V_{os}$ ). Nilai tipikal tegangan *offset input* dari suatu Op-Amp kira-kira 2mV[3]. Biasanya pada setiap komponen opamp selalu diberikan kompensasi sebagai tegangan *offset input* yang dapat diatur, dan untuk menghasilkan tegangan *offset* pada *output* = 0 seperti terlihat pada gambar 2.5 dengan contoh komponen 741.



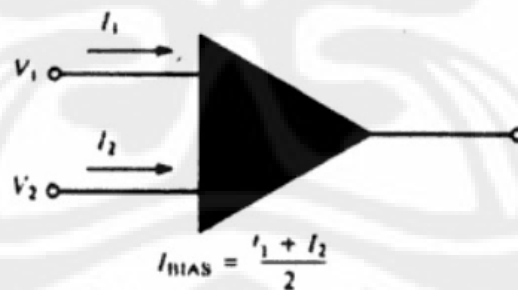
Gambar 2.5. Op-Amp 741[3]

Tegangan *offset input* akan berubah sesuai dengan perubahan temperatur yang terjadi pada Op-amp. Nilai tipikal untuk perubahan tegangan *offset input* akibat perubahan temperatur adalah sekitar  $5\text{mV}/{}^{\circ}\text{C}$  –  $50\text{\mu V}/{}^{\circ}\text{C}$ [3].

#### 2.1.2.4. Arus bias Input

Arus bias *input* didefinisikan sebagai arus rata-rata yang berasal dari Input Inverting dan Input Non-Inverting. Hal tersebut dapat dilihat pada gambar 2.6

$$I_{\text{Bias}} = \frac{(I_1 + I_2)}{2} \quad (2.3)$$



Gambar 2.6. Arus Bias Op-Amp[3]

#### 2.1.2.5. Impedansi Input

Idealnya, Impedansi *Input* Opamp tak terhingga. Sesuai dengan keterbatasan karakteristik komponen Op-Amp, maka nilai tipikal impedansi *input* Op-amp sekitar 2 Mohm s/d 100 Mohm, tetapi nilai Impedansi *input* tergantung dari jenis Op-Amp. Nilai impedansi *input* biasanya diukur pada kondisi tanpa

umpan balik. Apabila suatu umpan balik negatif (*negative feedback*) diterapkan, maka hambatan masukan *operational amplifier* akan meningkat.

Dalam suatu penguat, hambatan masukan yang besar adalah suatu hal yang diharapkan. Semakin besar hambatan masukan suatu penguat, maka semakin baik penguat tersebut dalam menguatkan sinyal yang amplitudonya sangat kecil. Dengan hambatan masukan yang besar, maka sumber sinyal masukan tidak terbebani terlalu besar.

#### **2.1.2.6. Impedansi Output**

Idealnya impedansi *Output* adalah 0 (nol), tetapi sesuai dengan keterbatasan karakteristik komponen, maka umumnya nilai tipikal untuk impedansi *output* Op-Amp adalah <100 ohm. Dalam kondisi praktis harga hambatan keluaran *operational amplifier* adalah antara beberapa ohm hingga ratusan ohm pada kondisi tanpa umpan balik. Dengan diterapkannya umpan balik, maka harga hambatan keluaran akan menurun hingga mendekati kondisi ideal

#### **2.1.2.7. Arus Offset Input**

Arus *Offset Input* didefinisikan dengan perbedaan arus masukkan pada *inverting* dan masukkan *non-inverting*. Arus Offset Input tertuang pada persamaan 2.4.

$$I_{OS} = [ I_1 - I_2 ] \quad (2.4)$$

Jika

$$V_{out} = I_1 \cdot R_{in} - I_2 R_{in} \quad (2.5)$$

$$= (I_1 - I_2) R_{in} \quad (2.6)$$

$$= I_{OS} R_{in} \quad (2.7)$$

Dan

$A_V$  = Penguatan loop terbuka Op-amp.

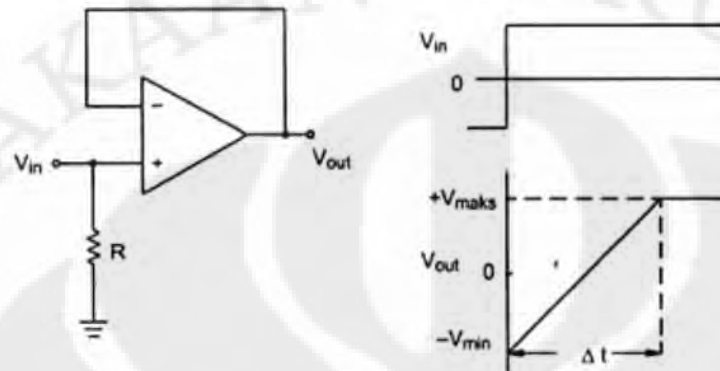
Maka tegangan *Offset* pada *Output*:

$$V_{Out} = A_V I_{OS} R_{in} \quad (2.8)$$

Nilai tipikal arus *offset input* adalah dalam orde: nano ampere (nA)

### 2.1.2.8. Slew Rate

*Slew rate* didefinisikan sebagai kecepatan maksimum perubahan tegangan *output* terhadap respon tegangan *input* dc (step *input* voltage) yang diberikan. Cara pengukuran slew rate seperti pada gambar 2.7.



Gambar 2.7. Grafik Pengukuran *Slewrate*[3]

$$\text{Slew rate (SR)} = \Delta V_{out} / \Delta t \quad (2.9)$$

$$\text{Dimana: } \Delta V_{out} = +V_{maks} - (-V_{maks}) \quad (2.10)$$

Sebagai ilustrasi, di bawah ini diberikan table (tabel 2.1) berisi nilai karakteristik-karakteristik Op-amp untuk beberapa tipe (semua parameter diukur pada temperatur 25°C)[3].

Tabel 2.1. Parameter beberapa Op-Amp[3]

Parameter	Tipe Op-Amp			
	741	LM101A	LM108	LM218
Tegangan <i>Offset Input</i>	1 mV	1 mV	0.7mV	2mV
Arus <i>Bias Input</i>	80 nA	120 nA	0.8 nA	120 nA
Arus <i>Offset Input</i>	20 nA	40 nA	0.05 nA	6 nA
Impedansi <i>Input</i>	2 MΩ	800 kΩ	70 MΩ	3 MΩ
Impedansi <i>Output</i>	75 Ω	-	-	-
Penguatan Loop Terbuka	200.000	160.000	300.000	200.000
<i>Slewrate</i>	0.5 V/μs	-	-	-
CMRR	90 dB	90 dB	100 dB	100 dB

#### **2.1.2.9. Lebar pita (*Band Width / BW*)**

Sebagian besar *operational amplifier* serba guna memiliki lebar pita hingga 1 MHz dan biasanya diterapkan pada sinyal dengan frekuensi beberapa kiloHertz, tetapi ada juga yang khusus dirancang untuk bekerja pada frekuensi tinggi (MegaHertz). *Operational amplifier* jenis ini juga harus didukung komponen eksternal yang dapat mengkompensasi frekuensi tinggi agar dapat bekerja dengan baik.

#### **2.1.2.10. Karakteristik tidak berubah dengan suhu**

Sebagai mana diketahui, suatu bahan semikonduktor yang akan berubah karakteristiknya apabila terjadi perubahan suhu yang cukup besar. Pada *operational amplifier* yang ideal, karakteristiknya tidak berubah terhadap perubahan suhu. Tetapi dalam prakteknya, karakteristik sebuah *operational amplifier* pada umumnya sedikit berubah, walaupun pada penerapan biasa, perubahan tersebut dapat diabaikan.[11]

Salah satu contoh *operational amplifier* yang digunakan sebagai *komparator* dalam membuat rangkaian elektronika adalah LTI806/LT807. LT1806/LT807 adalah *single/dual low noise rail-to-rail input* dan *output*, mempunyai *Gain-bandwidth* sebesar 325MHz, waktu tanggapan (*slew rate*) sebesar 140V/ $\mu$ s dan mempunyai arus keluaran 85 mA. *Operational amplifier* ini optimal digunakan untuk tegangan rendah dan mempunyai sistem pengkondisian sinyal dengan performansi tinggi.

### **2.2 MOS**

**Complementary metal–oxide–semiconductor (CMOS)** atau semikonduktor–oksida–logam komplementer, adalah sebuah jenis utama dari rangkaian terintegrasi. Teknologi MOS digunakan di mikroprosesor, pengontrol mikro, RAM statis, dan sirkuit logika digital lainnya. Teknologi CMOS juga digunakan dalam banyak sirkuit analog, seperti sensor gambar, pengubah data, dan trimancar terintegrasi untuk berbagai jenis komunikasi. Frank Wanlass berhasil mematenkan CMOS pada tahun 1967 (US Patent 3,356,858).

CMOS juga sering disebut *complementary-symmetry metal-oxide-semiconductor or COSMOS* (semikonduktor–logam–oksida komplementer-simetris). Kata komplementer-simetris merujuk pada kenyataan bahwa biasanya desain digital berbasis CMOS menggunakan pasangan komplementer dan simetris dari MOSFET semikonduktor tipe-p dan semikonduktor tipe-n untuk fungsi logika.

Dua karakter penting dari CMOS adalah kekebalan desahnya yang tinggi dan penggunaan daya statis yang rendah. Daya hanya diambil saat transistor dalam CMOS berpindah diantara kondisi hidup dan mati. Akibatnya, peranti CMOS tidak menimbulkan bahang sebanyak sirkuit logika lainnya, seperti logika transistor-transistor (TTL) atau logika NMOS, yang hanya menggunakan peranti tipe-n tanpa tipe-p. CMOS juga memungkinkan chip logika dengan kepadatan tinggi dibuat.

Kalimat "metal–oxide–semiconductor" atau semikonduktor–logam–oksida adalah sebuah sebutan pada struktur fisik beberapa transistor efek medan, memiliki gerbang elektroda logam yang terletak diatas isolator oksida logam, yang juga berada diatas bahan semikonduktor. Aluminium digunakan pertama kali, tetapi sekarang digunakan bahan polisilikon. Gerbang logam lain dibuat seiring kedatangan material dielektrik permitivitas tinggi didalam proses pembuatan CMOS, seperti yang diumumkan oleh IBM dan Intel untuk node 45 nanometer dan lebih kecil<sup>[1]</sup>.

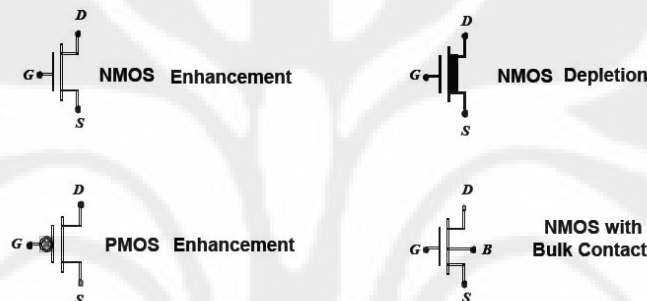
"CMOS" merujuk pada desain sirkuit digital tertentu, dan proses-proses yang digunakan untuk mengimplementasikan sirkuit tersebut dalam rangkaian terintegrasi. Sirkuit CMOS memberoskan lebih sedikit daya saat statis, dan memungkinkan penempatan sirkuit yang lebih padat daripada teknologi lain yang mempunyai fungsi sama. Saat keuntungan ini menjadi lebih diinginkan, proses CMOS dan variannya mendominasi sirkuit digital terintegrasi modern.

Sirkuit CMOS menggunakan kombinasi MOSFET tipe-n dan tipe-p untuk mengkonstruksi gerbang logika dan sirkuit digital yang ditemui di komputer, peralatan komunikasi, dan peralatan pemroses sinyal. Walaupun logika CMOS dapat dibangun dari komponen terpisah (seperti pada proyek pemula), biasanya produk CMOS adalah rangkaian terintegrasi yang terdiri dari jutaan transistor

pada sepotong silikon seluas antara 0,1 hingga 4 sentimeter persegi. Peranti tersebut biasanya disebut dengan chip, sedangkan untuk perindustrian juga disebut dengan die (tunggal) atau dice (jamak).

### 2.2.1 Karakteristik MOS

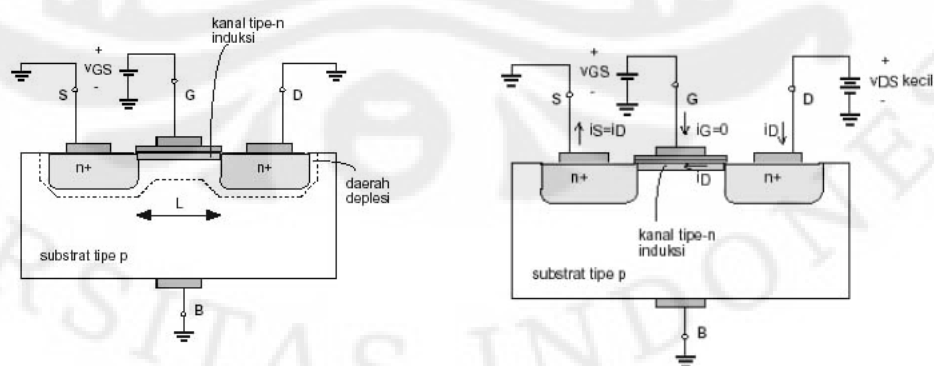
Sama seperti Transistor, MOS juga memiliki 3 buah kaki-kaki. Jika pada transistor dikenal dengan Base-Emitter-Collector, maka pada MOS dikenal dengan Gate-Drain-Source. Umumnya terdapat 2 buah jenis MOS. N-MOS dan P-MOS. Berikut ini adalah gambar dari macam-macam tipe MOS



Gambar 2.8. jenis MOS[12]

Karakteristik MOS dipengaruhi oleh besarnya tegangan Gate dengan Source dan tegangan Drain dengan Source sehingga dapat menghasilkan tegangan *threshold*. Hubungan tersebut tertuang pada persamaan 2.1. Gambar 2.9 menjelaskan tentang kanal MOS untuk tipe-n.

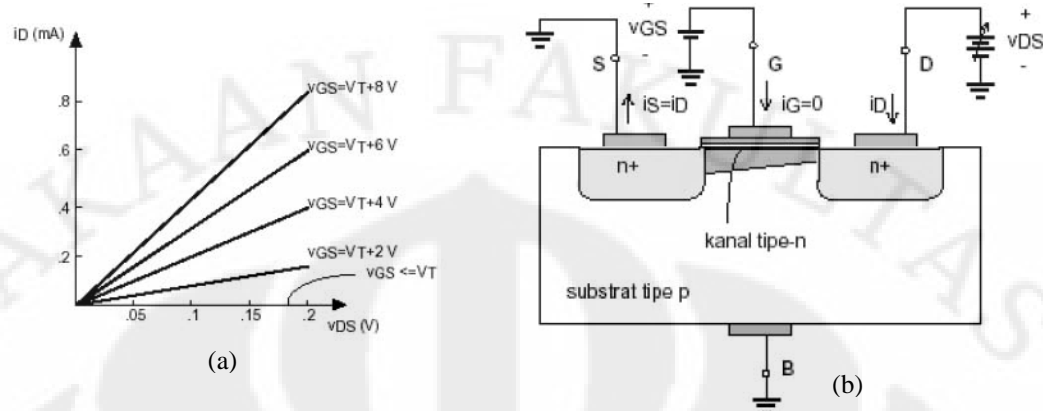
$$V_{DS} = V_{GS} - V_T \quad (2.11)$$



Gambar 2.9 Kanal N-MOS[14]

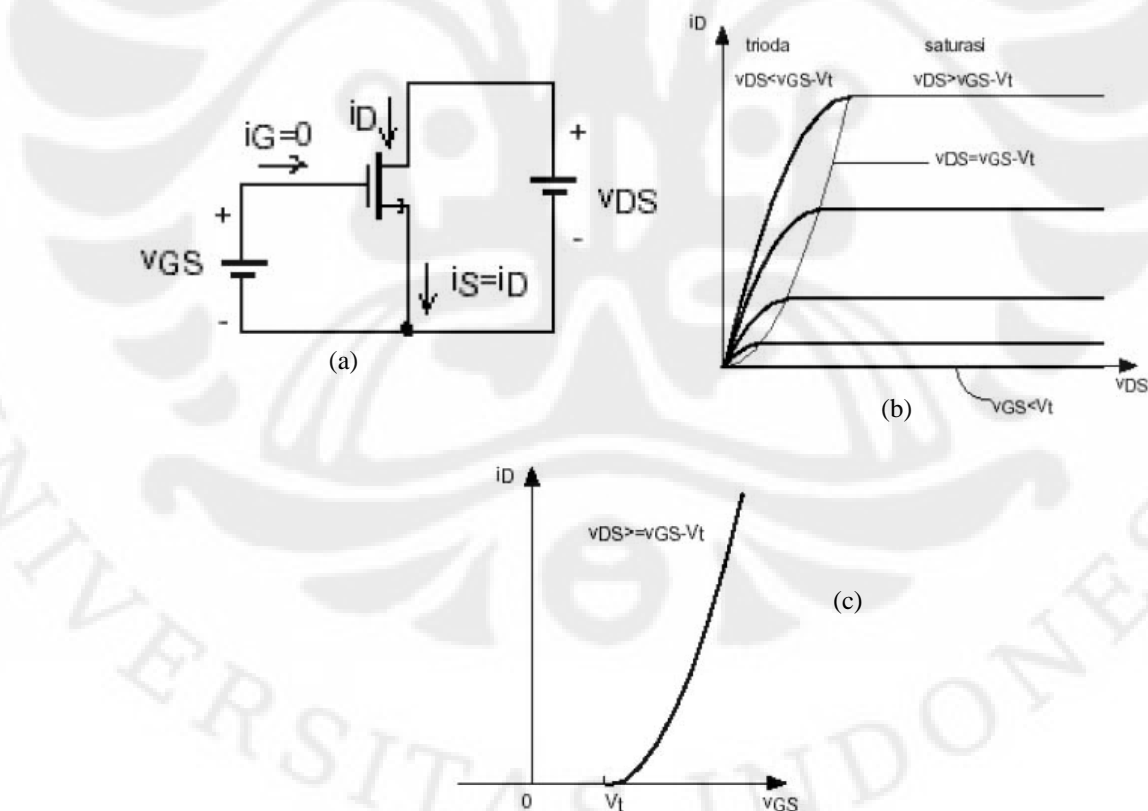
Dari persamaan 2.11 didapat hubungan perubahan tegangan yang menghasilkan Arus Drain. Arus Drain adalah arus yang berasal dari tegangan

masukkan ( $V_{DD}$ ) yang mengalir hingga ke Source. Hubungan Arus Drain Dengan  $V_{DS}$  akan menyebabkan timbulnya Gambar 2.10.



Gambar 2.10 a,b. Karakteristik  $I_D$  dengan  $V_{DS}$ [14]

Pada gambar 2.10 nilai  $V_{GS}$  tetap dan nilai tegangan Threshold juga tetap, sehingga perubahan yang terjadi pada  $V_{DS}$  akan menyebabkan perubahan  $I_D$ . Dalam aplikasinya perubahan Arus  $I_D$  bisa dilihat pada gambar 2.11.



Gambar 2.11 a,b,c Perubahan Arus Drain N-MOS[14]

Sehingga, pada gambar 2.11 a,b,c dapat ditentukan persamaan yang berhubungan dengan perubahan arus drain yang disebabkan oleh perubahan  $V_{GS}$  dan  $V_{DS}$ .

Dimana:

$V_{GS} < V_T$ ,  $I_D = 0$ , akan menyebabkan MOS tersebut dalam keadaan Cutoff.

$V_{GS} \geq V_T$ ,

Maka,

$$\text{Triode}, \quad I_D = K [2(V_{GS} - V_T) V_{DS} - V_{DS}^2] \quad (2.12)$$

$$\text{Saturasi} \quad I_D = K (V_{GS} - V_T)^2 \quad (2.13)$$

$$K = \frac{\mu_n C_{ox} (W / L)}{2} \quad (2.14)$$

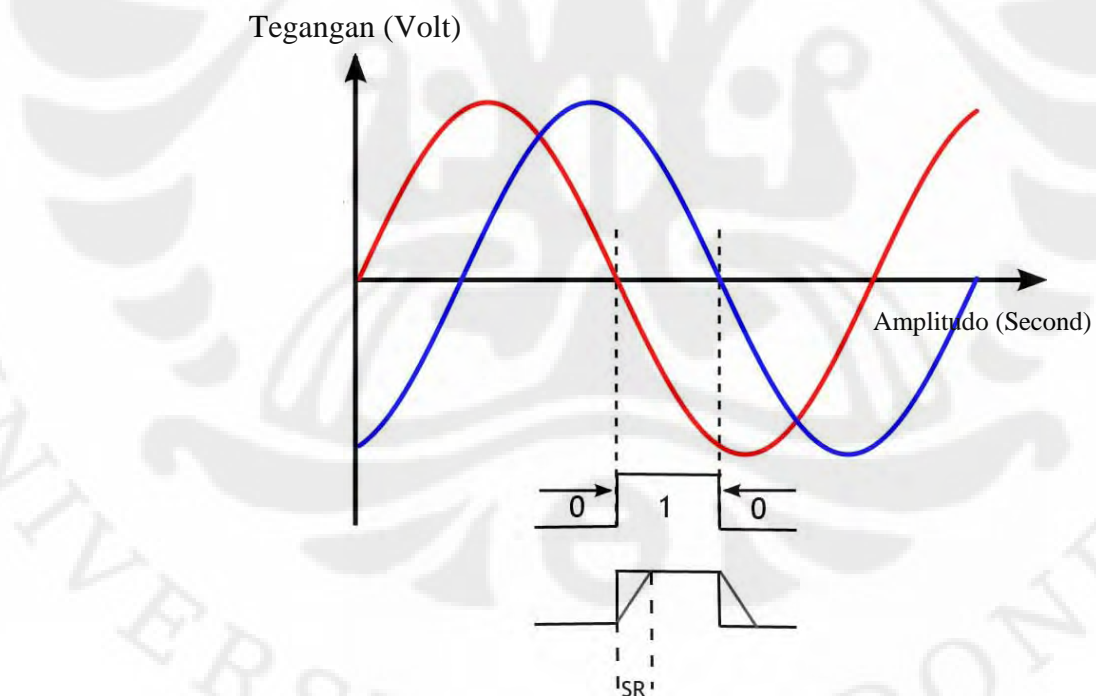
## BAB 3

### METODE PERANCANGAN RANGKAIAN PENGUAT OPERASI DUA TINGKAT FREKUENSI RENDAH

Pada bab ini akan dibahas mengenai metode-metode yang digunakan untuk merancang rangkaian penguat operasi dua tingkat agar mampu bekerja stabil pada frekuensi rendah

#### 3.1 Dasar Perancangan

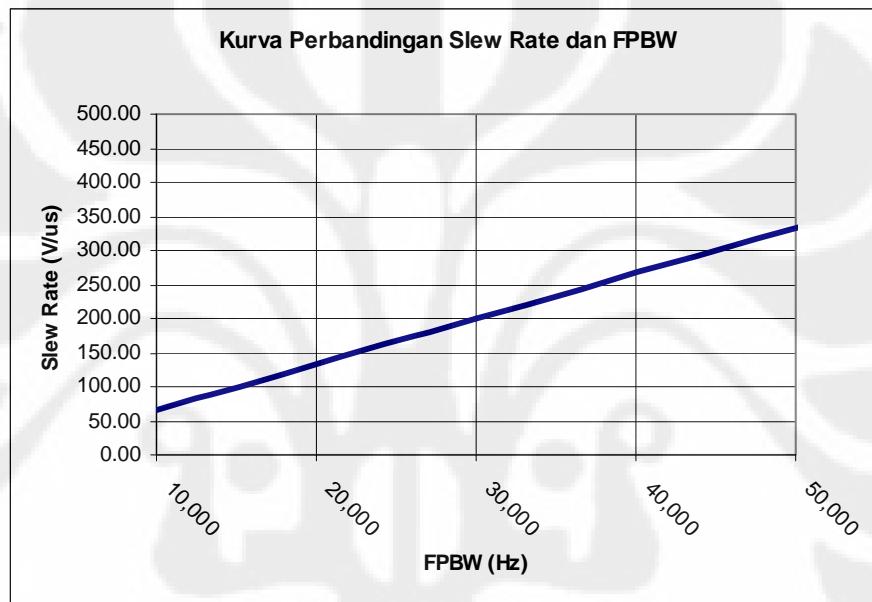
Perancangan ini didasari oleh terjadinya ketidak tepatan pengukuran pergeseran fasa yang terjadi antara masukan dan keluaran dari Op-Amp. Hal ini ditemui pada percobaan yang telah dilakukan dengan menggunakan Op-Amp yang memiliki Slew Rate 200 V/ $\mu$ S dengan frekuensi kerja sebesar 30 KHz. Sehingga bisa digambarkan hasil keluarannya gambar 3.1



Gambar 3.1 Pergeseran fasa

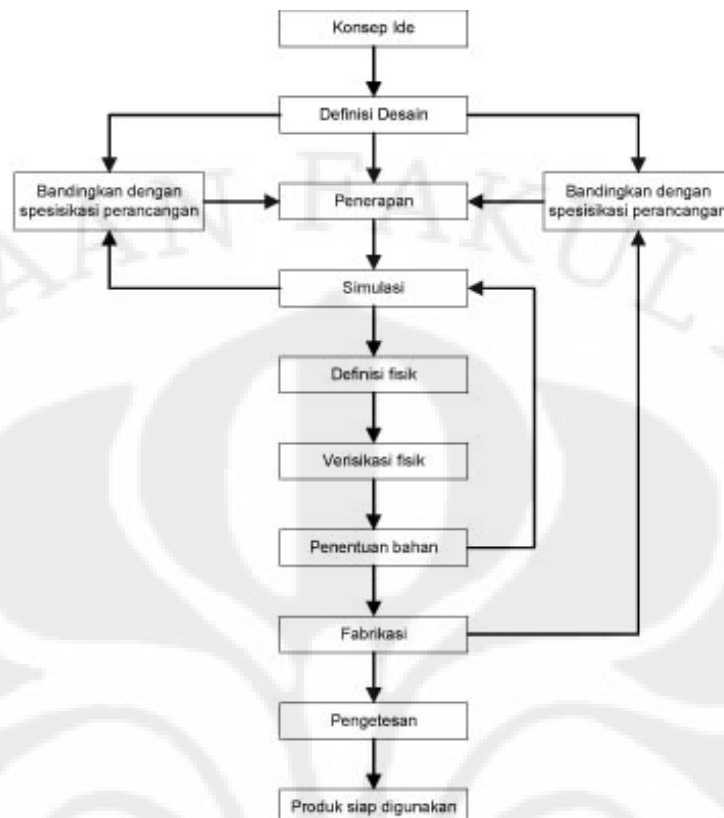
Pergeseran fasa terjadi disebabkan oleh besaran nilai impedansi ( $Z$ ) yang dipengaruhi oleh besaran nilai resistansi( $R$ ) dan kapasitansi ( $C$ ). Grafik pergeseran fasa bisa dilihat pada gambar 3.1.

Pada perancangan Taufik Alif [13] memiliki tingkat ketelitian pergeseran fasa kurang dari  $0.0446^\circ$  pada frekuensi kerja 30 KHz. Oleh karena itu, perancangan ini lebih dikhusukan untuk mendapatkan korelasi ketepatan yang tinggi dengan menggunakan rangkaian Op-Amp dua tingkat. Sehingga tingkat hubungan antara Slewrate dengan frekuensi kerja bisa dilihat pada gambar 3.2.



Gambar 3.2 Kurva perbandingan *slew rate* dan FPBW[13]

Setiap perancangan rangkaian terintegrasi memiliki banyak langkah – langkah yang harus dilakukan. Langkah-langkah perancangan sebuah rangkaian terintegrasi tertampil pada gambar 3.3. pada diagram alir gambar 3.3 dijelaskan bahwa, untuk merancang sebuah komponen harus melihat komponen apa dan digunakan untuk apa, dengan kata lain ide konsep komponen. Langkah selanjutnya adalah mendefinikan perancangan, lalu menerapkannya. Pada perancangan *Operational Amplifier* Dua tingkat ini hanya dilakukan hingga tahap menerapkan atau implementasi.



Gambar 3. 3 Blok diagram untuk perinsip dasar perancangan[10]

Tetapi, dalam penggerjaan perancangan *Operational Amplifier* dua tingkat yang dilakukan hanya sampai pada tahap simulasi saja. hal itu dilakukan karena keterbatasan untuk pencapaian proses fabrikasi.

Selain dari blok perancangan dasar, untuk perancangan *Operational Amplifier* dua tingkat juga harus mengacu pada tabel 3.2. dalam tabel tersebut disebutkan untung rugi untuk menggunakan rangkaian *Operational Amplifier* dua tingkat

Tabel 3.1. Tabel untung rugi rangkaian *Operational Amplifier* sumber Sabanci University [13]

	<i>Gain</i>	<i>Output Swing</i>	<i>Speed</i>	<i>Power</i>	<i>Noise</i>
<i>Telescopic</i>	Sedang	Sedang	Sangat Tinggi	Rendah	Rendah
<i>Folded</i>	Sedang	Sedang	Tinggi	Sedang	Sedang
<i>Two Stage</i>	Tinggi	Sangat Tinggi	Rendah	Sedang	Rendah
<i>Gain Boosted</i>	Tinggi	Sedang	Sedang	Tinggi	Sedang

Didalam tabel 3.1 memperlihatkan bahwa, dalam perancangan rangkaian *Operational Amplifier* dua tingkat memiliki tingkat penguatan yang tinggi, bahkan

untuk keluaran *Operational Amplifier* dua tingkat memiliki parameter yang sangat tinggi. Hanya saja dalam masalah kecepatan, rangkaian *Operational Amplifier* dua tingkat memiliki parameter yang rendah. Tetapi tingkat pengaruh luar rendah.

### 3.2 Parameter MOS

Silicon atau Germanium berasal dari grup ke empat dari tabel periodic. Untuk silicon memiliki nomer atom 14, sehingga Silicon berada pada level energi ke tiga.[4]. Level pertama diisi oleh 2 buah elektron ( $1S^2$ ), selanjutnya di level ke dua diisi oleh 8 elektron ( $2S^2, 2P^6$ ). Sedangkan di level ke tiga, Silikon hanya menempati empat elektron ( $3S^2, 3P^2$ ). Sehingga Silikon memiliki 4 buah elektron bebas dan dapat digabungkan dengan bahan lain selanjutnya akan membentuk ikatan ion yang membuat ikatan itu stabil dan netral.

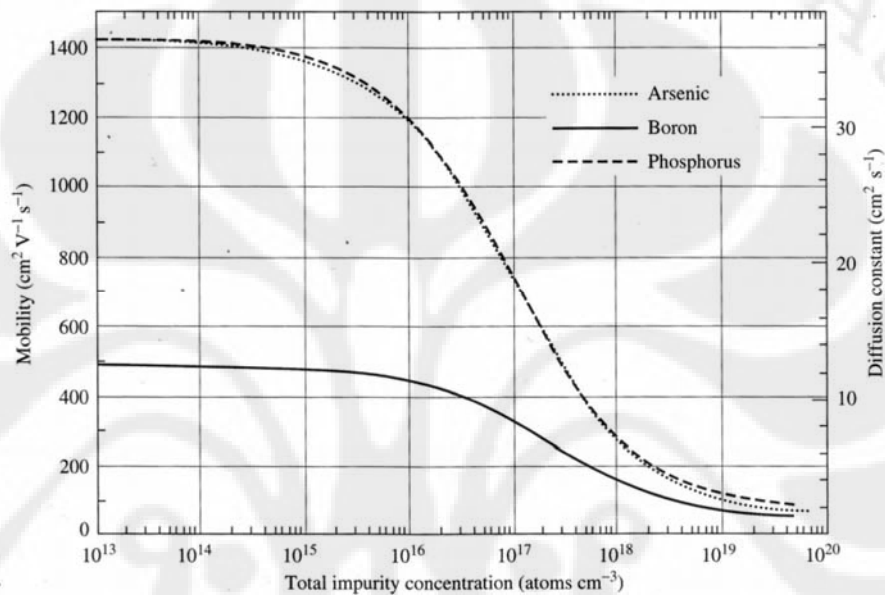
Tabel 3.2. Tabel golongan atau grup dari senyawa [4]

Grup / Golongan Periodik	Senyawa
golongan II	Be, Mg, Zn, Cd, Hg
golongan III (aseptor)	B, Al, Ga, In, Tl
golongan IV	C, Sn, Pb
golongan V (donor)	N, P, As, Sb, Bi
golongan VI	O, S, Se, Te, Po

Bila golongan V didoping ke golongan IV maka menghasilkan logam type N (elektron). Golongan III didoping ke golongan IV menghasilkan logam type P (*hole*). Logam jenis N memiliki pembawa muatan negatif sebesar  $-1,6 \times 10^{-19}$  C sedang logam jenis P pembawa muatan positif  $+1,6 \times 10^{-19}$  C. Apabila kedua logam tersebut dihubungkan/ disambung, maka akan terjadi sambungan (*junction*) PN dan dikenal dengan nama dioda PN.

Penghantaran semikonduktor terutama ditentukan oleh pembawa yang dibangkitkan panas, maka semikonduktor ini dinamakan semikonduktor murni atau instrinsik. Semikonduktor murni pada  $0^{\circ}\text{K}$  bersifat isolator. Semikonduktor yang mengandung atom pencampur dinamakan semikonduktor teresapi, tercamur atau ekstrinsik. Penghantaran semikonduktor ekstrinsik ditentukan oleh kelebihan elektron atau hole dari atom atau atom pencampur. Pencampuran yang sering digunakan adalah golongan III dan V.

Semikonduktor yang berisi pencampur jenis donor (golongan V) dinamakan semikonduktor jenis N, karena pembawa-pembawa arus yang dihasilkan merupakan muatan negatif (elektron) sedang yang berisi pencampur jenis aseptor (golongan III) dinamakan semikonduktor jenis P karena pembawa-pembawa arusnya merupakan muatan positif (lobang).



Gambar 3.4 Total impurity concentration terhadap mobility[7]

Elektron bergerak untuk mencari lubang yang kosong yang disebabkan oleh prosesi dopping. Dari gambar 3.4, penentuan tipe-n ataupun tipe-p juga ditentukan dari mobilitas elektron. Mobilitas elektron adalah pergerakan elektron didalam suatu senyawa semikonduktor. Untuk menentukan mobilitas elektron dalam sebuah tipe dapat ditentukan pada persamaan mobilitas seperti dibawah ini.

$$\mu = \mu_{\min} + \frac{\mu_{\max} - \mu_{\min}}{1 + (N / N_{ref})^\alpha} \quad (3.1)$$

Dari persamaan tersebut telah ditentukan besaran mobilitas tiap jenis unsur. Hal tersebut tertera pada tabel 3.3.

Tabel 3.3 mobilitas unsur untuk doping semikonduktor

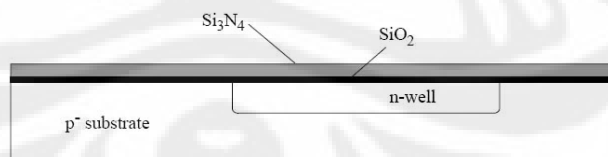
Parameter	Arsenik	Phosphorus	Boron
$\mu_{\max}$	52,2	68,5	44,9
$\mu_{\min}$	1417	1414	470,5
$N_{ref}$	$9,68 \times 10^{16}$	$9,20 \times 10^{16}$	$2,23 \times 10^{17}$
$\alpha$	0,680	0,711	0,719

Sumber : tabel penjelasan dari Dr.Ir.Agus Santoso Tamsir, M.T.

Dari tabel diatas didapat bahwa untuk *Boron* memiliki sifat tipe-p karena *Boron* memiliki jumlah elektron bebas lebih sedikit dari pada silikon. Sedangkan untuk *Phosphorus* dan *Arsenik* memiliki sifat tipe-n. Karena jumlah elektron bebas yang dihasilkan oleh *Phosphorus* dan *Arsenik* lebih banyak dari pada Silikon. Dalam implementasinya, Arsenik tidak digunakan untuk membuat sebuah komponen semi konduktor. Hal ini disebabkan oleh *Arsenik* merupakan senyawa beracun apabila masuk kedalam tubuh manusia.

Langkah selanjutnya adalah menentukan  $t_{ox}$ . Parameter  $t_{ox}$  merupakan parameter yang menentukan ketebalan dari bahan *Silicon Dioxide* ( $SiO_2$ ). Fungsi  $t_{ox}$  adalah sebagai pembatas antara p-substrate dengan *Silicon Nitrit* ( $Si_3N_4$ ) sebagai bahan baku dari pelapisan semikonduktor.

Parameter  $t_{ox}$  memiliki batasan dalam penggunaannya. Sebab  $t_{ox}$  memiliki batasan antara kurang dari 150 Å (150 Angstrom atau  $150 \times 10^{-10}$ ) untuk Gate Oxide atau lebih besar dari 10.000 Å (10.000 Angstrom atau  $10.000 \times 10^{-10}$ ) untuk Field Oxide seperti terlihat pada gambar 3.4.

Gambar 3.5. *waffer layer* MOS[10]

Setelah besaran  $t_{ox}$  ditentukan, maka dapat ditentukan pula nilai dari kapasitansi *Silicon Dioxide* atau  $C_{ox}$ . Nilai dari  $C_{ox}$  adalah pembagian antara  $\epsilon_{ox}$  dengan  $t_{ox}$  seperti yang diperlihatkan pada persamaan dibawah ini

$$C_{ox} = \epsilon_{ox} / t_{ox} \quad (3.2)$$

Untuk mendapatkan koefisien  $\epsilon_{ox}$  dapat ditentukan dengan mengalikan nilai dari  $\epsilon_0$  dengan variabel 3,9. sedangkan nilai dari  $\epsilon_0$  itu sendiri adalah  $8,85 \times 10^{-14} \text{ F/cm}$ . Seperti yang diperlihatkan pada persamaan dibawah ini.

$$\epsilon_{ox} = \epsilon_0 \times 3,9 \quad (3.3)$$

Langkah selanjutnya adalah menentukan K. Penentuan K ini memiliki 2 buah parameter  $K_n$  dan  $K_p$ .  $K_n$  dan  $K_p$  merupakan korelasi hubungan antara  $\mu_n$  dengan  $\mu_p$  seperti yang tertuang pada persamaan dibawah ini.

$$K_n = \mu_n \times C_{ox} \quad (3.4)$$

$$K_p = \mu_p \times C_{ox} \quad (3.5)$$

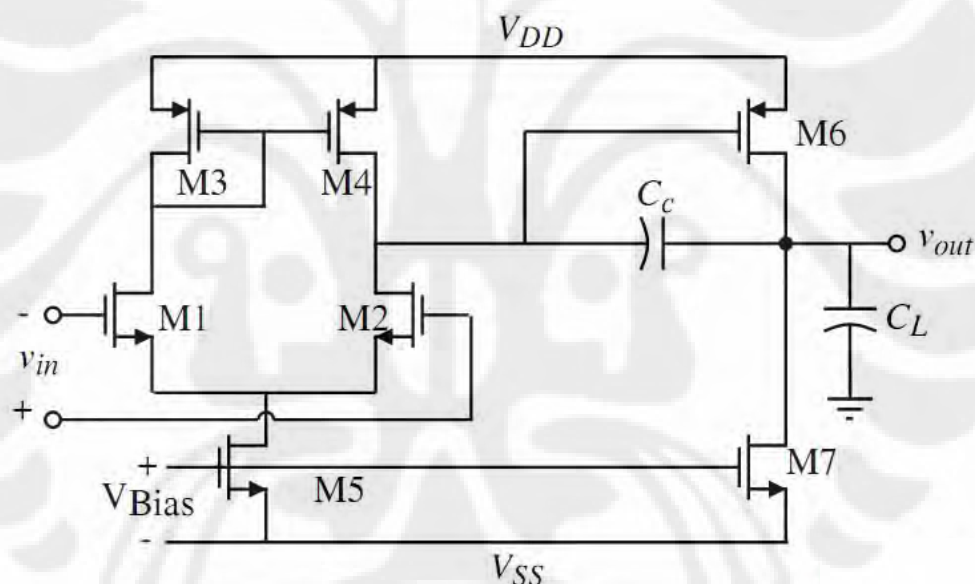
Tabel 3.4 Parameter MOS  $0.4 \mu\text{m}$  [2]

Parameter	Symbol	Value	Value	Units
		n- Channel Transistor	p-Channel Transistor	
Substrate doping	$N_A, N_D$	$5 \times 10^{15}$	$4 \times 10^{16}$	Atoms/cm <sup>3</sup>
Gate oxide thickness	$t_{ox}$	80	80	Å
Metal-silicon work function	$\Phi_{ms}$	-0.6	-0.1	V
Channel mobility	$\mu_n, \mu_p$	450	150	cm <sup>2</sup> /V-s
Minimum drawn channel length	$L_{drwn}$	0.4	0.4	Mm
Source, drain junction depth	$X_j$	0.15	0.18	Mm
Source, drain side diffusion	$L_d$	0.09	0.09	Mm
Overlap capacitance per uni gate width	$C_{ol}$	0.35	0.35	fF/μm
Threshold adjus implant (box dist) impurity		P	P	
effective depth	$X_i$	0.16	0.16	Mm
effective surface concentration	$N_{si}$	$4 \times 10^{16}$	$3 \times 10^{16}$	Atoms/cm <sup>3</sup>
Nominal treshold voltage	$V_t$	0.6	-0.8	V
Polysilicon gate doping concentration	$N_{dpoly}$	$1 \times 10^{20}$	$1 \times 10^{20}$	Atoms/cm <sup>3</sup>
Poly gate sheet resistance	$R_s$	5	5	Ω
Source, drain-bulk junction capacitances	$C_{j0}$	0.2	0.4	fF/μm <sup>2</sup>
Surce, drain-bulk junction capacitance	$n$	0.5	0.4	
Source, drain periphery capacitance (zero)	$C_{jsw0}$	1.2	2.4	fF/μm
Source, drain periphery capacitance grading	$n$	0.4	0.3	
Source, drain junction built-in-potential	$\Psi_0$	0.7	0.7	V
Surface-state density	$Q_{ss}/q$	$1 \times 10^{11}$	$1 \times 10^{11}$	Atoms/cm <sup>2</sup>
Channel-length modulation parameter	$\lambda$	0.02	0.04	μm/V

Universitas Indonesia

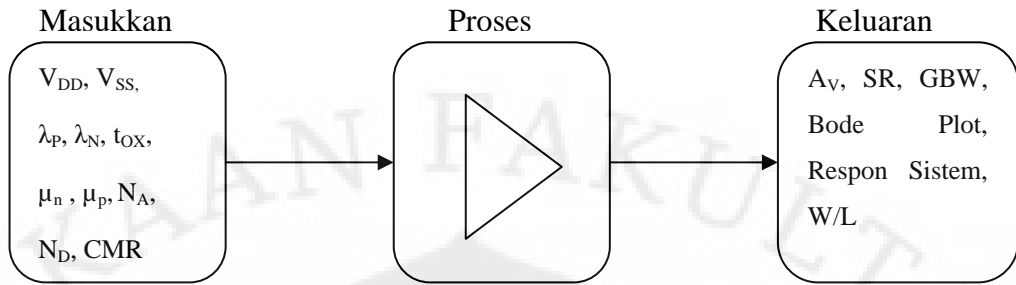
### 3.3 Parameter Operational Amplifier

Menurut Holt (1987)[10], rangkaian *operational amplifier* dua tingkat merupakan suatu rangkaian yang terdiri dari 7 buah MOS. Dari ke tujuh MOS tersebut terdapat 4 buah N-MOS dan 3 buah P-MOS. Untuk keempat N-MOS tersebut memiliki 3 buah karakteristik yang berbeda antara satu dengan yang lainnya. Untuk N-MOS 1 sama dengan N-MOS 2 yang sama-sama sebagai masukkan. Sedangkan N-MOS 5 dan NMOS 7 memiliki karakteristik yang berbeda pula. Sedangkan untuk P-MOS terdapat 3 buah dengan 2 karakteristik yang berbeda pula. P-MOS 3 sama dengan P-MOS 4 yang sama-sama sebagai masukkan referensi.



Gambar 3. 6 Rangkaian Operational amplifier dua tingkat[10]

Untuk menentukan parameter *operational amplifier* yang sesuai dengan keinginan, maka harus merujuk pada proses gambar 3.7. Dari gambar 3.7 dapat ditentukan beberapa parameter bebas dan parameter tetap untuk merancang *Operational amplifier*



Gambar 3. 7 Perancangan Masukkan – Keluaran Rangkaian Operational amplifier dua tingkat

Persamaan Perancangan untuk rangkaian Two-stage *Operational Amplifier* diatas:

$$\text{Slew rate SR} = \frac{I_5}{C_c} \quad (\text{Assuming } I_7 \gg I_5 \text{ and } C_L > C_c) \quad (3.6)$$

$$\text{First-stage gain } A_{v1} \equiv \frac{g_{m1}}{g_{ds2} + g_{ds4}} \equiv \frac{2g_{m1}}{I5(\lambda_2 + \lambda_4)} \quad (3.7)$$

$$\text{Second-stage gain } A_{v2} \equiv \frac{g_{m6}}{g_{ds6} + g_{ds7}} \equiv \frac{g_{m6}}{I6(\lambda_6 + \lambda_7)} \quad (3.8)$$

$$\text{Gain-bandwidth GB} = \frac{g_{m1}}{C_c} \quad (3.9)$$

$$\text{Output pole } p_2 = \frac{-g_{m6}}{C_c} \quad (3.10)$$

$$\text{RHP zero } z_1 = \frac{g_{m6}}{C_c} \quad (3.11)$$

60° phase margin requires that  $g_{m6} = 2.2g_{m2}(C_L/C_c)$  if all other roots are  $\geq 10\text{GB}$  (3.12)

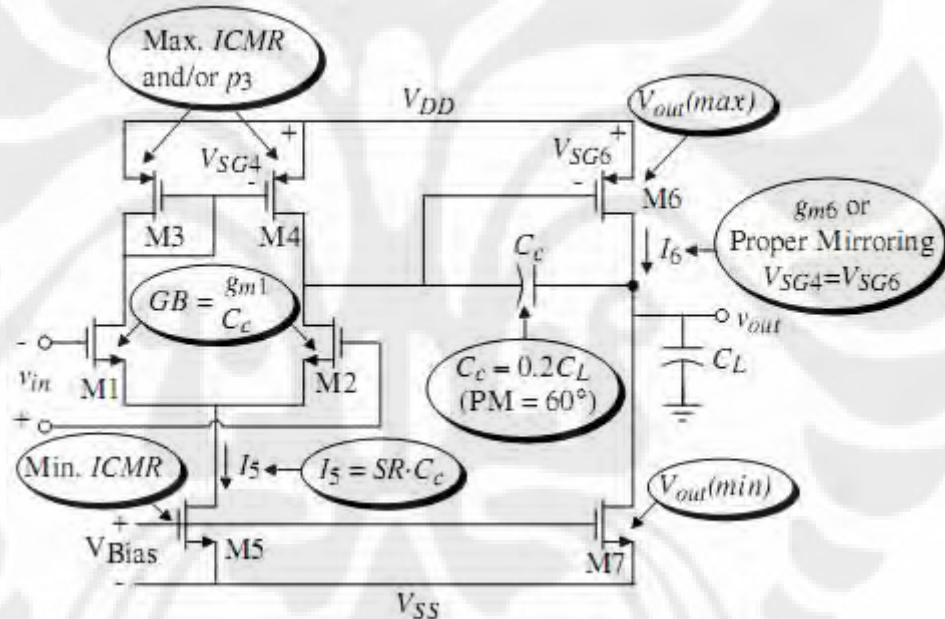
$$\text{Positive ICMR } V_{in(max)} = V_{DD} - \sqrt{\frac{I_5}{\beta_3}} - |V_{T03}|_{(max)} + V_{T1(min)} \quad (3.13)$$

$$\text{Negative ICMR } V_{in(min)} = V_{SS} + \sqrt{\frac{I_5}{\beta_1}} + V_{T1(max)} + V_{DS5}(\text{sat}) \quad (3.14)$$

$$\text{Saturation voltage } V_{DS(sat)} = \sqrt{\frac{2I_{DS}}{\beta}} \quad (\text{all transistors are saturated}) \quad (3.15)$$

Setelah mengetahui persamaan – persamaan yang dibutuhkan untuk menentukan nilai-nilai parameter diatas, kita dapat melakukan desain dengan membuat spesifikasi tertentu untuk mencapai suatu hasil yang diinginkan. Spesifikasi-Spesifikasi tersebut dapat berupa:

- Gain* ( $A_V$ )
- Gain bandwidth* (GB)
- Settling time* (Ts)
- Slew rate* (SR)
- Input common –mode range, ICMR*
- Output –voltage swing*



Gambar 3. 8 Parameter operasional penguatan dua tingkat[12]

### 3.4 Perancangan Rangkaian Penguat Operasi Dua Tingkat Frekuensi Rendah

Langkah selanjutnya adalah menentukan nilai/hasil yang diinginkan pada desain rangkaian penguat. Hal ini dilakukan dengan melakukan pengolahan data untuk mendapatkan nilai dan parameter dari masing transistor agar desain rangkaian dapat mencapai spesifikasi yang diinginkan.

Dalam prosedur desain ini diasumsikan bahwa *Gain* pada dc (Av), *unity Gain bandwidth* (GB), *input common mode range* (Vin (min) dan Vin (max)), *load capacitance* (C<sub>L</sub>), *slew rate* (SR), *settling time* (Ts), *output voltage swing* (Vout(max) dan Vout(min)) dan disipasi daya (Pdiss) diberikan. Pilih panjang device yang paling kecil yang akan menjaga parameter *channel modulation* tetap konstan dan memberikan kecocokan yang baik untuk *current mirrors*.

Parameter yang harus ditentukan serta dihitung, antara lain:

#### 3.4.1 Capacitor Load (C<sub>L</sub>)

Menurut Holt (1987), dari nilai *Capacitor Load* akan didapatkan sebuah besaran C<sub>c</sub> yang dikenal dengan kompensasi kapasitor yang dapat ditentukan dari persamaan dibawah ini dengan mengacu pada *Phase Margin* yang besarnya 60°

$$C_c > 0.22C_L \quad (3.16)$$

#### 3.4.2 Slew Rate

*Slew Rate* adalah rata-rata perubahan tegangan keluaran maksimum. *Slew Rate* dapat pula diartikan dengan kecepatan suatu sistem guna menempuh keadaan maksimum. Hal ini dapat ditentukan dengan persamaan dibawah ini.

$$I_5 = SR \cdot C_C \quad (3.17)$$

atau

$$I_5 \cong 10 \left( \frac{V_{DD} + |V_{SS}|}{2T_s} \right) \quad (3.18)$$

Dari persamaan diatas akan didapat sebuah besaran dari *Tail Current* atau arus yang mengalir dari Drain yang berasal dari N-MOS 5. Setelah *Tail Current* ditentukan maka akan dapat menentukan panjang dan lebar dari suatu MOS. Untuk hal ini yang dapat ditentukan adalah panjang dan lebar dari P-MOS 3.

$$S_3 = \frac{I_5}{K'_3 [V_{DD} - V_{in}(\text{max}) - |V_{T03}|(\text{max}) + V_{T1}(\text{min})]^2} \quad (3.19)$$

### 3.4.3 Gain Bandwidth (GBW)

*Gain Bandwidth* adalah lebar frekuensi tertentu dimana tegangan keluaran tidak jatuh dari 0,707 atau -3dB dari harga tegangan maksimum pada saat amplitudo tegangan masukan tetap. Setelah menentukan *Gain Bandwidth* maka akan didapat sebuah persamaan untuk menentukan *Small Signal* ( $g_m$ ) dari N-MOS2 atau N-MOS1 dengan melihat persamaan dibawah ini.

$$g_{m1} = GB \cdot C_c \rightarrow S_2 = \frac{g_{m2}^2}{K'_2 I_5} \quad (3.20)$$

Setelah ditentukan besaran dari  $g_{m1,2}$  maka akan didapatkan sebuah besaran dari panjang dan lebar untuk suatu N-MOS, yaitu pada N-MOS1 atau N-MOS2.

### 3.4.4. $V_{dd}$ dan $V_{ss}$

$V_{dd}$  dan  $V_{ss}$  merupakan suatu tegangan yang didapat dari tegangan masukkan pada *Drain* dan pada *Source*.  $V_{dd}$  dan  $V_{ss}$  akan berpengaruh untuk menentukan keluaran yang kita inginkan.

$$V_{DS5(sat)} = v_{in}(\min) - V_{ss} - \sqrt{\frac{I_5}{\beta_1}} - V_{TI}(\max) \geq 100 \text{ mV} \rightarrow S_5 = \frac{2I_5}{K'_5 [V_{DS5(sat)}]^2} \quad (3.21)$$

### 3.4.5 $g_{m6}$

$g_{m6}$  adalah *Small Signal* yang berada pada MOS6. Sehingga besaran dari  $g_{m6}$  akan ditentukan dari persamaan dibawah ini.

$$g_{m6} = 2.2 g_{m2} (C_L / C_c) \rightarrow S_6 = S_4 \frac{g_{m6}}{g_{m4}} \quad (3.22)$$

Dari persamaan tersebut akan didapat besaran dari arus yang mengalir pada MOS6 yang tertera pada persamaan dibawah ini.

$$I_6 = \frac{g_{m6}^2}{2K'_6 S_6} \quad (3.23)$$

Sebenarnya untuk menentukan besaran dari  $I_6$  terdapat 2 buah persamaan. Untuk menentukan persamaan mana yang akan dipakai akan ditinjau dari perbandingan hasil kedua persamaan. Besaran  $I_6$  yang paling besar lah yang akan digunakan untuk selanjutnya.

### 3.4.5 $S_7$

Tentukanlah besaran dari panjang dan lebar dari MOS7 dengan melihat persamaan dibawah ini.

$$S_7 = (I_6/I_5)S_5 \quad (3.24)$$

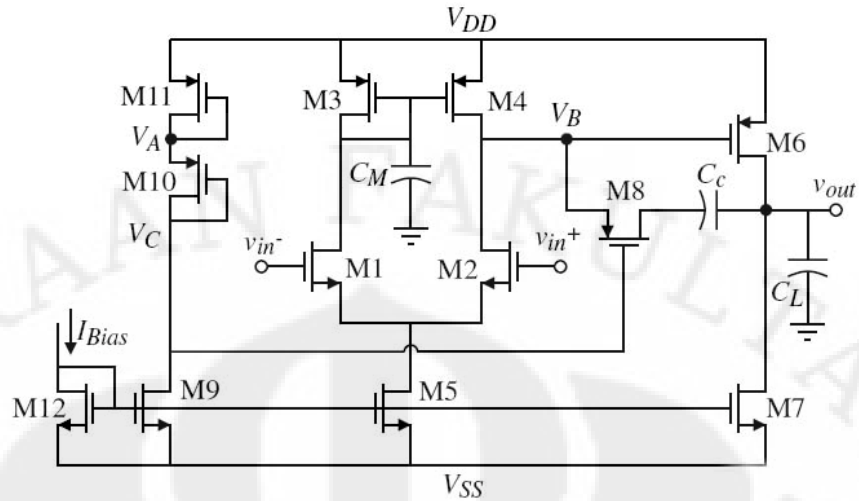
Selanjutnya adalah dengan mencari  $A_v$  yang sesuai dengan perhitungan, setalah itu hitung besarnya disipasi daya dari rangkaian tersebut dengan melihat persamaan dibawah ini

$$P_{diss} = (I_5 + I_6)(V_{DD} + |V_{SS}|) \quad (3.25)$$

$$A_v = \frac{2g_{m2}g_{m6}}{I_5(\lambda_2 + \lambda_3)I_6(\lambda_6 + \lambda_7)} \quad (3.26)$$

Bila spesifikasi penguatan tidak tercapai kemudian arus  $I_5$  dan  $I_6$  bisa diturunkan atau rasio W/L dari M2 dan atau M6 bisa dinaikkan. Perhitungan sebelumnya harus dicek kembali untuk meyakinkan bahwa semuanya memenuhi spesifikasi yang diinginkan. Bila disipasi daya terlalu besar, yang dilakukan hanyalah mengurangi arus  $I_5$  dan  $I_6$ . Pengurangan arus akan memungkinkan peningkatan kebutuhan untuk menaikkan beberapa rasio W/L untuk memenuhi masukan dan *output swings*.

Dengan menggunakan kompensasi Miller dapat ditentukan besaran Pole dan Zero dari rangkaian *Operational Amplifier* dua tingkat. Kompensasi miller diperlukan untuk menetuk frekuensi yang akan digunakan.



Gambar 3. 9 Rangkaian operasional dua tingkat dengan kompensasi Miller[10]

Langkah berikutnya adalah menentukan *Pole* dan *Zero* dengan menggunakan persamaan dibawah ini[10]:

$$p_1 = -\frac{g_{m2}}{A_v C_c} = -\frac{g_{m2}}{A_v C_c} \quad (3.26)$$

$$p_4 = -\frac{1}{R_z C_1} \quad (3.27)$$

$$p_2 = -\frac{g_{m6}}{C_L} \quad (3.28)$$

$$z_1 = \frac{-1}{R_z C_c - C_c / g_{m6}} \quad (3.29)$$

Setelah semua parameter dimasukkan maka semua data yang didapat dimasukkan kedalam *Microsoft Excel* untuk mendapatkan keluaran yang sesuai dengan keinginan. Selanjutnya dari *Pole* dan *Zero* yang sudah ditentukan , besaran dari *Pole* dan *Zero* tersebut dimasukkan kedalam program *Mathlab* 7.1 untuk mendapatkan respon sistem.

### 3.5 Proses Simulasi Rangkaian

Pada tahap berikutnya adalah tahap pensimulasian rangkaian. Pada tahap ini nilai yang telah didapat dari percobaan diatas dimasukan kedalam parameter –

parameter rangkaian untuk mengetahui apakah rangkaian yang telah didesain memenuhi spesifikasi yang diharapkan sehingga mampu bekerja pada frekuensi tinggi.

Dalam proses simulasi rangkaian ini digunakan perangkat lunak *Microsoft Excel* untuk mempermudah dalam mencari besaran yang diinginkan. Dengan memasukkan nilai yang telah didapatkan pada tahap sebelumnya akan diuji apakah desain rangkaian memenuhi spesifikasi yang dihapakan sebelumnya.

Metode ini akan dilanjutkan pada perangkat lunak *Mathlab* 7.1 yang digunakan respon sistem dari rangkaian yang telah dihitung besaran pole dan zeronya. Cara memasukkan besaran pole dan zeronya dengan mengetik masukkan yang sesuai dengan perintah *Mathlab* 7.1. Setelah itu dilanjutkan dengan menjalankan perintah ‘*bode*’ pada command windows *Mathlab* untuk melihat diagram Bode. Lalu dilanjutkan dengan memasukkan perintah ‘*step*’ untuk melihat respon sistem dari rangkaian tersebut.

## **BAB 4**

### **KAJIAN PERHITUNGAN DAN ANALISA RANGKAIAN PENGUAT OPERASI DUA TINGKAT FREKUENSI RENDAH**

Kajian perancangan rangkaian ini menggunakan 2 buah metode. Metode penentuan dari karakteristik MOS dan penentuan dari karakteristik rangkaian terintegrasi dua tingkat.

#### **4.1 Kajian Penentuan Parameter MOS**

Untuk menentukan spesifikasi MOS yang akan digunakan maka ada beberapa hal yang harus ditentukan terlebih dahulu seperti yang telah dibahas pada BAB sebelumnya. Maka parameter-parameter itu antara lain:  $N_A / N_D$ ,  $tox$ ,  $K_n / K_p$ ,  $C_{ox}$ ,  $\mu_n / \mu_p$  dan  $V_T$

Dari penentuan-penentuan parameter yang akan digunakan untuk menentukan variabel dari MOS. Maka untuk mempermudah perhitungan, digunakan Microsoft Excel 2003 untuk menentukan hasil dari persamaan yang didapat dari persamaan-persamaan diatas

Dari tabel 3.4 pada BAB sebelumnya mendapatkan parameter-parameter yang tersedia pada proses fabrikasi. Oleh karena itu, digunakan beberapa parameter yang didapat dari hasil penelusuran literatur. Pada tabel 4.1 adalah parameter yang akan digunakan untuk teknologi  $0.4 \mu m$ .

Tabel 4.1: parameter CMOS yang digunakan

$V_{to3(max)}$ (Volt)	8.00E-01
$V_{t1(min)}$ (Volt)	6.00E-01
$K_{p3}$ (A/Volt <sup>2</sup> )	6.47E-03
$K_{n1}$ (A/Volt <sup>2</sup> )	1.94E-02
$V_{ti}$ (max)	8.00E-01
$V_{ds6(sat)}$	0.3
$\lambda_2$ (Volt <sup>-1</sup> )	0.04
$\lambda_3$ (Volt <sup>-1</sup> )	0.02
$\lambda_6$ (Volt <sup>-1</sup> )	0.02
$\lambda_7$ (Volt <sup>-1</sup> )	0.04

#### 4.2. Kajian Awal Penguat Operasi

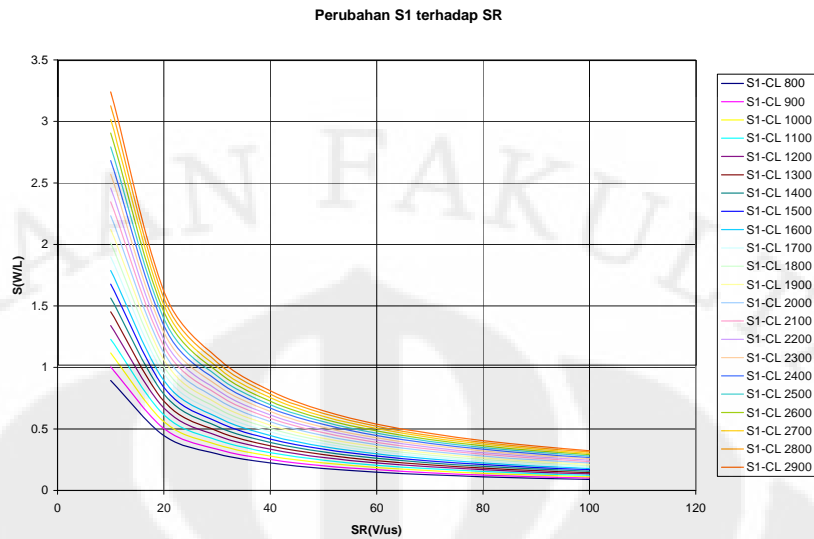
Untuk menentukan parameter-parameter yang akan dilakukan untuk menganalisa rangkaian maka akan digunakan parameter masukan sebagai berikut: *Slewrate, Av, Gain Bandwidth, CMR, CL, V<sub>DD</sub>, V<sub>ss</sub>, Vout range, P<sub>diss</sub>*

Maka dalam percobaan ini menggunakan beberapa data sebagai acuan untuk perbandingan keluaran yang diinginkan. Pada data ini dilakukan dengan cara merubah parameter C<sub>L</sub>, *Slewrate*, dan V<sub>DD</sub> / V<sub>ss</sub>.

Pada percobaan pertama diberi masukkan V<sub>DD</sub> sebesar 5 V, dan V<sub>ss</sub> sebesar -5 Volt. Selanjutnya nilai *Slewrate* diubah-ubah dari 10 V/  $\mu$ s hingga 100 V/ $\mu$ s dan C<sub>L</sub> diubah juga dari 800 pF hingga 2900 pF maka didapat data 1 sampai 23. Kemungkinan yang dihasilkan dari perhitungan dibatasi dengan parameter Av lebih besar dari 5000, disipasi daya kurang dari 110 mW yang menghasilkan *Slewrate* dan *Gain* (Av) paling tinggi. Jika dirangkum maka paremeter diatas tertuang pada tabel 4.2.

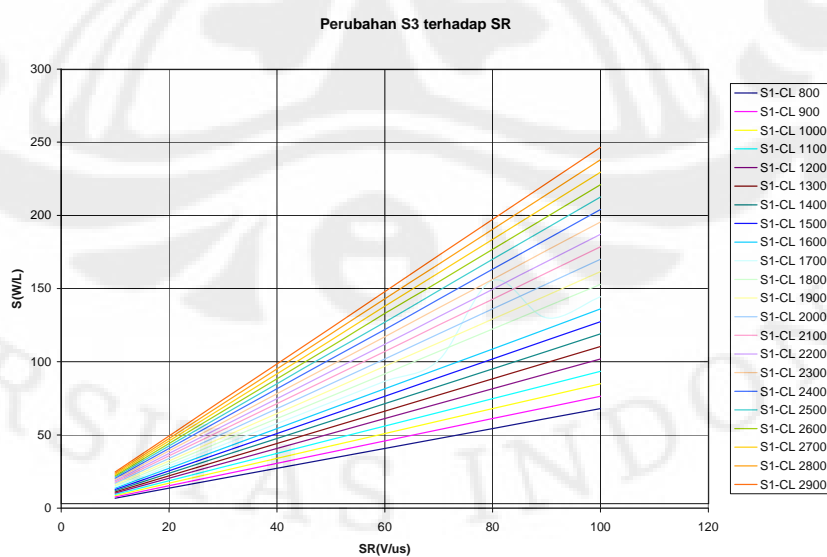
Tabel 4.2: parameter masukkan yang digunakan

untuk 5 Volt	Data
Av > (V/V)	5000
GB (Hz)	5.00E+06
CMR max(Volt)	5
Min	-3
CL (Farad)	800-2900 pF
SR > (V/ $\mu$ s)	10-100
Vdd (Volt)	5
Vss (Volt)	-5
Vout range	4
	-4
Pdiss < (mW)	110



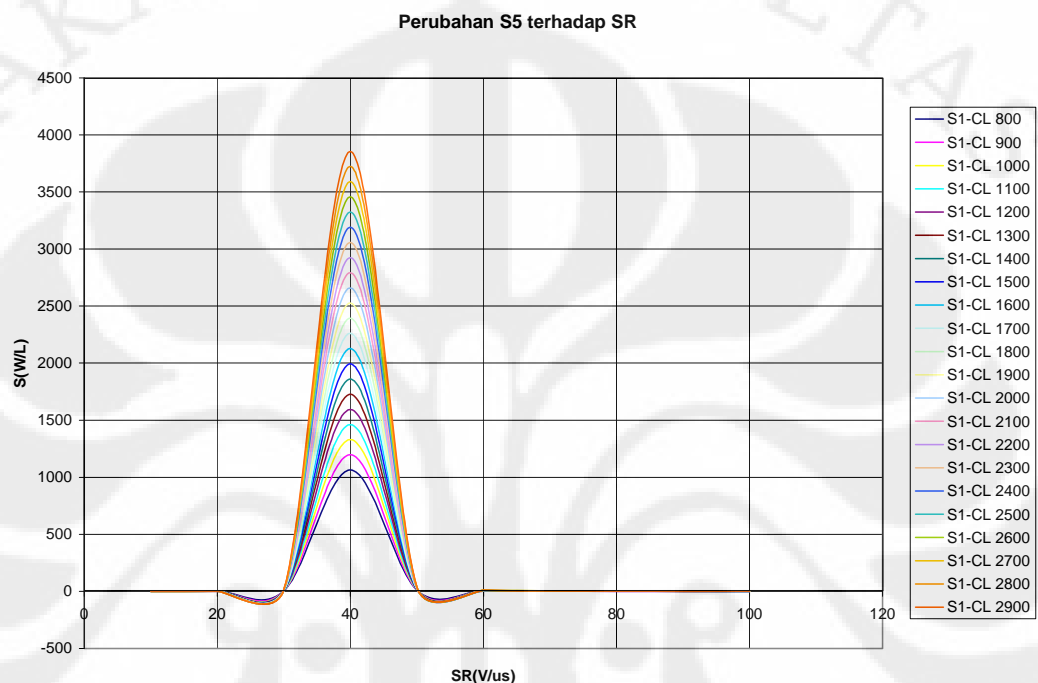
Gambar 4.1. Perubahan  $S_1$  terhadap *Slewrate* dan  $C_L$

Dengan menggunakan Microsoft Excel didapat 230 data yang bisa dilihat rinciannya pada lampiran C. Pada gambar 4.1 memperlihatkan perubahan nilai  $S_1$  terhadap nilai *Slewrate* dan kapasitor *Load* yang digunakan. Sebelum menentukan nilai *Slewrate* harus melihat syarat bahwa nilai  $S$  harus lebih besar dari 1. Maka nilai *Slewrate* yang diperbolehkan yaitu kurang dari 29 V/ $\mu$ s untuk memperlihatkan nilai  $S_1$  dengan *Capasitor Load* sebesar 2900 pF. Disamping itu dengan nilai kapasitor *Load* harus lebih besar dari 1000 pF didapat batasan minimal *Slewrate* sebesar 11 V/ $\mu$ s.



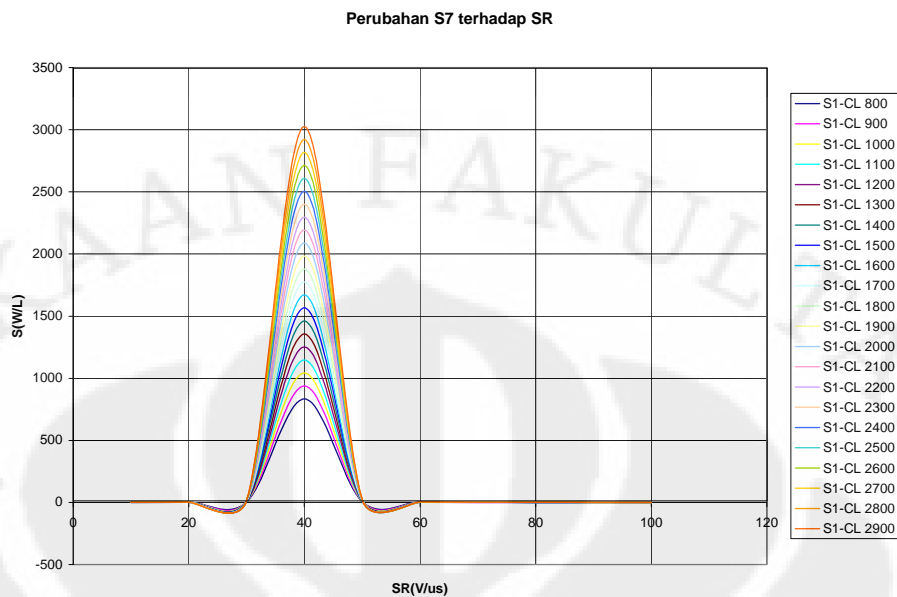
Gambar 4.2. Perubahan  $S_3$  terhadap *Slewrate* dan  $C_L$

Selanjutnya menentukan nilai dari  $S_3$ . Penentuan  $S_3$  terlihat pada gambar 4.2 telah memenuhi syarat, sebab nilai seluruh  $S$  bernilai lebih besar dari 1. oleh karena itu perubahan *slewrate* dan kapasitor *load* untuk  $S_3$  tidak memiliki batasan

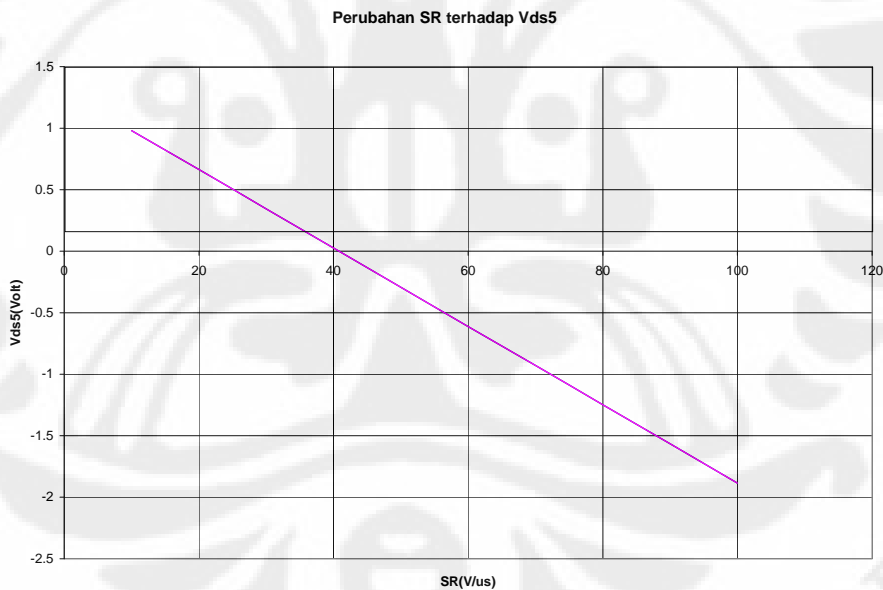


Gambar 4.3. Perubahan  $S_5$  terhadap *Slewrate* dan  $C_L$

Langkah selanjutnya adalah menentukan nilai Slewrate dan  $C_L$  berdasarkan melihat perubahan dari  $S_5$ . Dari gambar 4.3 dan gambar 4.4 memiliki kurva yang mencapai kondisi puncak pada saat Slewrate bernilai 40 V/ $\mu$ s. Hal ini disebabkan oleh nilai  $V_{DSS}$  yang harus lebih besar dari 100 mV yang terlihat pada gambar 4.6. Sedangkan untuk menentukan nilai  $S$  yang diperbolehkan masih tetap menggunakan kenentuan dimana nilai  $S$  harus lebih besar 1.

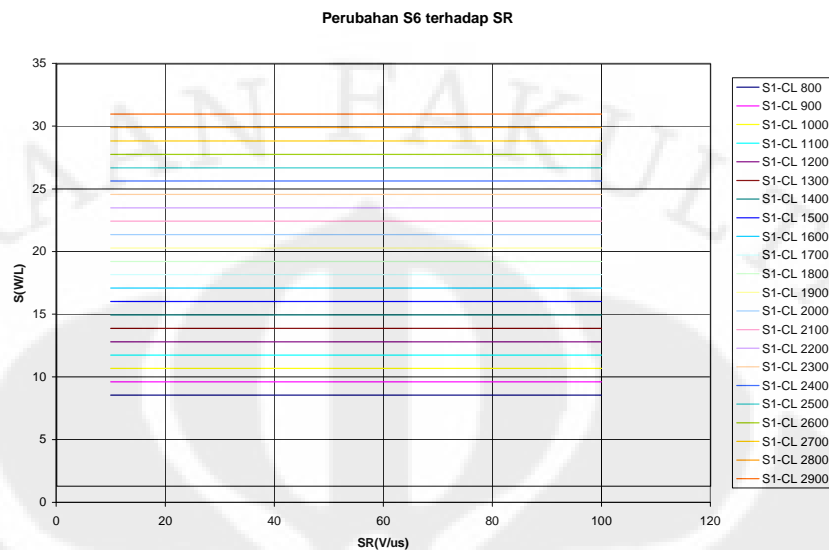


Gambar 4.4. Perubahan  $S_7$  terhadap *Slewrate* dan  $C_L$



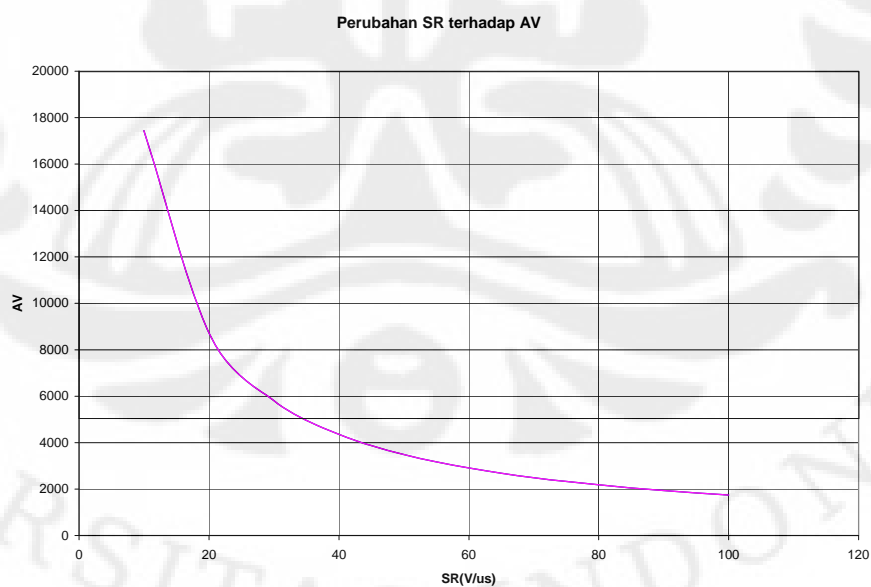
Gambar 4.5. perubahan *Slewrate* dan  $C_L$  terhadap  $V_{DS5}$

Perubahan nilai  $V_{DS5}$  sangat mempengaruhi besaran dimensi untuk  $S_5$  dan  $S_7$ . Tetapi, jika nilai  $V_{DS5}$  sesuai dengan persyaratan, yaitu 100mV, maka hasilnya adalah sesuai dengan batasan. Jika tidak, maka nilai  $S$  akan menjadi lebih besar atau bahkan kurang dari 1. Jadi batas maksimal nilai *Slewrate* untuk memperoleh nilai  $V_{DS5}$  lebih besar dari 100 mV adalah sebesar 37 V/ $\mu$ s



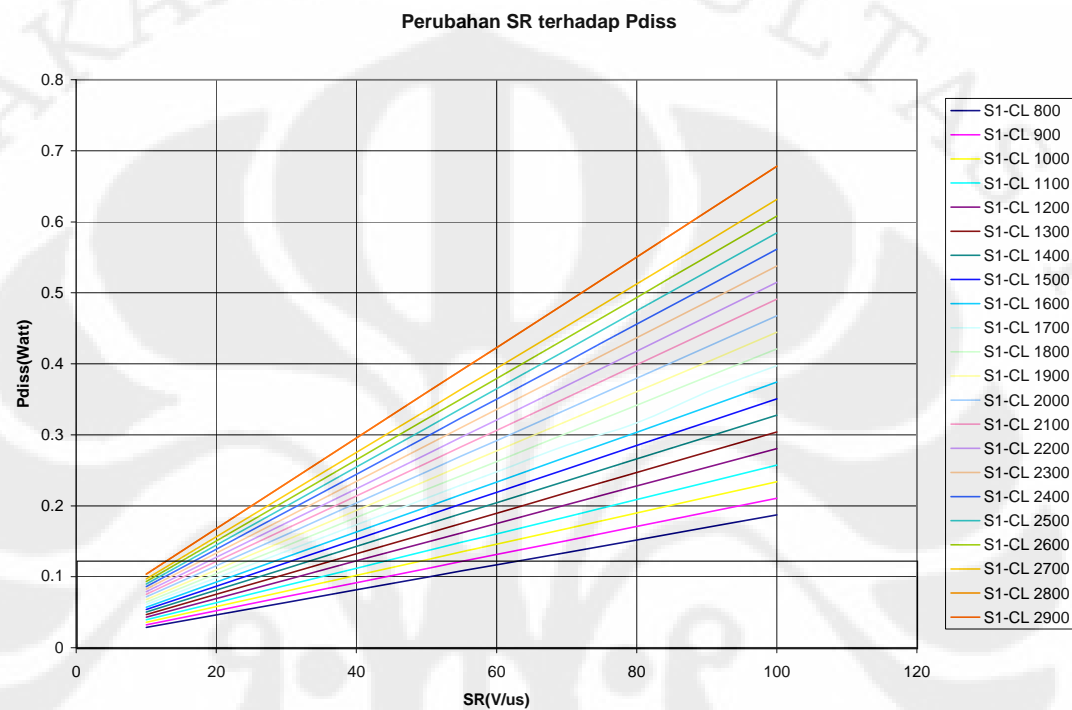
Gambar 4.6. Perubahan  $S_6$  terhadap *Slewrate* dan  $C_L$

Selanjutnya adalah menentukan besaran  $S$  dari MOS keluaran. Dari gambar 4.6. perubahan nilai Slewrate dan CL membuat nilai dari  $S_6$  memenuhi persyaratan, yaitu lebih besar dari 1. Seluruh nilai  $S$  bernilai sama untuk seluruh perubahan CL membuat nilai  $S_6$  tidak dipengaruhi Slewrate.



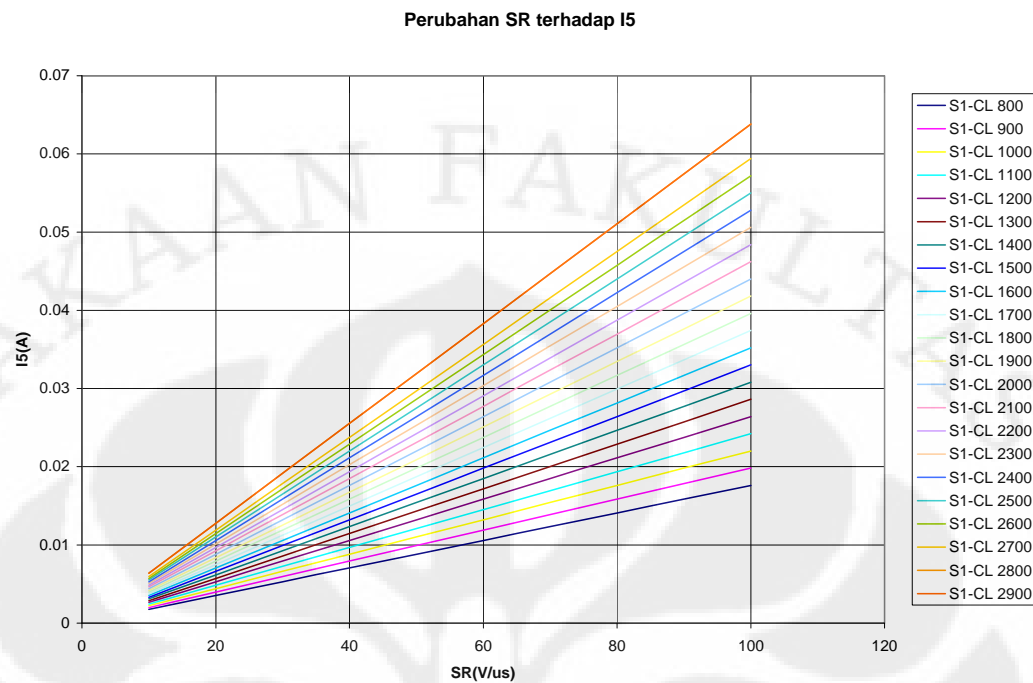
Gambar 4.7. perubahan  $A_V$  terhadap *Slewrate* dan  $C_L$

Perubahan-perubahan yang terjadi pada S akan berdampak pada tidak berubahnya nilai penguatan. Berdasarkan gambar 4.7. terlihat jelas bahwa perubahan  $A_v$  hanya dipengaruhi oleh perubahan nilai Slewrate. Hanya saja dalam penentuan op-amp dibatasi dengan dinilai  $A_v$  lebih besar dari 5000.



Gambar 4.8. perubahan disipasi daya terhadap *Slewrate* dan  $C_L$

Untuk mendapatkan nilai dari disipasi daya dibawah 110 mW dilakukan dengan merubah nilai *Slewrate* dan  $C_L$ . Sehingga didapat gambar 4.8 yang terlihat jelas semakin besar perubahan  $C_L$  dan *Slewrate* akan berakibat pada disipasi daya yang semakin besar pula. Batas maksimal untuk nilai *Slewrate* yang sesuai dengan persyaratan disipasi daya adalah 60  $V/\mu s$  untuk nilai  $C_L$  800 pF. Sedangkan batas minimal *Slewrate* adalah sebesar 11  $V/\mu s$  untuk nilai  $C_L$  2900 pF.



Gambar 4.9. perubahan  $I_5$  terhadap *Slewrate* dan  $C_L$

Perubahan  $I_5$  sebanding dengan perubahan *Slewrate* dan  $C_L$  terhadap. Hal ini tertuang pada gambar 4.8.  $I_5$  juga dikenal dengan arus tail, maksudnya arus ini mengalir dari  $V_{DD}$  hingga  $V_{SS}$ .

Jika seluruh parameter telah dicapai maka didapatkan sebuah besaran untuk  $C_L$  dan Slewrate. Nilai Slewrate yang didapat adalah 20 V/ $\mu$ s, sedangkan  $C_L$  yang didapat adalah 1800 pF. Hal ini sesuai dengan tabel 4.3.

Tabel 4.3: Keluaran Parameter untuk  $V_{DD}/V_{SS} \pm 5$  Volt dan  $C_L$  1800pF

SR(V/uS)	20
S1	1.0055278
S3	30.6
S5	1.855763457
S6	19.213907
S7	2.913548628
Av (Watt)	8722.222222
Pdiss	0.104065056
$I_5$ (A)	0.00792

Percobaan selanjutnya diberi masukkan  $V_{DD}$  sebesar 3.3 V, dan  $V_{SS}$  sebesar -3.3 Volt. Selanjutnya nilai *Slewrate* diubah-ubah dari 10 V/  $\mu$ S hingga 100 V/ $\mu$ S dan  $C_L$  diubah juga dari 800 pF hingga 2900 pF maka didapat data 1 sampai 23. Dari data yang diolah maka didapat suatu data yang sesuai dengan batasan parameter  $A_V$  lebih besar dari 5000, disipasi daya kurang dari 110 mW yang menghasilkan *Slewrate* dan *Gain* ( $A_V$ ) paling tinggi. Untuk melihat parameter masukkan perancangan Op-Amp terlihat pada gambar 4.4. sedangkan untuk hasilnya bisa dilihat pada lampiran B.

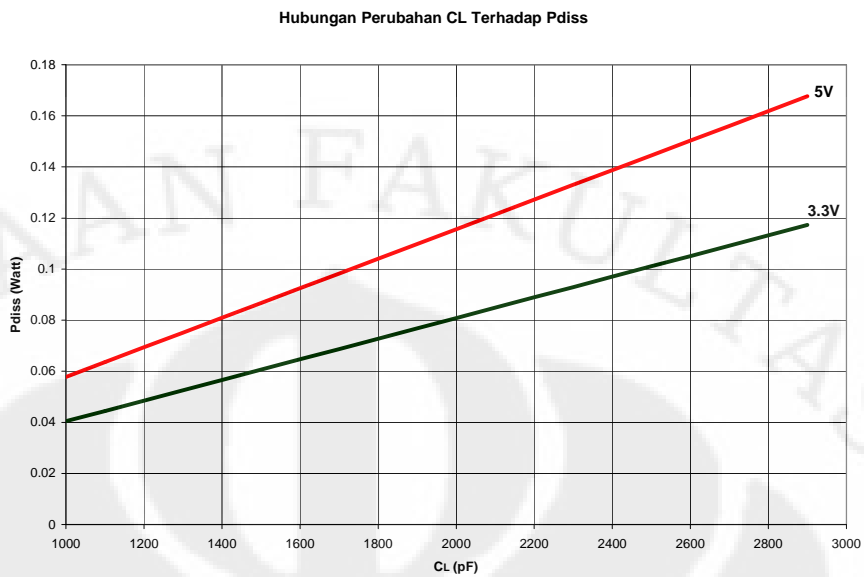
Tabel 4.4: parameter masukkan yang digunakan untuk tegangan  $V_{DD}$  3.3

$A_V > (V/V)$	5000
GB (Hz)	5.00E+06
CMR max(Volt)	3.3
Min	-1
$C_L$ (piko Farad)	800 – 2900
SR > (V/ $\mu$ s)	10 – 100
$V_{dd}$ (Volt)	3.3
$V_{ss}$ (Volt)	-3.3
$V_{out}$ range	2.5
	-2.5
Pdiss < (mW)	110

Berdasarkan hasil dari percobaan dengan masukkan  $V_{DD}$  3.3 V dan  $V_{SS}$  -3.3. didapatkan hasil keluaran yang tertera pada Tabel 4.5 dengan melakukan tahapan seperti pada gambar 4.1 hingga gambar 4.5. dari tahap tersebut didapat nilai *Slewrate* 20 V/ $\mu$ s dan  $C_L$  1800 pF

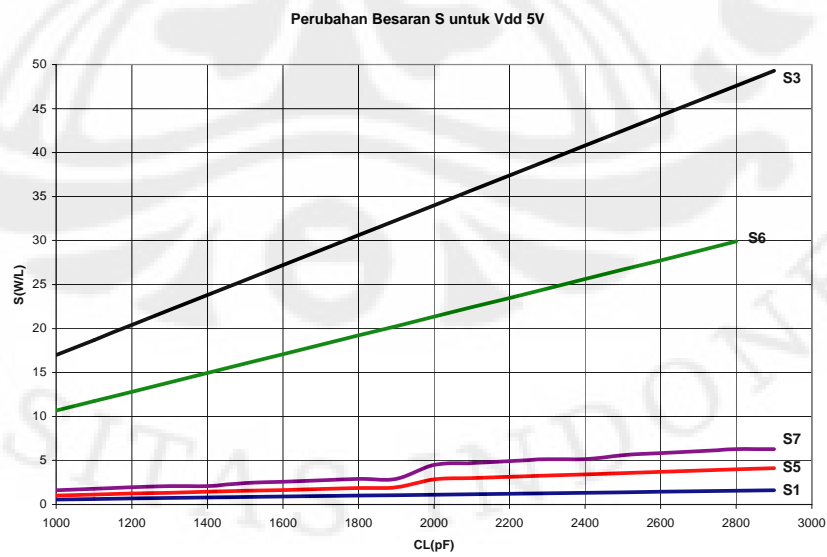
Tabel 4.5: Keluaran Parameter untuk  $V_{DD}/V_{SS} \pm 3.3$  Volt dan  $C_L$  1800pF

SR(V/ $\mu$ S)	20
S1	1.0055278
S3	30.59539331
S5	1.095331272
S6	24.01738375
S7	1.719670097
$A_V$	8722.222222
Pdiss	0.07278876
I5	0.00792

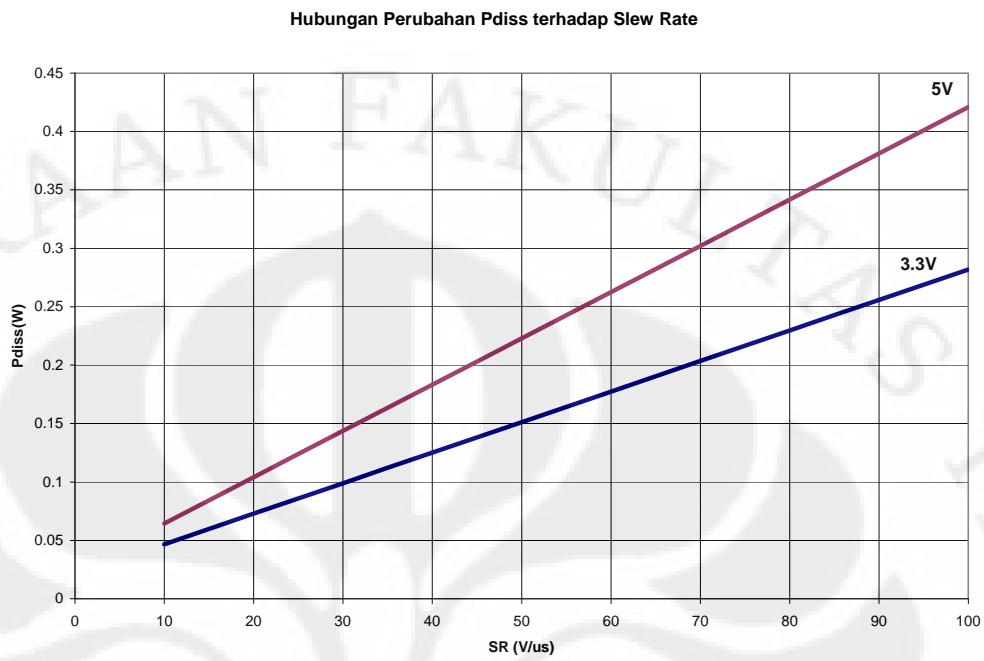


Gambar 4.10: Hubungan perubahan  $C_L$  terhadap Disipasi Daya

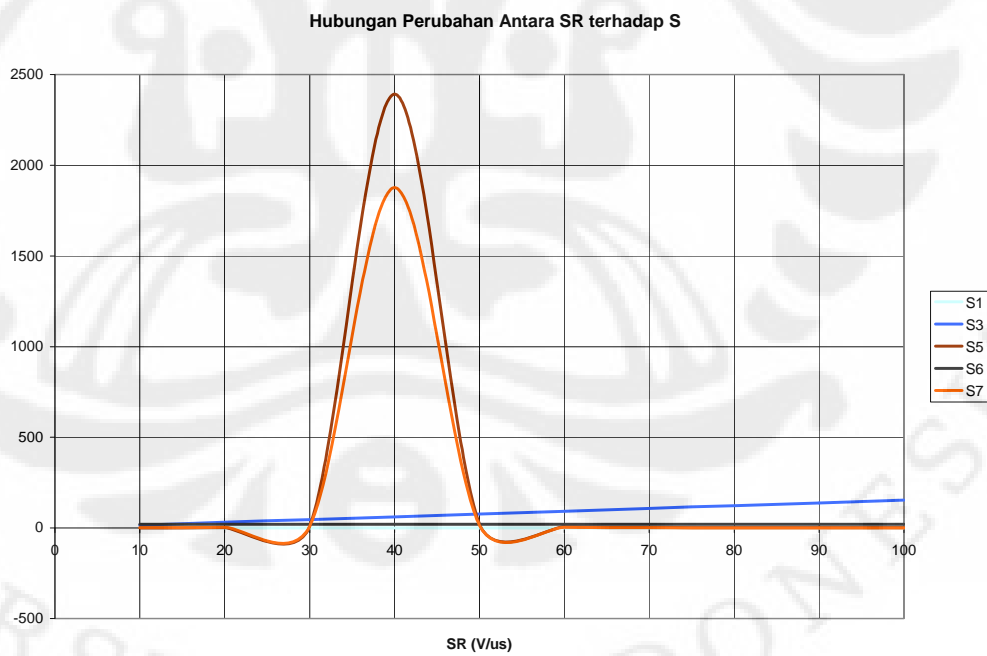
Hasil yang didapat dengan memasukkan tegangan  $V_{DD}$  5V dan  $V_{DD}$  3.3 V. Didapatkan sebuah gambar Untuk gambar 4.10 merupakan perbandingan perubahan  $C_L$  terhadap disipasi daya untuk tegangan masukkan 5V dan 3.3 V dengan nilai slewrate yang telah ditentukan sesuai dengan tabel 4.3, yaitu 20 V/ $\mu$ s. Perubahan tersebut juga berpengaruh terhadap dimensi dari seluruh S yang terlihat pada gambar 4.11 untuk tegangan masukkan  $V_{DD}$  5V. Untuk tegangan masukkan 3.3 V bisa dilihat pada lampiran B



Gambar 4.11: hubungan perubahan  $C_L$  terhadap Besaran S



Gambar 4.12: Hubungan perubahan *Slewrate* terhadap Disipasi Daya



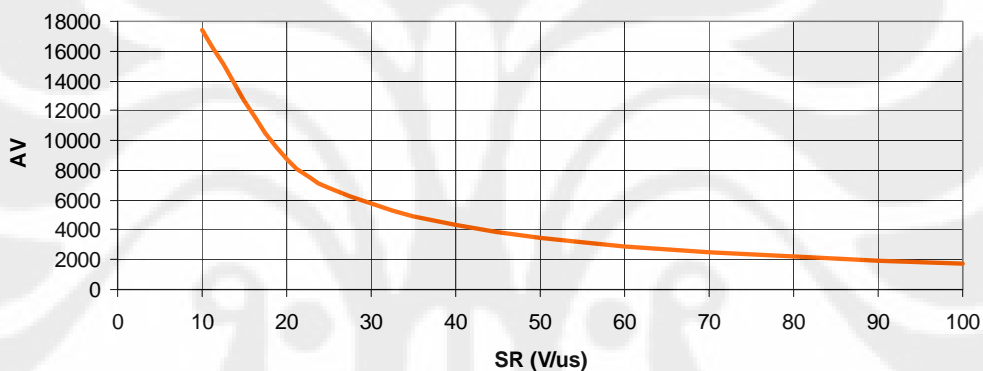
Gambar 4.13: Hubungan perubahan *Slewrate* terhadap S

Selanjutnya dari hasil yang didapat pada tabel 4.3, maka didapat untuk perubahan Slewrate terhadap disipasi daya untuk nilai  $C_L$  yang tetap yaitu

1800 pF. Maka didapatkan besaran keluaran seperti yang tertampil pada gambar 4.12 untuk tegangan masukkan  $V_{DD}$  5V dan 3.3V. Sedangkan gambar 4.13 menggambarkan kurva untuk perubahan Slewrate terhadap nilai S pada tegangan 5 V. Untuk 3.3 Volt bisa dilihat pada lampiran B.

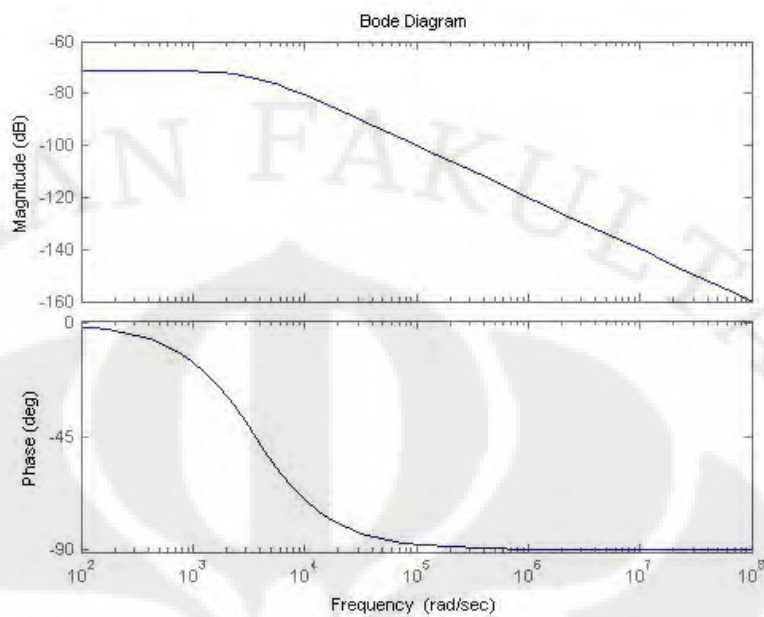
Selnajutnya berdasarkan tabel 4.3 dan tabel 4.5 diatas didapat bahwa nilai  $C_L$  bernilai 1800 pF, dan *Slewrate* yang didapat sebesar 20 V/ $\mu$ s sedangkan disipasi dayanya untuk Vdd 5V didapat 104 mW, untuk Vdd 3.3V didapat 72 mW. Sedangkan untuk perubahan *Slewrate* terhadap  $A_V$  tidak dipengaruhi terhadap besaran masukkan dari  $V_{DD}$  seperti yang ditampilkan pada gambar 4.14.

**Hubungan Perubahan CL terhadap AV untuk 3.3V dan 5V**

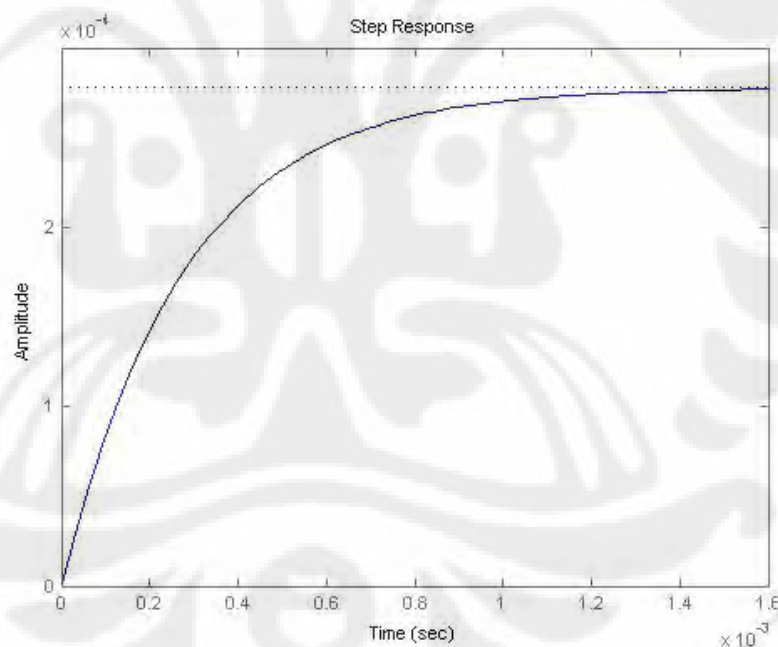


Gambar 4.14: Hubungan perubahan *Slewrate* terhadap  $A_V$

Dari kedua hasil tegangan masukkan 3.3V dan 5V didapat data yang bisa dilihat tingkat kestabilannya dari respons sistem dan diagram bodenya berdasarkan nilai tegangan yang sesuai dengan gambar 4.15(a) dan gambar 4.15(b)



Gambar 4.15(a), Hasil diagram bode untuk Vdd 5 V dan 3.3 V dengan menggunakan Matlab 7.0



Gambar 4.15(b), Hasil Respons Sistem untuk Vdd 5 V dan 3.3 V dengan menggunakan Matlab 7.0

Selanjutnya menentukan frekuensi yang diperkenankan agar mendapatkan keluaran yang diinginkan. Hubungan ini terjadi antara *Slewrate* dengan Frekuensi. Keluaran yang dimaksud adalah pergeseran fasa antara sinyal masukkan dengan

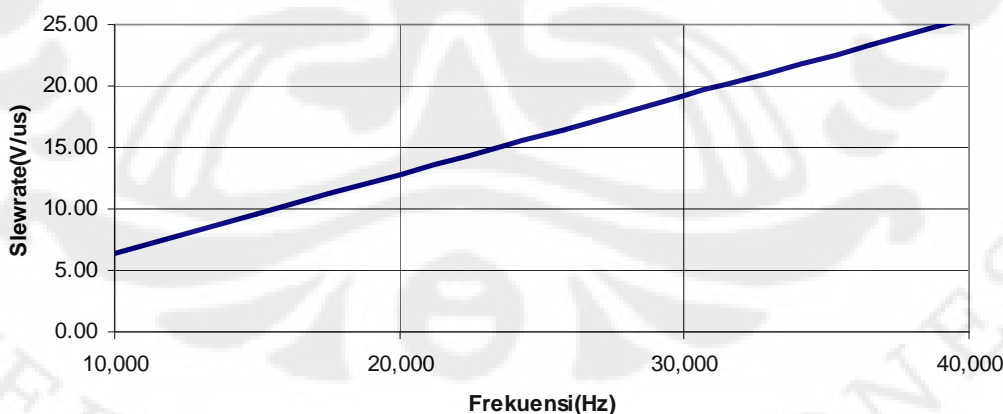
sinyal keluaran. Pergeseran fasa memiliki tingkat ketelitian yang diatur berdasarkan bersaran periodanya.

Dari gambar 4.17 *Slewrate* yang telah ditentukan yaitu sebesar  $20 \text{ V}/\mu\text{s}$ , maka tingkat ketelitian yang didapat untuk frekuensi 30 KHz adalah sebesar  $0.7^\circ$  untuk tegangan masukkan 5V dan  $0.46^\circ$  untuk tegangan masukkan 3.3 V. Untuk nilai 5 V didapat nilai maksimum frekuensinya adalah 31 KHz, sedangkan untuk yang 3,3 V didapat nilai maksimum frekuensinya adalah 31.5 KHz. Untuk grafik 3.3 V terlihat pada lampiran B.

Tabel 4.6. kurva perubahan Slewrate terhadap frekuensi

Freq(Hz)	Periode (S)	SR (V/ $\mu$ s)
10,000	0.0001	6.40
15,000	6.6667E-05	9.60
20,000	0.00005	12.80
25,000	0.00004	16.00
30,000	3.3333E-05	19.20
35,000	2.8571E-05	22.40
40,000	0.000025	25.60
45,000	2.2222E-05	28.80
50,000	0.00002	32.00

Kurva Perbandingan Slewrate terhadap frekuensi



Gambar 4.16, Kurva perbandingan *slew rate* dan FPBW

### 4.3 Analisa data

Penentuan kapasitor *Load* ( $C_L$ ) sebesar 1800 pF dilakukan dengan cara merubah-rubah besaran dari  $C_L$  yang dimulai dari 800 pF hingga 2900 pF dengan skala 100. Perubahan nilai  $C_L$  juga diiringi dengan penambahan nilai *Slewrate* yang berubah dari 10 V/ $\mu$ s hingga 100 V/ $\mu$ s dengan skala 10.

Perubahan nilai dari *Slewrate* yang semakin tinggi akan menyebabkan tidak tercapainya syarat untuk perbandingan W dan L seperti yang tertampil pada gambar 4.11, dengan mengacu pada syarat perbandingannya adalah bernilai  $\geq 1$ . Jika nilai S (W/L) kurang dari 1 akan menyebabkan besarnya hambatan untuk sebuah MOS. Sebab untuk menentukan nilai dari resistansi untuk sebuah MOS mengacu pada persamaan dibawah ini.

$$S = \frac{g_m^2}{K' I_d} \quad (4.1)$$

$$I_d \cong g_m \times V_{ds} \quad (4.2)$$

Jadi

$$R = \frac{1}{g_m} \quad (4.3)$$

Pada gambar 4.2 diatas didapat bahwa nilai dari  $S_3$  dan  $S_6$  memiliki nilai yang lebih besar daripada  $S_1, S_5, S_7$ . hal ini disebabkan oleh  $S_3$  merupakan sebagai fungsi masukkan op amp yang biasanya dikenal dengan tegangan referensi. Sedangkan  $S_6$  merupakan fungsi keluaran. Sebagai fungsi keluaran haruslah memiliki nilai resitansi yang kecil, sebab dari data sheet LM741 nilai hambatan luar sama dengan 0. Begitu pula dengan nilai  $S_3$ . Pada  $S_3$  harus dapat dilalui oleh arus yang berasal dari  $V_{DD}$ .

Pada gambar 4.4 ditemukan bahwa pada *Slewrate* bernilai 40 didapati nilai  $S_5$  yang begitu besar. Hal ini disebabkan oleh nilai  $V_{ds5}$  yang dibawah persyaratannya.

$$V_{DS5(sat)} = v_{in}(\min) - V_{ss} - \sqrt{\frac{I_5}{\beta}} - V_{Tl}(\max) \geq 100 \text{ mV} \quad (4.4)$$

Perbedaan tegangan masukkan memberikan perbedaan pada disipasi daya yang bernilai 104 mW untuk tegangan masukkan 5V. Sedangkan untuk tegangan masukkan 3.3V mendapatkan disipasi daya sebesar 72mW.

Perbedaan tegangan masukkan tidak mempengaruhi penguatan op-amp. Penguatan opamp yang didapat dari dua buah masukkan seperti yang tertampil pada tabel 4.3 dan 4.5 adalah sebesar 8722. dari besarnya penguatan dapat ditentukan CMRR (Common Mode Rejection Ratio) yaitu:

$$CMRR = 20 \log \frac{A_{ol}}{A_{cm}} \quad (4.5)$$

Dari persamaan 4.5 didapatkan nilai CMRR untuk kedua perbedaan masukkan. CMRR untuk keduanya adalah  $20 \log 8722$  jadi 78 dB.

Hasil data yang didapat pada tabel 4.3 dan tabel 4.5 dapat ditentukan kestabilannya yang bisa ditentukan dengan beberapa metode. Tetapi pada percobaan ini dibatasi dengan mencari kestabilan berdasarkan metode Bode. Dari kedua perbedaan masukkan tersebut terdapat kesamaan nilai Pole – Zero.

Pole1 bernilai -3600, sedangkan untuk Pole2 bernilai -69080000. sistem itu juga memiliki Zero yang bernilai -69080000. sehingga bentuk persamaannya menjadi:

$$H(S) = \frac{(S + 69080000)}{(S + 3600)(S + 69080000)} \quad (4.6)$$

Maka dari persamaan diatas dan grafik bode-nya, bisa dinyatakan bahwa opamp yang dirancang bersifat stabil.

## **BAB 5**

### **PENUTUP**

Pada bagian ini berisikan tentang kesimpulan yang didapat dari hasil percobaan dan analisa pada rangkaian *Operating Amplifier* dua tingkat. Antara lain:

#### **5.1. Kesimpulan**

1. Untuk Merancang *Operational Amplifier* yang memiliki *Slew Rate* yang diinginkan dapat diubah menjadi bentuk rangkaian *Operational Amplifier* yang lain
2. Memperbesar nilai dari kapasitan *Load* akan membuat besarnya Arus *Tail* juga semakin bertambah jika nilai dari *Slew rate* tetap. Tetapi dapat mempengaruhi hasil dari respon frekuensi
3. Penambahan jumlah *Slew Rate* berbanding Terbalik dengan *Gain*. Tetapi jika nilai *Slew Rate* melebihi dari batasnya akan mengakibatkan penurunan *Gain* yang cukup signifikan. Hal ini terjadi juga pada koefisien S3.
4. Maksimum *Slew Rate* pada parameter bernilai 20 V/ $\mu$ s. Jika nilai maksimum dari *Slew Rate* ingin ditambah perlu dilakukan modifikasi dari parameter MOS dan jenis rangkain Op-Amp.
5. Perbesaran nilai *Gain* akan menyebabkan nilai S1 dan S7 akan bertambah besar pula. Hal ini juga diikuti oleh penambahan  $P_{diss}$  dan *Gain*.
6. Memasukkan nilai *Slew Rate* yang melebihi dari batas maksimal akan menyebabkan perbandingan panjang dan lebar dari MOS menjadi besar. Sehingga  $V_{DS}$  yang berada di MOS 5 dapat bernilai Negatif
7. Penambahan *Gain Bandwidth* akan berakibat pada penambahan dissipasi daya.

#### **5.2. Saran**

1. Pada percobaan kali ini hanya bisa dilakukan dengan kemungkinan-kemungkinan yang terjadi tanpa mengetahui bagaimana kondisi pada saat di fabrikasi

2. Melakukan Studi literatur lebih dalam lagi agar mendapatkan parameter-parameter yang sesuai dengan kehendak
3. Dapat melakukan simulasi dengan PSPICE sebagai program pembantu yang dapat menghasilkan parameter-parameter dari Rangkaian *Operational Amplifier* Dua Tingkat

## DAFTAR ACUAN

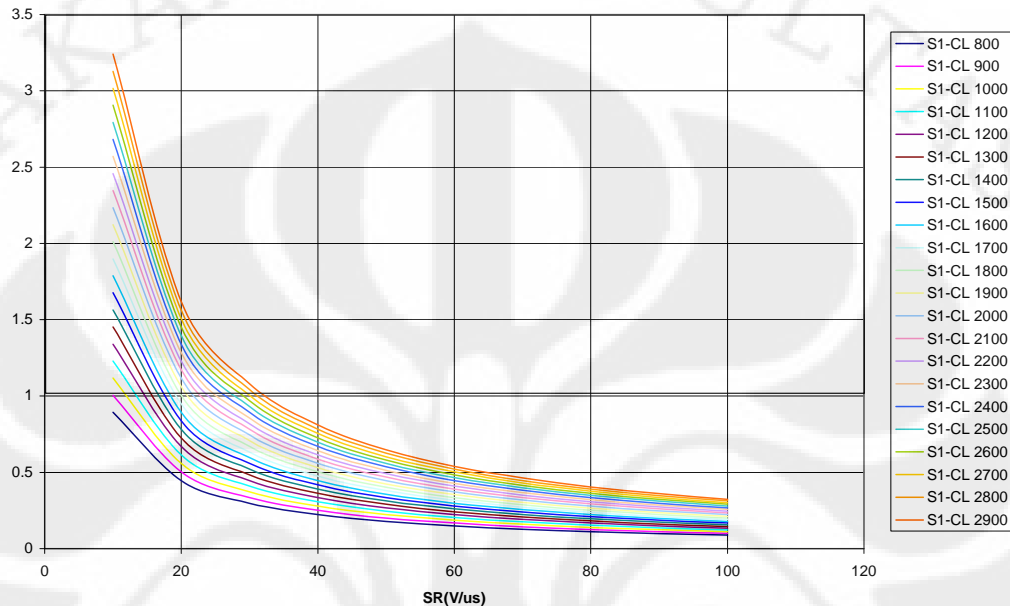
- [1] Boylestad, Robert.L.(2006).*Electronics Devices and Circuit Theory*.New Jersey:Pearson Education International.
- [2] Millman, Jacob and Grabel,Arvin.(1987).*Microelectronics second edition*.New York:McGRAW-HILL BOOK COMPANY.
- [3] Zuhal Prof. Dr. M.Sc.EE & Ir. Zhanggischan.(2004). *Prinsip Dasar Elektroteknik*. Jakarta: Gramedia.
- [4] Howe, Roger T and Charles G.Sodini.(1997). *Microelectronics An Integrated Approach*. New Jersey: Prentice Hall and VLSI Series.
- [5] Jung, Walt.(2005).*Op Amp Applications Handbook*.Oxford:Analog Devices.
- [6] Hayt, William.H & Buck, John.A.(2006).*Engineering Electromagnetics, Seventh Edition*.New York:McGraw-Hill.
- [7] Penjelasan Bapak Dr.Ir. Agus Santoso Tamsir, M.T.
- [8] Sze, S.M.(2002).*Circuit Semiconductor Devices Physics And Technology*.New York:John Wiley & Sons.
- [9] Allen, Philips E & Holberg, Douglas R.(1987). *CMOS Analog Circuit Design*.New York:Holt, Rinehart and Winston.
- [10] Two Stage Op-Amp Design.  
[http://users.ece.gatech.edu/~pallen/Academic/ECE\\_6412/Spring\\_2004/L160-MOSOpAmpDesign\(2UP\).pdf](http://users.ece.gatech.edu/~pallen/Academic/ECE_6412/Spring_2004/L160-MOSOpAmpDesign(2UP).pdf)
- [11] Hamonangan, Aswan. *Operational Amplifier Karakteristik Op-Amp*. ITB
- [12] Donc, Tolga.(2008).Analog Integrated Circuits Design Project. Sabanci University.
- [13] Alif, Taufik.(2009). *Optimisasi Rangkaian Detektor Fasa Frekuensi Rendah Sebagai Rangkaian Pembaca Keluaran Sensor Kelembaban dan Konduktivitas Elektrik*.Depok:UI

## DAFTAR PUSTAKA

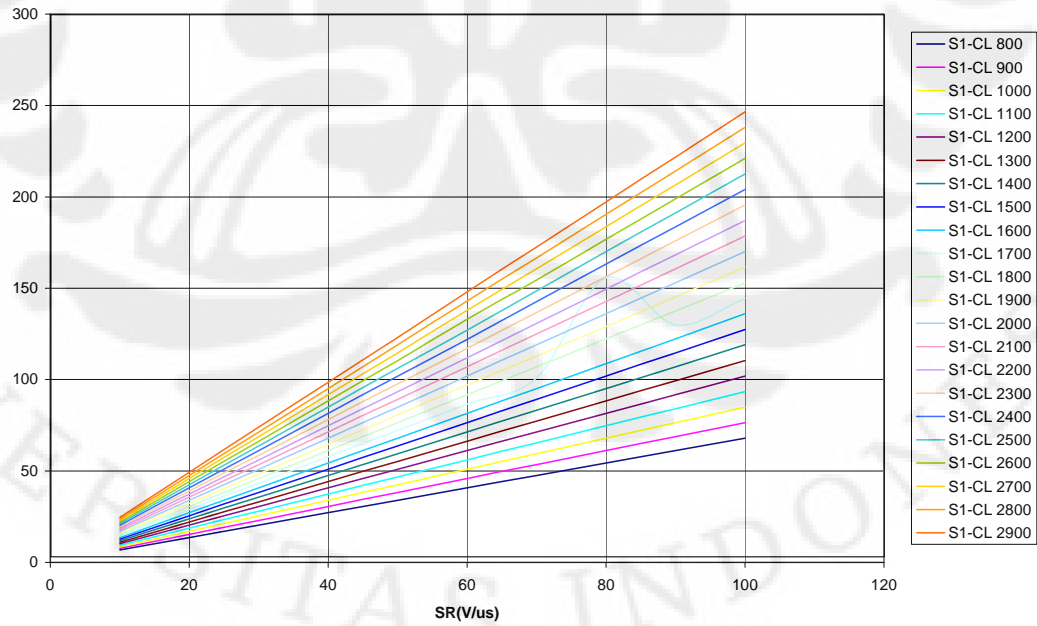
- Burr-Brown Products.(2000). *OPA2652 Dual, 700MHz, Voltage-Feedback OPERATIONAL AMPLIFIER*.USA:Burr-Brown Corporation.
- Burr-Brown Products.(2005).*High Precision Operational Amplifiers OPA277, OPA2277, OPA4277*.Texas Instruments.
- Carter, Bruce,. Brown,Thomas.R.(2001).*Handbook of Operational Amplifier Applications*.Application Report:Texas Instrumen.
- Clayton,George.,Winder,Steve.(2003).Operational Amplifiers.Kidlington:Elsevier Ltd.
- G. Fink, Donald (ed).(1975).*Electronic Engineers Handbook*. New York: McGraw Hill.
- Horowitz, Paul and Hil, Winfieldl.(1989).*The Art of Electronics 2nd Ed*. Cambridge:Cambridge University Press.
- Hughes,Frederick.W.(1981).*Op Amp Handbook*.London:Prentice-Hall.
- Linear Technology.*LTC1051/LTC1053Dual/Quad Precision Chopper Stabilized Operational Amplifiers With Internal Capacitors*. USA:Linear Technology Corporation.
- Linear Technology.(2000). *LT1886 Dual 700MHz, 200mA Operational Amplifier*. USA:Linear Technology Corporation.
- Millman, Jacob and Grabel,Arvin.(1987).*Microelectronics second edition*.New York:McGRAW-HILL BOOK COMPANY.
- National Semiconductor.(1999).*LM675 Power Operational Amplifier*.National Semiconductor Corporation.
- R.F.Coughlin and F.F.Driscoll.(1977).*Operational Amplifiers and Linear Integrated Circuits*.New York:Prentics-Hall.
- Tobey,Graamea,Huelsman.(1971).*Operational Amplifier Design and Applications*.New Delhi:McGRAW-HILL KOGAKUSHYA,LTD.

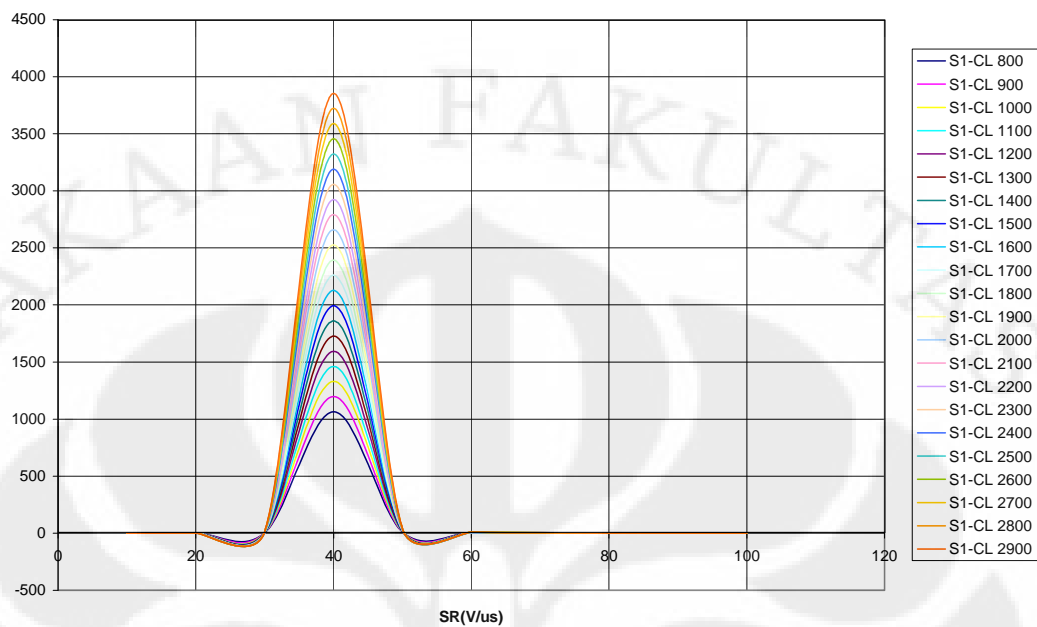
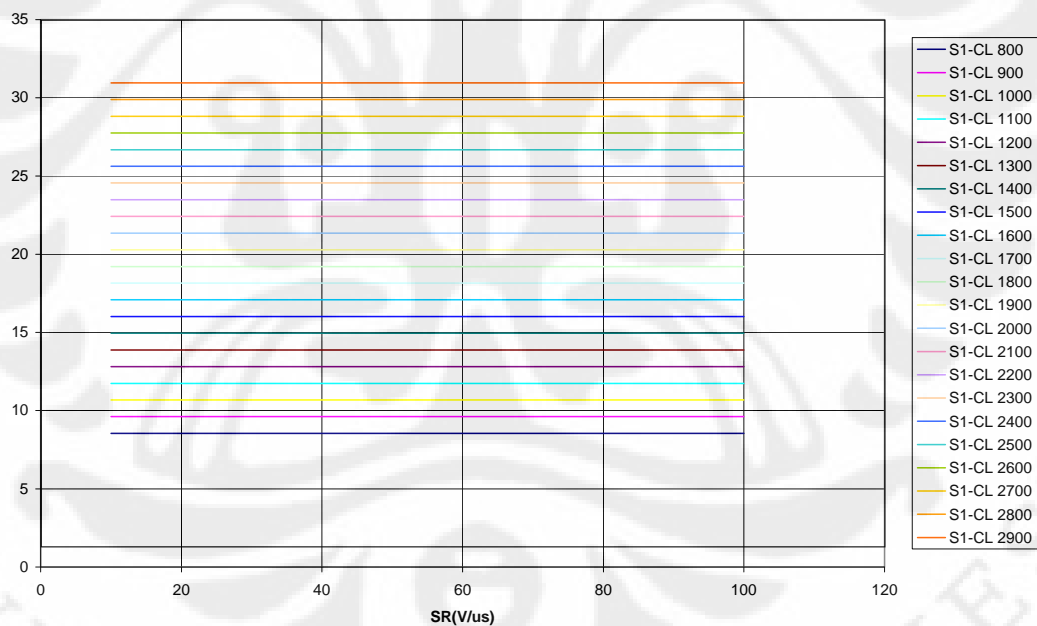
**Lampiran A : Keluaran *Operational Amplifier 5V***

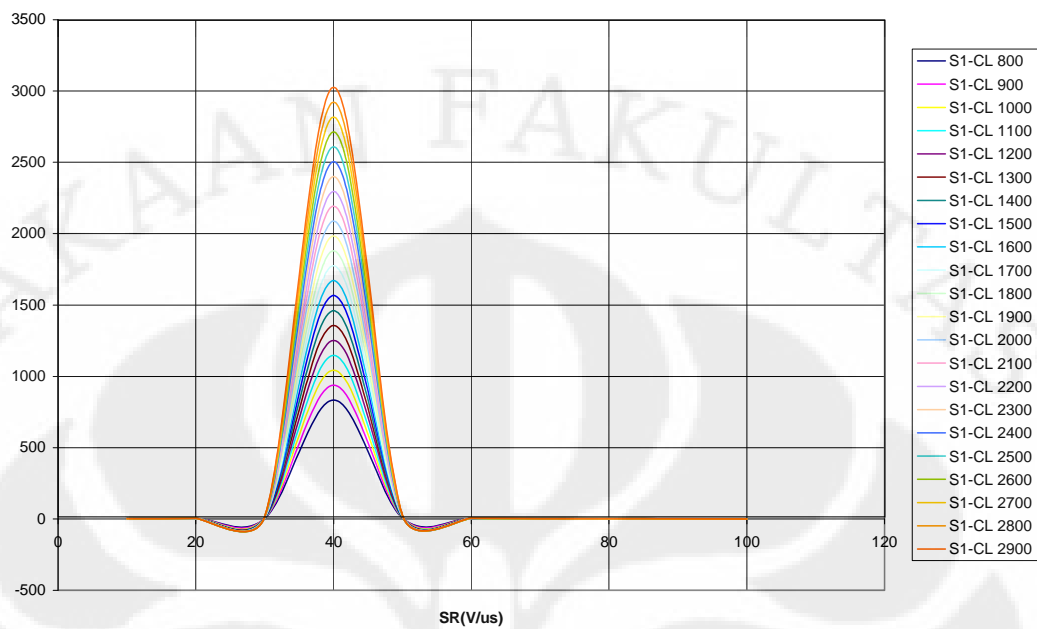
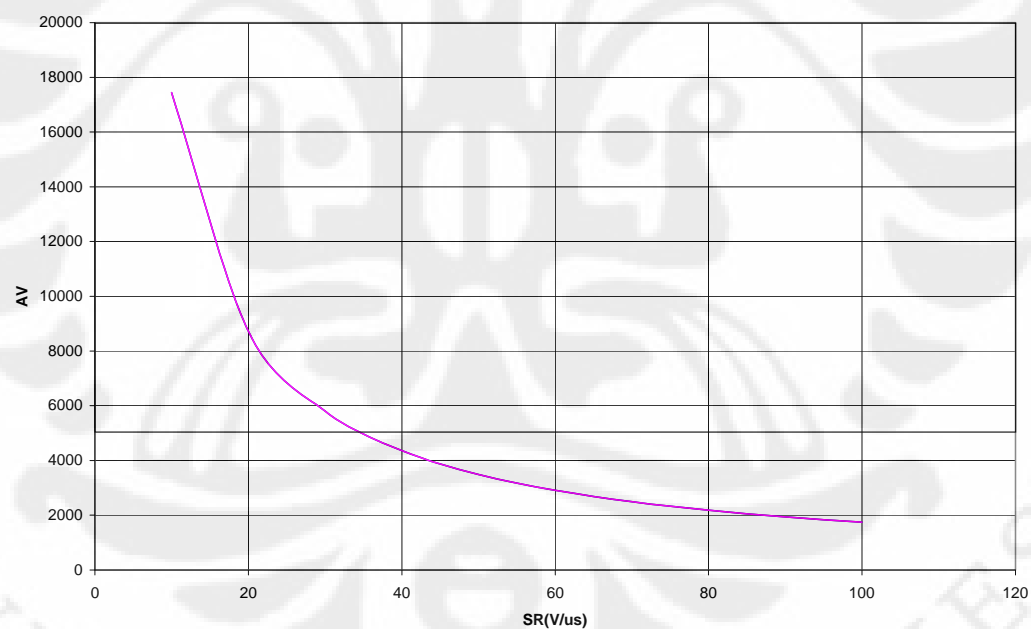
**Perubahan SR terhadap S1**

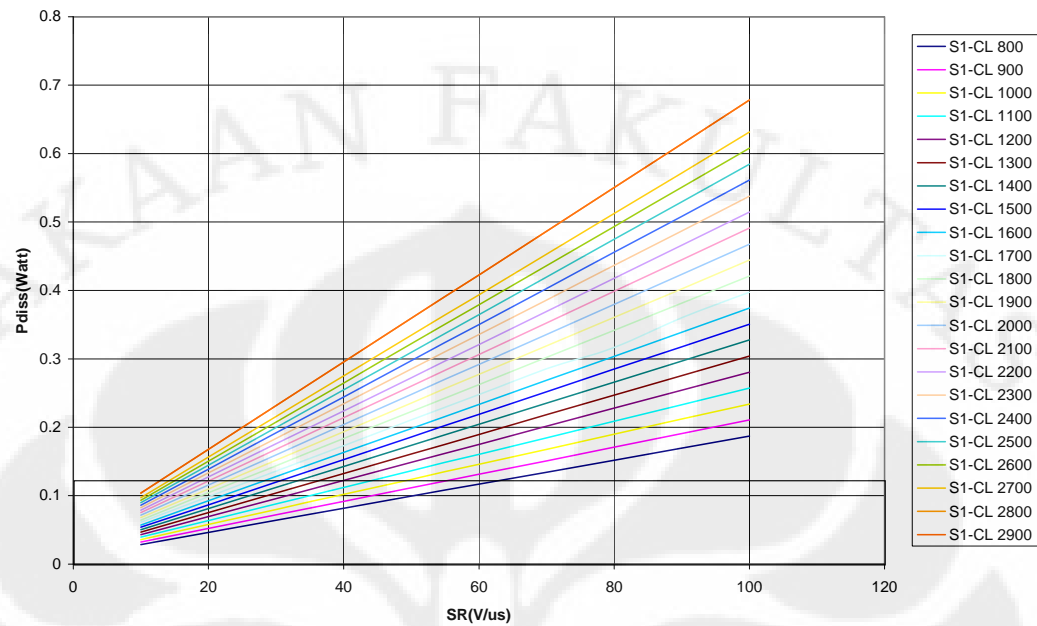
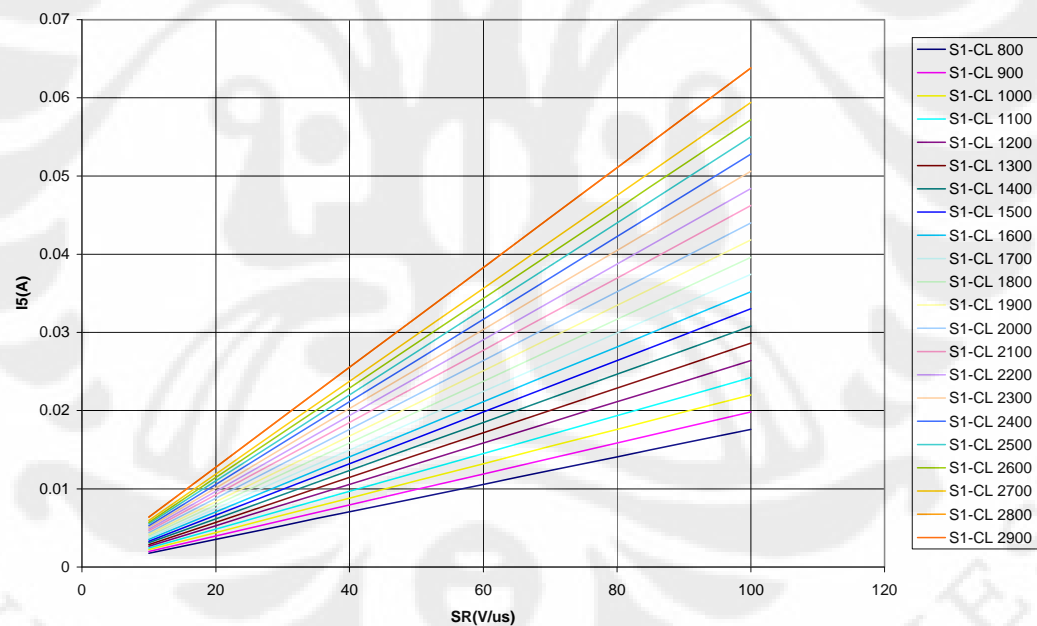


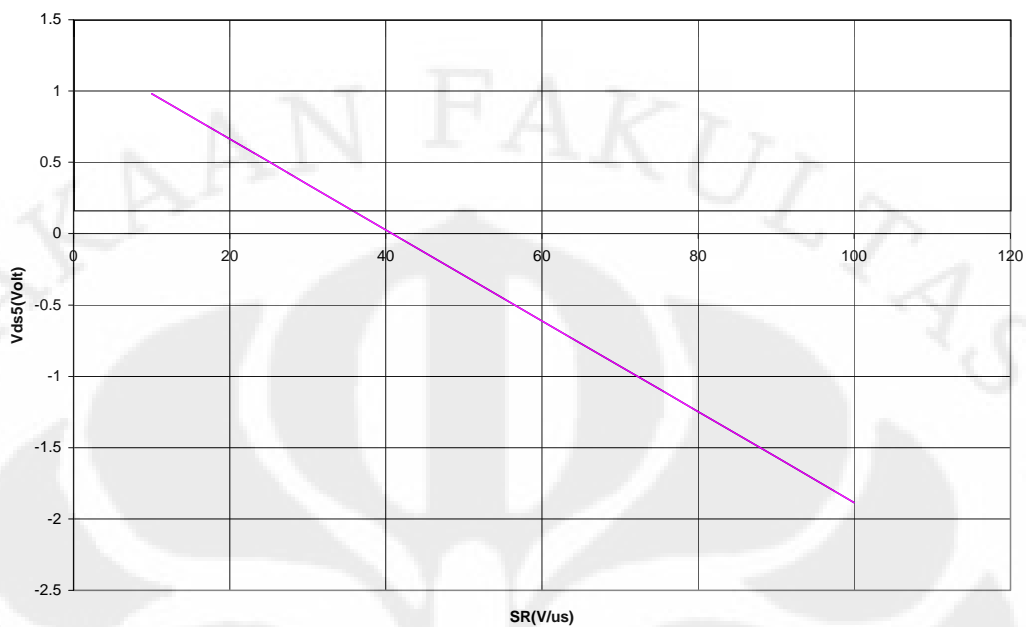
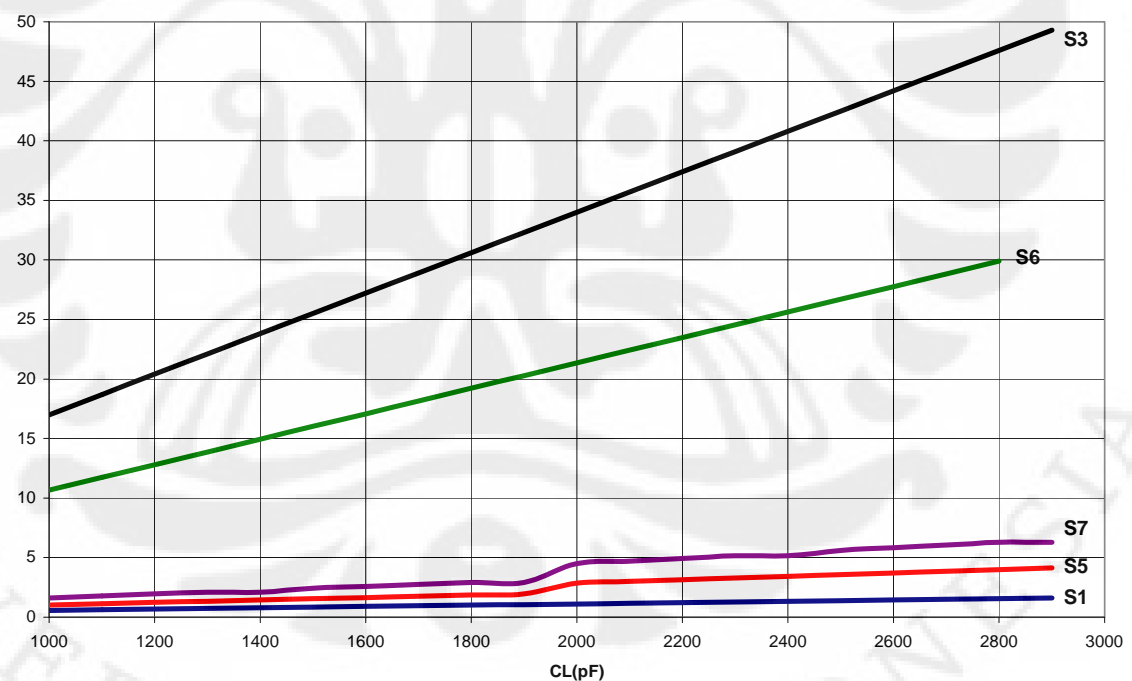
**Perubahan SR terhadap S3**

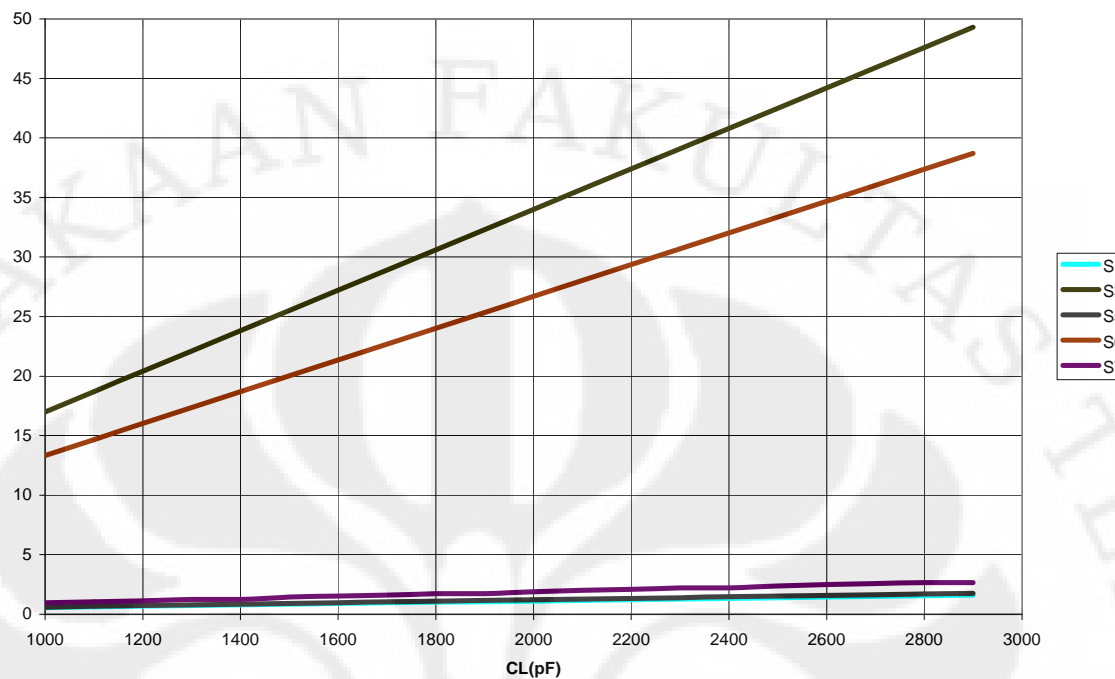
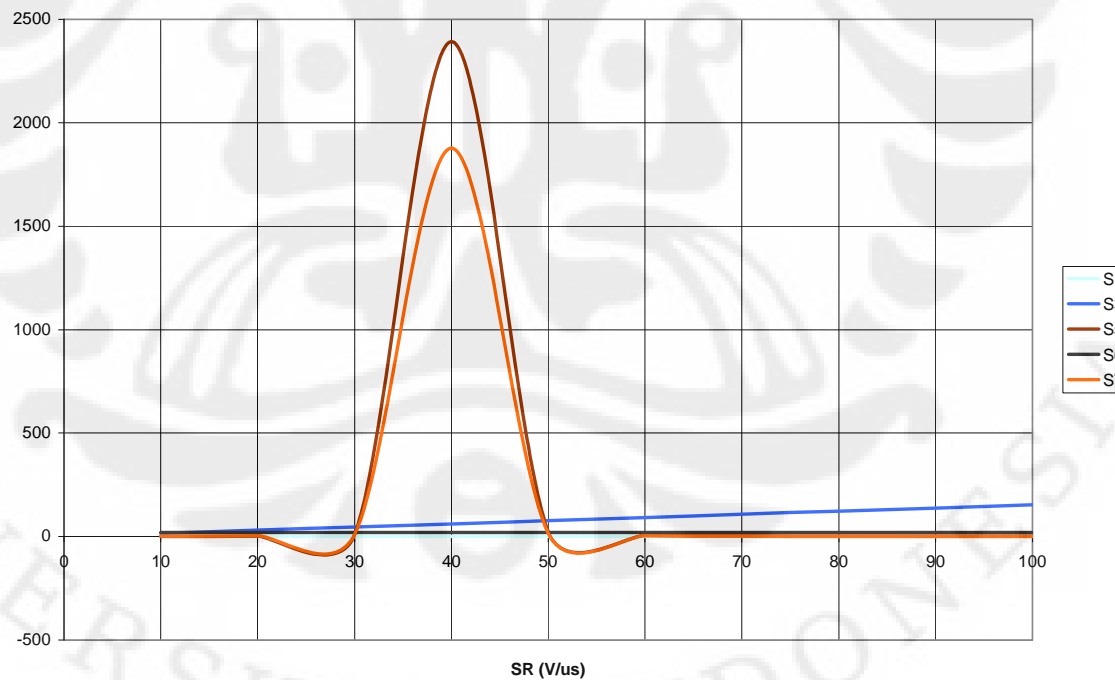


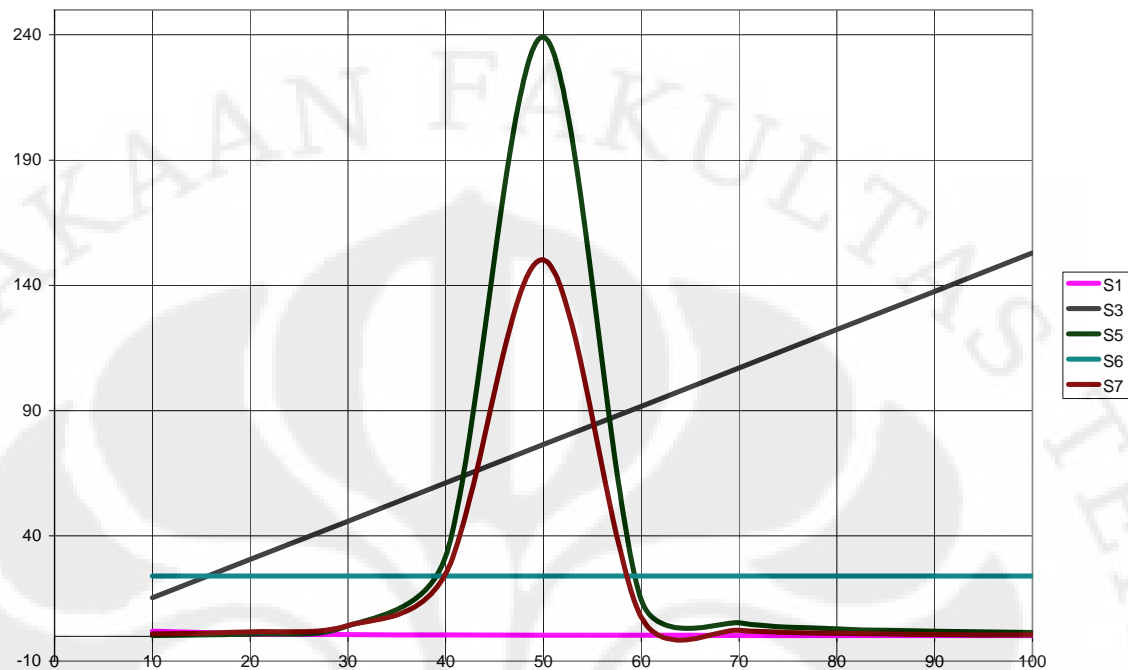
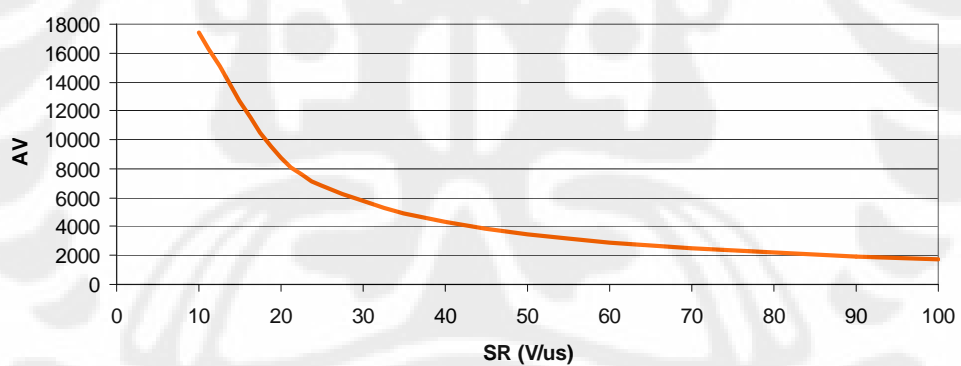
**Perubahan SR terhadap S5****Perubahan SR terhadap S6**

**Perubahan SR terhadap S7****Perubahan SR terhadap AV**

**Perubahan SR terhadap S7****Perubahan SR terhadap I5**

**Perubahan SR terhadap Vds5****Perubahan Besaran Suntuk Vdd 5V**

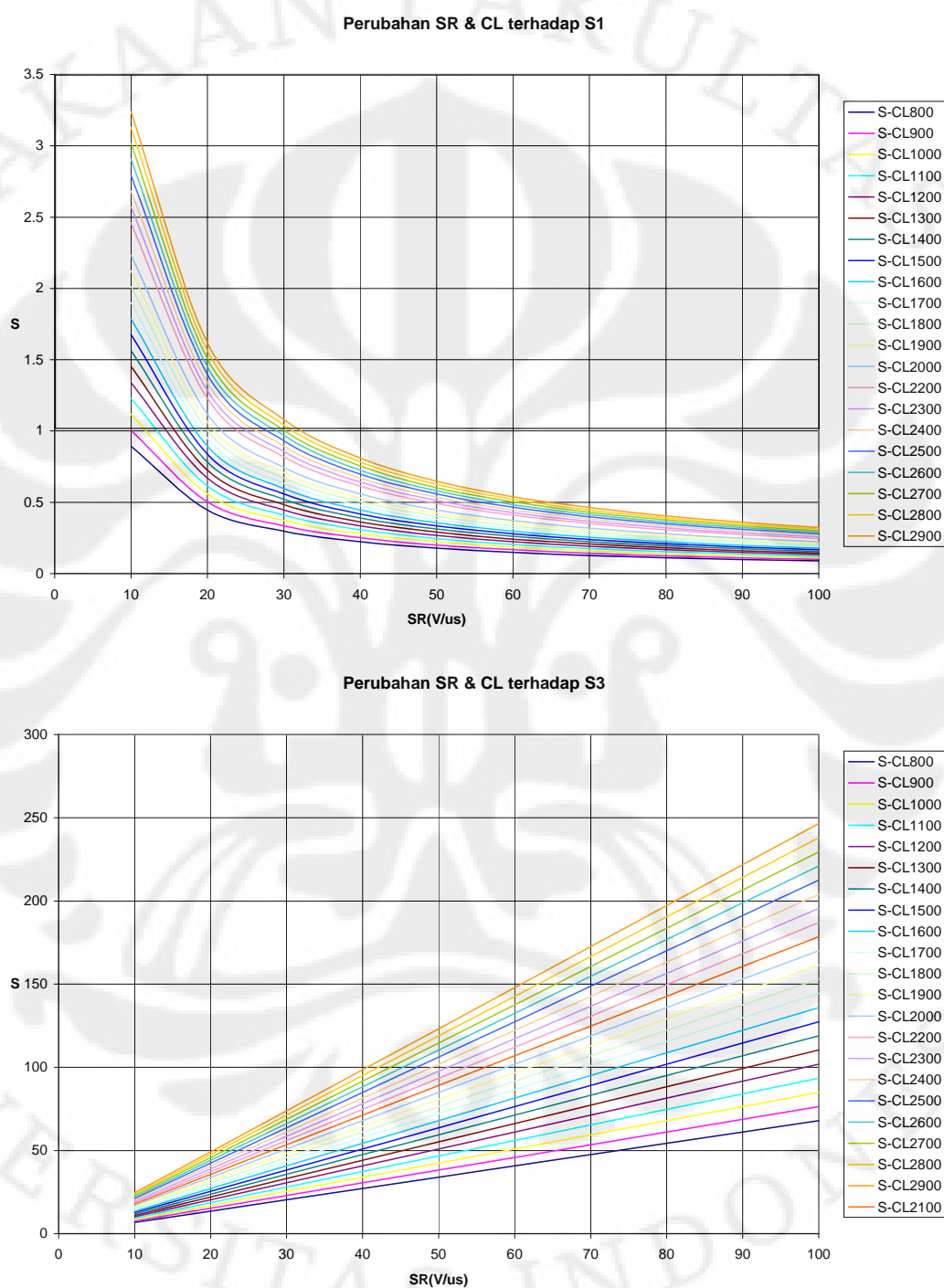
**Perubahan Besaran S untuk Vdd 3.3V****Hubungan Perubahan Antara SR terhadap S Vdd 5V**

**Perubahan S thd Pdiss Vdd 3.3 V****Hubungan Perubahan CL terhadap AV untuk 3.3V dan 5V**

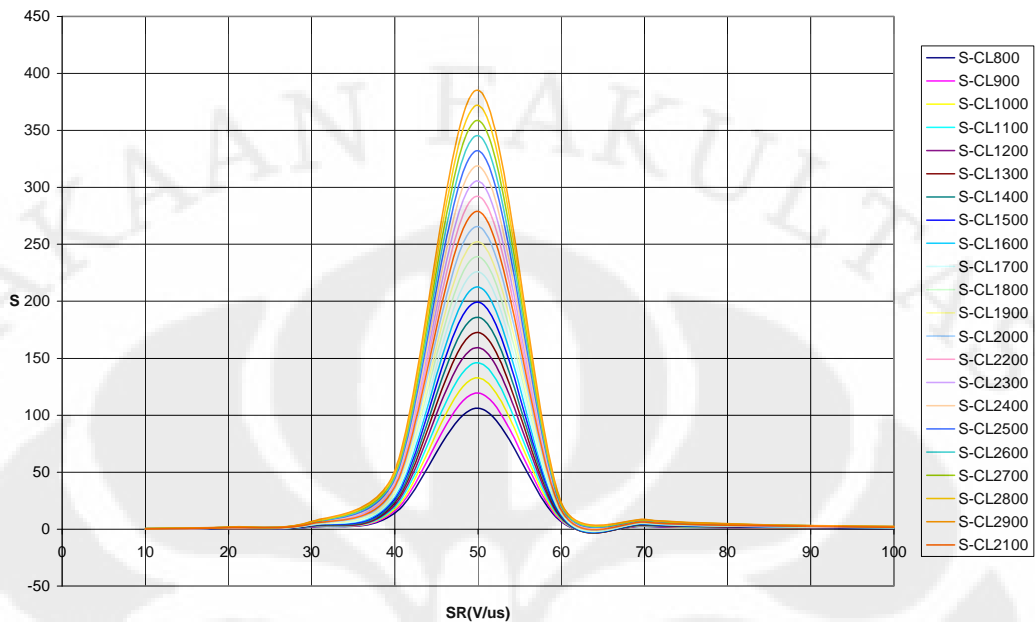
## Perbandingan W dan L

	5V	3.3V
CL = 1800 pF		
SR(V/uS)	20	20
S1	1.0055	1.01E+00
S3	30.6	30.6
S5	1.8558	1.095331272
S6	19.214	2.40E+01
S7	2.9135	1.72E+00
Av	8722.2	8722.222222
Pdiss	0.1041	0.072785671
L = 0.4μm		
Ld = 0.09μm		
W1 (μm)	0.402211	0.40221112
W3 (μm)	12.24	12.24
W5 (μm)	0.742305	0.438132509
W6 (μm)	7.685563	9.606953498
W7 (μm)	1.165419	0.687868039

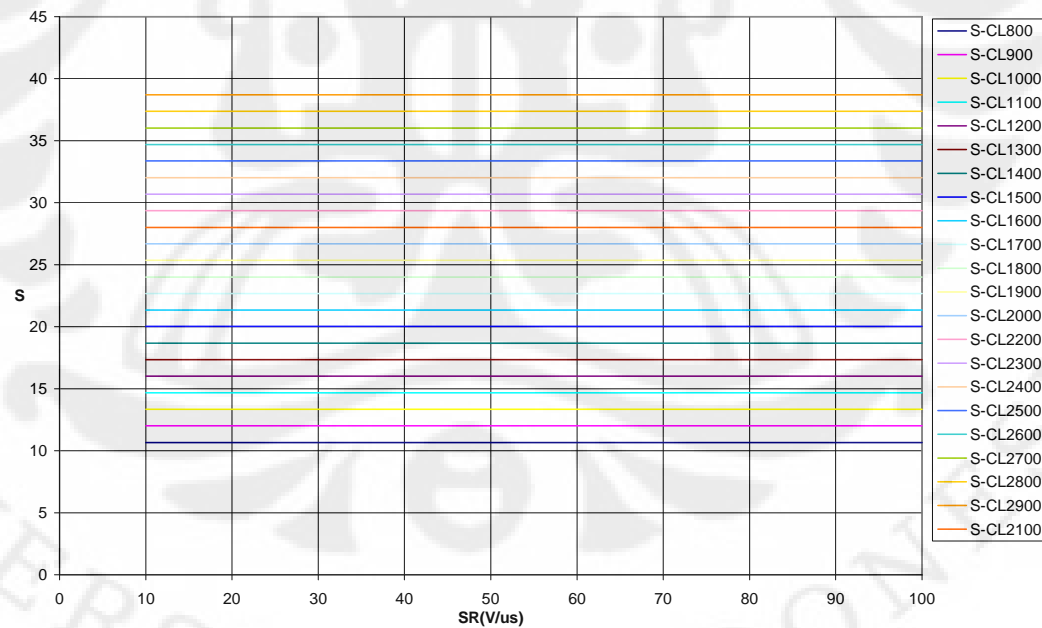
**Lampiran B : Keluaran Operational  
Amplifier 3.3 V**



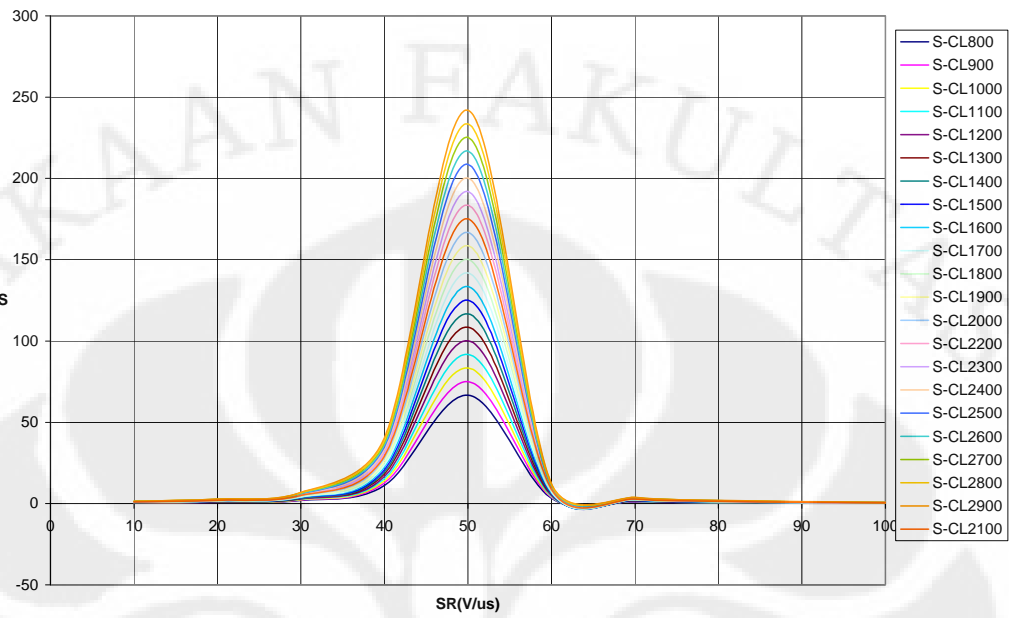
Perubahan SR &amp; CL terhadap S5



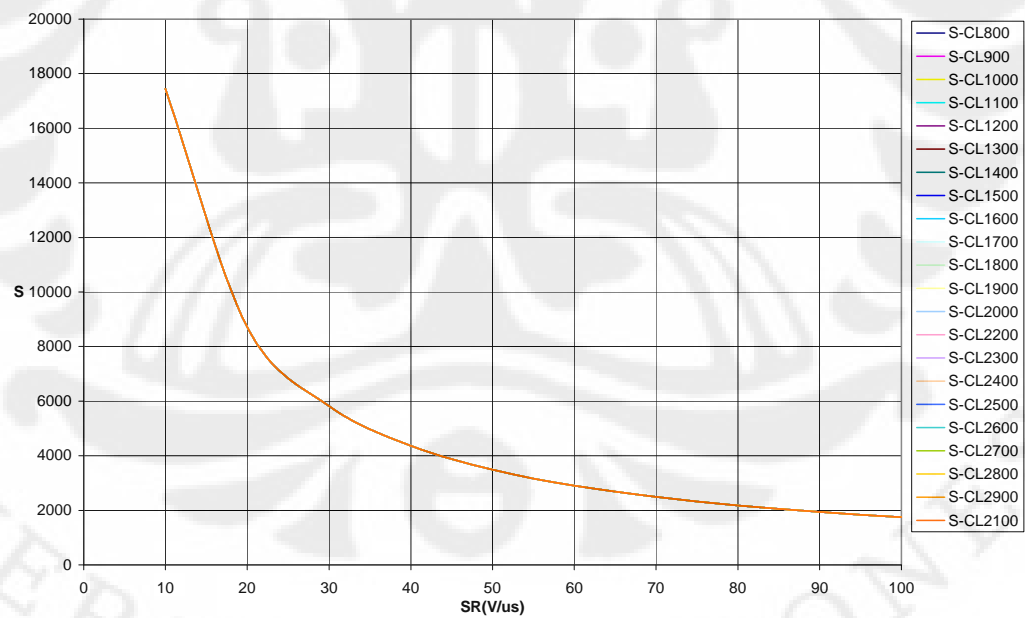
Perubahan SR &amp; CL terhadap S6



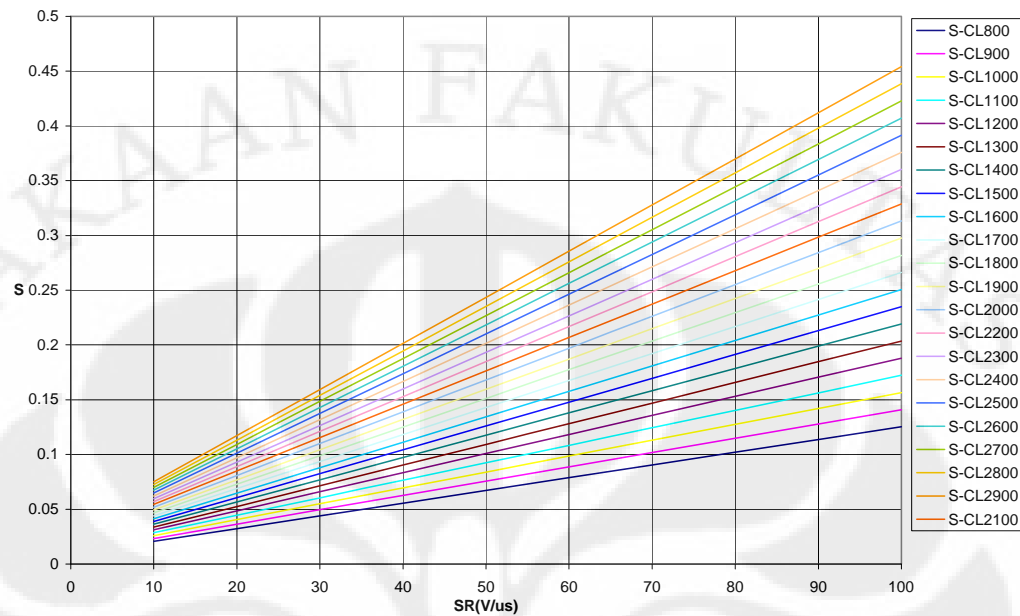
Perubahan SR &amp; CL terhadap S7



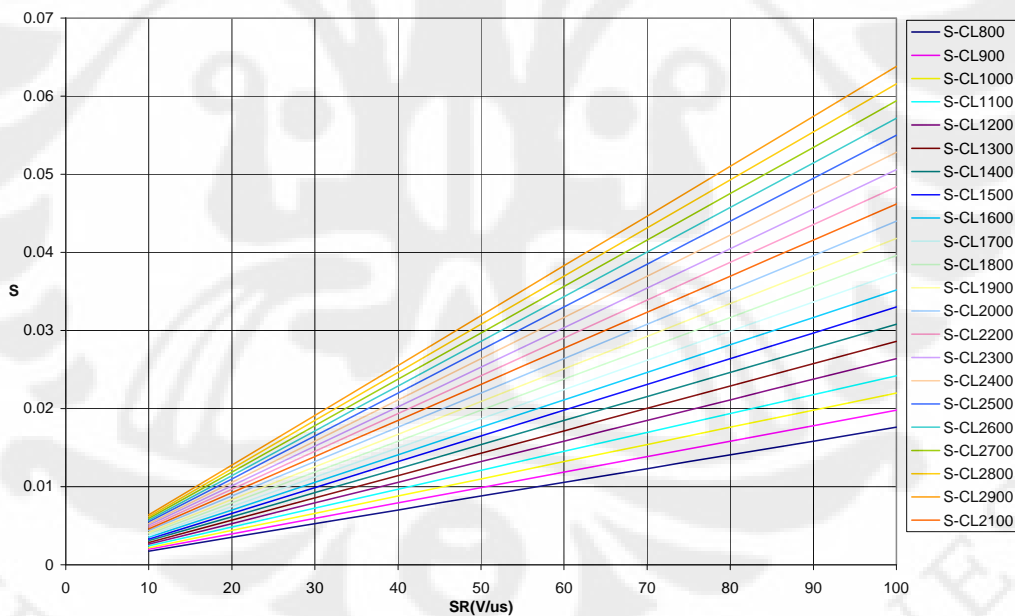
Perubahan SR &amp; CL terhadap Av

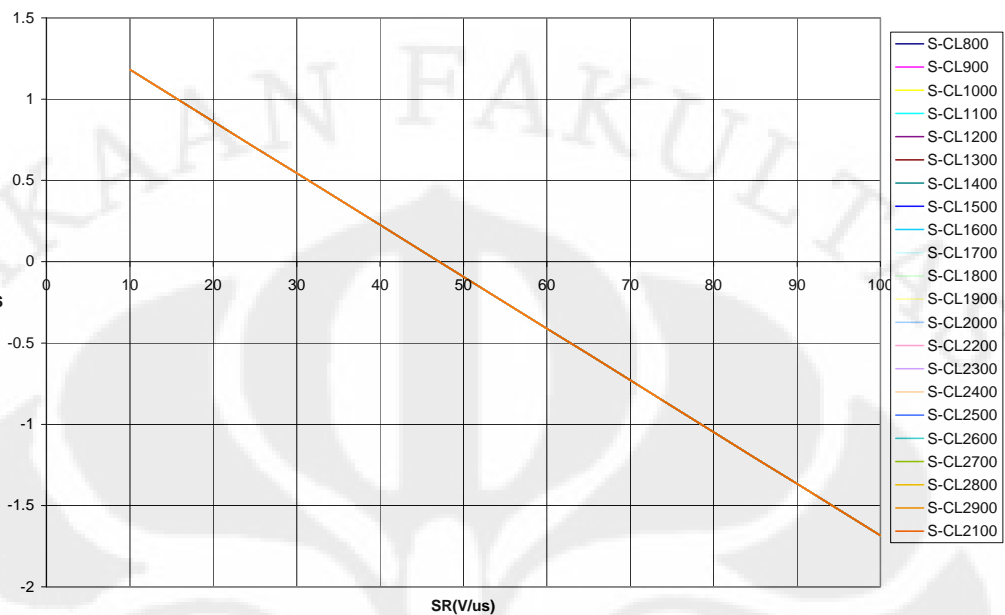


Perubahan SR &amp; CL terhadap P dissipasi



Perubahan SR &amp; CL terhadap I5



**Perubahan SR & CL terhadap Vds 5**

CL	800pF										
SR(V/uS)	10	20	30	40	50	60	70	80	90	100	
S1	0.893802488	0.446901244	0.297934163	0.223450622	0.178760498	0.148967081	0.12768607	0.111725311	0.099311388	0.089380249	
S3	6.798976291	13.59795258	20.39692887	27.19590516	33.99488145	40.79385774	47.59283403	54.39181032	61.19078661	67.98976291	
S5	0.129874454	0.486813899	1.834005311	14.1845267	106.2785361	6.445303685	2.386154886	1.321203593	0.87417721	0.638793092	
S6	10.67439278	10.67439278	10.67439278	10.67439278	10.67439278	10.67439278	10.67439278	10.67439278	10.67439278	10.67439278	
S7	0.407805787	0.764297821	1.919592226	11.13485346	66.74292066	3.373042262	1.070360906	0.51857241	0.304990716	0.200581031	
Av	17444.44444	8722.22222	5814.814815	4361.111111	3488.888889	2907.407407	2492.063492	2180.555556	1938.271605	1744.444444	
Pdiss	0.02073456	0.03235056	0.04396656	0.05558256	0.06719856	0.07881456	0.09043056	0.10204656	0.11366256	0.12527856	
I5	0.00176	0.00352	0.00528	0.00704	0.0088	0.01056	0.01232	0.01408	0.01584	0.0176	
Vds5	1.181528662	0.863057325	0.544585987	0.22611465	-0.092356688	-0.410828025	-0.729299363	-1.047770701	-1.366242038	-1.684713376	
CL	900pF										
SR(V/uS)	10	20	30	40	50	60	70	80	90	100	
S1	1.0055278	0.5027639	0.335175933	0.25138195	0.20110556	0.167587967	0.143646829	0.125690975	0.111725311	0.10055278	
S3	7.648848327	15.29769665	22.94654498	30.59539331	38.24424163	45.89308996	53.54193829	61.19078661	68.83963494	76.48848327	
S5	0.146108761	0.547665636	2.063255975	15.95759253	119.5633531	7.250966645	2.684424247	1.486354043	0.983449361	0.718642229	
S6	12.00869187	12.00869187	12.00869187	12.00869187	12.00869187	12.00869187	12.00869187	12.00869187	12.00869187	12.00869187	
S7	0.45878151	0.859835049	2.159541254	12.52671014	75.08578574	3.794672544	1.204156019	0.583393962	0.343114555	0.22565366	
Av	17444.44444	8722.22222	5814.814815	4361.111111	3488.888889	2907.407407	2492.063492	2180.555556	1938.271605	1744.444444	
Pdiss	0.02332638	0.03639438	0.04946238	0.06253038	0.07559838	0.08866638	0.10173438	0.11480238	0.12787038	0.14093838	
I5	0.00198	0.00396	0.00594	0.00792	0.0099	0.01188	0.01386	0.01584	0.01782	0.0198	
Vds5	1.181528662	0.863057325	0.544585987	0.22611465	-0.092356688	-0.410828025	-0.729299363	-1.047770701	-1.366242038	-1.684713376	
CL	1000pF										
SR(V/uS)	10	20	30	40	50	60	70	80	90	100	
S1	1.12E+00	5.59E-01	3.72E-01	2.79E-01	2.23E-01	1.86E-01	1.60E-01	1.40E-01	1.24E-01	1.12E-01	
S3	8.50E+00	16.99744073	25.49616109	3.40E+01	42.49360182	50.99232218	59.49104254	67.98976291	76.48848327	84.98720363	
S5	1.62E-01	0.608517373	2.292506639	17.73065837	132.8481701	8.06E+00	2.98E+00	1.65E+00	1.09E+00	7.98E-01	
S6	1.33E+01	1.33E+01	1.33E+01	1.33E+01	1.33E+01	1.33E+01	1.33E+01	1.33E+01	1.33E+01	1.33E+01	
S7	5.10E-01	9.55E-01	2.40E+00	1.39E+01	8.34E+01	4.22E+00	1.337951133	0.648215513	0.381238394	0.250726289	
Av	17444.44444	8722.22222	5814.814815	4361.111111	3488.888889	2907.407407	2492.063492	2180.555556	1938.271605	1744.444444	
Pdiss	0.0259182	0.0404382	0.0549582	0.0694782	0.0839982	0.0985182	0.1130382	0.1275582	0.1420782	0.1565982	
I5	0.0022	0.0044	0.0066	0.0088	0.011	0.0132	0.0154	0.0176	0.0198	0.022	
Vds5	1.181528662	0.863057325	0.544585987	0.22611465	-0.092356688	-0.410828025	-0.729299363	-1.047770701	-1.366242038	-1.684713376	

CL	1100pF	10	20	30	40	50	60	70	80	90	100
SR(V/uS)											
S1	1.228978422	0.614489211	0.409659474	0.307244605	0.245795684	0.204829737	0.175568346	0.153622303	0.136553158	0.122897842	
S3	9.348592399	18.6971848	28.0457772	37.3943696	46.742962	56.0915544	65.4401468	74.7887392	84.13733159	93.48592399	
S5	0.178577375	0.669369111	2.521757303	19.50372421	146.1329871	8.862292566	3.280962968	1.816654941	1.201993664	0.878340502	
S6	14.67729007	14.67729007	14.67729007	14.67729007	14.67729007	14.67729007	14.67729007	14.67729007	14.67729007	14.67729007	
S7	0.560732957	1.050909504	2.63943931	15.3104235	91.77151591	4.63793311	1.471746246	0.713037064	0.419362234	0.275798918	
Av	17444.44444	8722.22222	5814.814815	4361.111111	3488.888889	2907.407407	2492.063492	2180.555556	1938.271605	1744.444444	
Pdiss	0.02851002	0.04448202	0.06045402	0.07642602	0.09239802	0.10837002	0.12434202	0.14031402	0.15628602	0.17225802	
I5	0.00242	0.00484	0.00726	0.00968	0.0121	0.01452	0.01694	0.01936	0.02178	0.0242	
Vds5	1.181528662	0.863057325	0.544585987	0.22611465	-0.092356688	-0.410828025	-0.729299363	-1.047770701	-1.366242038	-1.684713376	
CL	1200pF	10	20	30	40	50	60	70	80	90	100
SR(V/uS)											
S1	1.34E+00	6.70E-01	4.47E-01	3.35E-01	2.68E-01	2.23E-01	1.92E-01	1.68E-01	1.49E-01	1.34E-01	
S3	1.02E+01	20.39692887	30.59539331	4.08E+01	50.99232218	61.19078661	71.38925105	81.58771549	91.78617992	101.9846444	
S5	1.95E-01	0.730220848	2.751007967	21.27679004	159.4178041	9.67E+00	3.58E+00	1.98E+00	1.31E+00	9.58E-01	
S6	1.60E+01	1.60E+01	1.60E+01	1.60E+01	1.60E+01	1.60E+01	1.60E+01	1.60E+01	1.60E+01	1.60E+01	
S7	6.12E-01	1.15E+00	2.88E+00	1.67E+01	1.00E+02	5.06E+00	1.605541359	0.777858616	0.457486073	0.300871546	
Av	17444.44444	8722.22222	5814.814815	4361.111111	3488.888889	2907.407407	2492.063492	2180.555556	1938.271605	1744.444444	
Pdiss	0.03110184	0.04852584	0.06594984	0.08337384	0.10079784	0.11822184	0.13564584	0.15306984	0.17049384	0.18791784	
I5	0.00264	0.00528	0.00792	0.01056	0.0132	0.01584	0.01848	0.02112	0.02376	0.0264	
Vds5	1.181528662	0.863057325	0.544585987	0.22611465	-0.092356688	-0.410828025	-0.729299363	-1.047770701	-1.366242038	-1.684713376	
CL	1300pF	10	20	30	40	50	60	70	80	90	100
SR(V/uS)											
S1	1.452429044	0.726214522	0.484143015	0.363107261	0.290485809	0.242071507	0.207489863	0.18155363	0.161381005	0.145242904	
S3	11.04833647	22.09667294	33.14500942	44.19334589	55.24168236	66.29001883	77.3383553	88.38669178	99.43502825	110.4833647	
S5	0.211045988	0.791072585	2.980258631	23.04985588	172.7026211	10.47361849	3.87750169	2.146955839	1.420537966	1.038038775	
S6	17.34588826	17.34588826	17.34588826	17.34588826	17.34588826	17.34588826	17.34588826	17.34588826	17.34588826	17.34588826	
S7	0.662684403	1.241983959	3.119337367	18.09413687	108.4572461	5.481193675	1.739336472	0.842680167	0.495609913	0.325944175	
Av	17444.44444	8722.22222	5814.814815	4361.111111	3488.888889	2907.407407	2492.063492	2180.555556	1938.271605	1744.444444	
Pdiss	0.03369366	0.05256966	0.07144566	0.09032166	0.10919766	0.12807366	0.14694966	0.16582566	0.18470166	0.20357766	
I5	0.00286	0.00572	0.00858	0.01144	0.0143	0.01716	0.02002	0.02288	0.02574	0.0286	
Vds5	1.181528662	0.863057325	0.544585987	0.22611465	-0.092356688	-0.410828025	-0.729299363	-1.047770701	-1.366242038	-1.684713376	

CL	1400pF	10	20	30	40	50	60	70	80	90	100
SR(V/uS)											
S1	1.564154355	0.782077177	0.521384785	0.391038589	0.312830871	0.260692392	0.223450622	0.195519294	0.173794928	0.156415435	
S3	11.89820851	23.79641702	35.69462553	47.59283403	59.49104254	71.38925105	83.28745956	95.18566807	107.0838766	118.9820851	
S5	0.227280295	0.851924323	3.209509295	24.82292172	185.9874381	11.27928145	4.175771051	2.312106288	1.529810118	1.117887911	
S6	18.68018736	18.68018736	18.68018736	18.68018736	18.68018736	18.68018736	18.68018736	18.68018736	18.68018736	18.68018736	
S7	0.713660127	1.337521187	3.359286395	19.48599355	116.8001112	5.902823958	1.873131586	0.907501718	0.533733752	0.351016804	
Av	17444.44444	8722.222222	5814.814815	4361.111111	3488.888889	2907.407407	2492.063492	2180.555556	1938.271605	1744.444444	
Pdiss	0.03628548	0.05661348	0.07694148	0.09726948	0.11759748	0.13792548	0.15825348	0.17858148	0.19890948	0.21923748	
I5	0.00308	0.00616	0.00924	0.01232	0.0154	0.01848	0.02156	0.02464	0.02772	0.0308	
Vds5	1.181528662	0.863057325	0.544585987	0.22611465	-0.092356688	-0.410828025	-0.729299363	-1.047770701	-1.366242038	-1.684713376	
CL	1500pF	10	20	30	40	50	60	70	80	90	100
SR(V/uS)											
S1	1.68E+00	8.38E-01	5.59E-01	4.19E-01	3.35E-01	2.79E-01	2.39E-01	2.09E-01	1.86E-01	1.68E-01	
S3	1.27E+01	25.49616109	38.24424163	5.10E+01	63.74040272	76.48848327	89.23656381	101.9846444	114.7327249	127.4808054	
S5	2.44E-01	0.91277606	3.438759959	26.59598756	199.2722552	1.21E+01	4.47E+00	2.48E+00	1.64E+00	1.20E+00	
S6	2.00E+01	2.00E+01	2.00E+01	2.00E+01	2.00E+01	2.00E+01	2.00E+01	2.00E+01	2.00E+01	2.00E+01	
S7	7.65E-01	1.43E+00	3.60E+00	2.09E+01	1.25E+02	6.32E+00	2.006926699	0.97232327	0.571857592	0.376089433	
Av	17444.44444	8722.222222	5814.814815	4361.111111	3488.888889	2907.407407	2492.063492	2180.555556	1938.271605	1744.444444	
Pdiss	0.0388773	0.0606573	0.0824373	0.1042173	0.1259973	0.1477773	0.1695573	0.1913373	0.2131173	0.2348973	
I5	0.0033	0.0066	0.0099	0.0132	0.0165	0.0198	0.0231	0.0264	0.0297	0.033	
Vds5	1.181528662	0.863057325	0.544585987	0.22611465	-0.092356688	-0.410828025	-0.729299363	-1.047770701	-1.366242038	-1.684713376	
CL	1600pF	10	20	30	40	50	60	70	80	90	100
SR(V/uS)											
S1	1.787604977	0.893802488	0.595868326	0.446901244	0.357520995	0.297934163	0.25537214	0.223450622	0.198622775	0.178760498	
S3	13.59795258	27.19590516	40.79385774	54.39181032	67.98976291	81.58771549	95.18566807	108.7836206	122.3815732	135.9795258	
S5	0.259748909	0.973627797	3.668010623	28.36905339	212.5570722	12.89060737	4.772309772	2.642407187	1.74835442	1.277586184	
S6	21.34878555	21.34878555	21.34878555	21.34878555	21.34878555	21.34878555	21.34878555	21.34878555	21.34878555	21.34878555	
S7	0.815611573	1.528595642	3.839184452	22.26970691	133.4858413	6.746084523	2.140721812	1.037144821	0.609981431	0.401162062	
Av	17444.44444	8722.222222	5814.814815	4361.111111	3488.888889	2907.407407	2492.063492	2180.555556	1938.271605	1744.444444	
Pdiss	0.04146912	0.06470112	0.08793312	0.11116512	0.13439712	0.15762912	0.18086112	0.20409312	0.22732512	0.25055712	
I5	0.00352	0.00704	0.01056	0.01408	0.0176	0.02112	0.02464	0.02816	0.03168	0.0352	
Vds5	1.181528662	0.863057325	0.544585987	0.22611465	-0.092356688	-0.410828025	-0.729299363	-1.047770701	-1.366242038	-1.684713376	

CL	1700pF	10	20	30	40	50	60	70	80	90	100
SR(V/uS)											
S1	1.899330288	0.949665144	0.633110096	0.474832572	0.379866058	0.316555048	0.271332898	0.237416286	0.211036699	0.189933029	
S3	14.44782462	28.89564923	43.34347385	57.79129847	72.23912309	86.6869477	101.1347723	115.5825969	130.0304216	144.4782462	
S5	0.275983215	1.034479535	3.897261286	30.14211923	225.8418892	13.69627033	5.070579133	2.807557636	1.857626571	1.357435321	
S6	22.68308465	22.68308465	22.68308465	22.68308465	22.68308465	22.68308465	22.68308465	22.68308465	22.68308465	22.68308465	
S7	0.866587297	1.62413287	4.07913348	23.6615636	141.8287064	7.167714806	2.274516925	1.101966372	0.64810527	0.426234691	
Av	17444.44444	8722.22222	5814.814815	4361.111111	3488.888889	2907.407407	2492.063492	2180.555556	1938.271605	1744.444444	
Pdiss	0.04406094	0.06874494	0.09342894	0.11811294	0.14279694	0.16748094	0.19216494	0.21684894	0.24153294	0.26621694	
I5	0.00374	0.00748	0.01122	0.01496	0.0187	0.02244	0.02618	0.02992	0.03366	0.0374	
Vds5	1.181528662	0.863057325	0.544585987	0.22611465	-0.092356688	-0.410828025	-0.729299363	-1.047770701	-1.366242038	-1.684713376	
CL	1800pF	10	20	30	40	50	60	70	80	90	100
SR(V/uS)											
S1	2.011055599	1.0055278	0.670351866	0.5027639	0.40221112	0.335175933	0.287293657	0.25138195	0.223450622	0.20110556	
S3	15.29769665	30.59539331	45.89308996	61.19078661	76.48848327	91.78617992	107.0838766	122.3815732	137.6792699	152.9769665	
S5	0.292217522	1.095331272	4.12651195	31.91518507	239.1267062	14.50193329	5.368848494	2.972708085	1.966898723	1.437284457	
S6	24.01738375	24.01738375	24.01738375	24.01738375	24.01738375	24.01738375	24.01738375	24.01738375	24.01738375	24.01738375	
S7	0.91756302	1.719670097	4.319082508	25.05342028	150.1715715	7.589345089	2.408312039	1.166787923	0.68622911	0.45130732	
Av	17444.44444	8722.22222	5814.814815	4361.111111	3488.888889	2907.407407	2492.063492	2180.555556	1938.271605	1744.444444	
Pdiss	0.04665276	0.07278876	0.09892476	0.12506076	0.15119676	0.17733276	0.20346876	0.22960476	0.25574076	0.28187676	
I5	0.00396	0.00792	0.01188	0.01584	0.0198	0.02376	0.02772	0.03168	0.03564	0.0396	
Vds5	1.181528662	0.863057325	0.544585987	0.22611465	-0.092356688	-0.410828025	-0.729299363	-1.047770701	-1.366242038	-1.684713376	
CL	1900pF	10	20	30	40	50	60	70	80	90	100
SR(V/uS)											
S1	2.12278091	1.061390455	0.707593637	0.530695228	0.424556182	0.353796818	0.303254416	0.265347614	0.235864546	0.212278091	
S3	16.14756869	32.29513738	48.44270607	64.59027476	80.73784345	96.88541214	113.0329808	129.1805495	145.3281182	161.4756869	
S5	0.308451829	1.15618301	4.355762614	33.6882509	252.4115232	15.30759625	5.667117855	3.137858534	2.076170874	1.517133594	
S6	25.35168284	25.35168284	25.35168284	25.35168284	25.35168284	25.35168284	25.35168284	25.35168284	25.35168284	25.35168284	
S7	0.968538743	1.815207325	4.559031536	26.44527696	158.5144366	8.010975371	2.542107152	1.231609475	0.724352949	0.476379948	
Av	17444.44444	8722.22222	5814.814815	4361.111111	3488.888889	2907.407407	2492.063492	2180.555556	1938.271605	1744.444444	
Pdiss	0.04924458	0.07683258	0.10442058	0.13200858	0.15959658	0.18718458	0.21477258	0.24236058	0.26994858	0.29753658	
I5	0.00418	0.00836	0.01254	0.01672	0.0209	0.02508	0.02926	0.03344	0.03762	0.0418	
Vds5	1.181528662	0.863057325	0.544585987	0.22611465	-0.092356688	-0.410828025	-0.729299363	-1.047770701	-1.366242038	-1.684713376	

CL	2000pF	10	20	30	40	50	60	70	80	90	100
SR(V/uS)											
S1	2.234506221	1.117253111	0.744835407	0.558626555	0.446901244	0.372417704	0.319215174	0.279313278	0.248278469	0.223450622	
S3	16.99744073	33.99488145	50.99232218	67.98976291	84.98720363	101.9846444	118.9820851	135.9795258	152.9769665	169.9744073	
S5	0.324686136	1.217034747	4.585013278	35.46131674	265.6963402	16.11325921	5.965387215	3.303008983	2.185443025	1.59698273	
S6	26.68598194	26.68598194	26.68598194	26.68598194	26.68598194	26.68598194	26.68598194	26.68598194	26.68598194	26.68598194	
S7	1.019514467	1.910744553	4.798980565	27.83713364	166.8573016	8.432605654	2.675902265	1.296431026	0.762476789	0.501452577	
Av	17444.44444	8722.22222	5814.814815	4361.111111	3488.888889	2907.407407	2492.063492	2180.555556	1938.271605	1744.444444	
Pdiss	0.0518364	0.0808764	0.1099164	0.1389564	0.1679964	0.1970364	0.2260764	0.2551164	0.2841564	0.3131964	
I5	0.0044	0.0088	0.0132	0.0176	0.022	0.0264	0.0308	0.0352	0.0396	0.044	
Vds5	1.181528662	0.863057325	0.544585987	0.22611465	-0.092356688	-0.410828025	-0.729299363	-1.047770701	-1.366242038	-1.684713376	
CL	2100pF	10	20	30	40	50	60	70	80	90	100
SR(V/uS)											
S1	2.346231532	1.173115766	0.782077177	0.586557883	0.469246306	0.391038589	0.335175933	0.293278942	0.260692392	0.234623153	
S3	17.84731276	35.69462553	53.54193829	71.38925105	89.23656381	107.0838766	124.9311893	142.7785021	160.6258149	178.4731276	
S5	0.340920443	1.277886484	4.814263942	37.23438258	278.9811572	16.91892217	6.263656576	3.468159433	2.294715176	1.676831867	
S6	28.02028104	28.02028104	28.02028104	28.02028104	28.02028104	28.02028104	28.02028104	28.02028104	28.02028104	28.02028104	
S7	1.07049019	2.00628178	5.038929593	29.22899032	175.2001667	8.854235937	2.809697378	1.361252577	0.800600628	0.526525206	
Av	17444.44444	8722.22222	5814.814815	4361.111111	3488.888889	2907.407407	2492.063492	2180.555556	1938.271605	1744.444444	
Pdiss	0.05442822	0.08492022	0.1154222	0.14590422	0.17639622	0.20688822	0.23738022	0.26787222	0.29836422	0.32885622	
I5	0.00462	0.00924	0.01386	0.01848	0.0231	0.02772	0.03234	0.03696	0.04158	0.0462	
Vds5	1.181528662	0.863057325	0.544585987	0.22611465	-0.092356688	-0.410828025	-0.729299363	-1.047770701	-1.366242038	-1.684713376	
CL	2200pF	10	20	30	40	50	60	70	80	90	100
SR(V/uS)											
S1	2.457956843	1.228978422	0.819318948	0.614489211	0.491591369	0.409659474	0.351136692	0.307244605	0.273106316	0.245795684	
S3	18.6971848	37.3943696	56.0915544	74.7887392	93.48592399	112.1831088	130.8802936	149.5774784	168.2746632	186.971848	
S5	0.357154749	1.338738222	5.043514606	39.00744841	292.2659742	17.72458513	6.561925937	3.633309882	2.403987328	1.756681003	
S6	29.35458013	29.35458013	29.35458013	29.35458013	29.35458013	29.35458013	29.35458013	29.35458013	29.35458013	29.35458013	
S7	1.121465913	2.101819008	5.278878621	30.62084701	183.5430318	9.275866219	2.943492492	1.426074129	0.838724468	0.551597835	
Av	17444.44444	8722.22222	5814.814815	4361.111111	3488.888889	2907.407407	2492.063492	2180.555556	1938.271605	1744.444444	
Pdiss	0.05702004	0.08896404	0.12090804	0.15285204	0.18479604	0.21674004	0.24868404	0.28062804	0.31257204	0.34451604	
I5	0.00484	0.00968	0.01452	0.01936	0.0242	0.02904	0.03388	0.03872	0.04356	0.0484	
Vds5	1.181528662	0.863057325	0.544585987	0.22611465	-0.092356688	-0.410828025	-0.729299363	-1.047770701	-1.366242038	-1.684713376	

CL	2300pF	10	20	30	40	50	60	70	80	90	100
SR(V/uS)											
S1	2.569682154	1.284841077	0.856560718	0.642420539	0.513936431	0.428280359	0.367097451	0.321210269	0.285520239	0.256968215	
S3	19.54705684	39.09411367	58.64117051	78.18822734	97.73528418	117.282341	136.8293978	156.3764547	175.9235115	195.4705684	
S5	0.373389056	1.399589959	5.27276527	40.78051425	305.5507912	18.53024809	6.860195298	3.798460331	2.513259479	1.83653014	
S6	30.68887923	30.68887923	30.68887923	30.68887923	30.68887923	30.68887923	30.68887923	30.68887923	30.68887923	30.68887923	
S7	1.172441637	2.197356235	5.518827649	32.01270369	191.8858969	9.697496502	3.077287605	1.49089568	0.876848307	0.576670464	
Av	17444.44444	8722.22222	5814.814815	4361.111111	3488.888889	2907.407407	2492.063492	2180.555556	1938.271605	1744.444444	
Pdiss	0.059611186	0.09300786	0.12640386	0.15979986	0.19319586	0.22659186	0.25998786	0.29338386	0.32677986	0.36017586	
I5	0.00506	0.01012	0.01518	0.02024	0.0253	0.03036	0.03542	0.04048	0.04554	0.0506	
Vds5	1.181528662	0.863057325	0.544585987	0.22611465	-0.092356688	-0.410828025	-0.729299363	-1.047770701	-1.366242038	-1.684713376	
CL	2400pF	10	20	30	40	50	60	70	80	90	100
SR(V/uS)											
S1	2.681407465	1.340703733	0.893802488	0.670351866	0.536281493	0.446901244	0.383058209	0.335175933	0.297934163	0.268140747	
S3	20.39692887	40.79385774	61.19078661	81.58771549	101.9846444	122.3815732	142.7785021	163.175431	183.5723598	203.9692887	
S5	0.389623363	1.460441696	5.502015934	42.55358009	318.8356082	19.33591105	7.158464658	3.96361078	2.62253163	1.916379276	
S6	32.02317833	32.02317833	32.02317833	32.02317833	32.02317833	32.02317833	32.02317833	32.02317833	32.02317833	32.02317833	
S7	1.22341736	2.292893463	5.758776677	33.40456037	200.228762	10.11912678	3.211082718	1.555717231	0.914972147	0.601743093	
Av	17444.44444	8722.22222	5814.814815	4361.111111	3488.888889	2907.407407	2492.063492	2180.555556	1938.271605	1744.444444	
Pdiss	0.06220368	0.09705168	0.13189968	0.16674768	0.20159568	0.23644368	0.27129168	0.30613968	0.34098768	0.37583568	
I5	0.00528	0.01056	0.01584	0.02112	0.0264	0.03168	0.03696	0.04224	0.04752	0.0528	
Vds5	1.181528662	0.863057325	0.544585987	0.22611465	-0.092356688	-0.410828025	-0.729299363	-1.047770701	-1.366242038	-1.684713376	
CL	2500pF	10	20	30	40	50	60	70	80	90	100
SR(V/uS)											
S1	2.793132776	1.396566388	0.931044259	0.698283194	0.558626555	0.465522129	0.399018968	0.349141597	0.310348086	0.279313278	
S3	21.24680091	42.49360182	63.74040272	84.98720363	106.2340045	127.4808054	148.7276064	169.9744073	191.2212082	212.4680091	
S5	0.40585767	1.521293434	5.731266598	44.32664593	332.1204253	20.14157401	7.456734019	4.128761229	2.731803782	1.996228413	
S6	33.35747743	33.35747743	33.35747743	33.35747743	33.35747743	33.35747743	33.35747743	33.35747743	33.35747743	33.35747743	
S7	1.274393083	2.388430691	5.998725706	34.79641705	208.5716271	10.54075707	3.344877831	1.620538783	0.953095986	0.626815722	
Av	17444.44444	8722.22222	5814.814815	4361.111111	3488.888889	2907.407407	2492.063492	2180.555556	1938.271605	1744.444444	
Pdiss	0.0647955	0.1010955	0.1373955	0.1736955	0.2099955	0.2462955	0.2825955	0.3188955	0.3551955	0.3914955	
I5	0.0055	0.011	0.0165	0.022	0.0275	0.033	0.0385	0.044	0.0495	0.055	
Vds5	1.181528662	0.863057325	0.544585987	0.22611465	-0.092356688	-0.410828025	-0.729299363	-1.047770701	-1.366242038	-1.684713376	

CL	2600pF	10	20	30	40	50	60	70	80	90	100
SR(V/uS)											
S1	2.904858087	1.452429044	0.968286029	0.726214522	0.580971617	0.484143015	0.414979727	0.363107261	0.32276201	0.290485809	
S3	22.09667294	44.19334589	66.29001883	88.38669178	110.4833647	132.5800377	154.6767106	176.7733836	198.8700565	220.9667294	
S5	0.422091977	1.582145171	5.960517262	46.09971176	345.4052423	20.94723697	7.75500338	4.293911679	2.841075933	2.076077549	
S6	34.69177652	34.69177652	34.69177652	34.69177652	34.69177652	34.69177652	34.69177652	34.69177652	34.69177652	34.69177652	
S7	1.325368806	2.483967918	6.238674734	36.18827373	216.9144921	10.96238735	3.478672945	1.685360334	0.991219825	0.651888351	
Av	17444.44444	8722.22222	5814.814815	4361.111111	3488.888889	2907.407407	2492.063492	2180.555556	1938.271605	1744.444444	
Pdiss	0.06738732	0.10513932	0.14289132	0.18064332	0.21839532	0.25614732	0.29389932	0.33165132	0.36940332	0.40715532	
I5	0.00572	0.01144	0.01716	0.02288	0.0286	0.03432	0.04004	0.04576	0.05148	0.0572	
Vds5	1.181528662	0.863057325	0.544585987	0.22611465	-0.092356688	-0.410828025	-0.729299363	-1.047770701	-1.366242038	-1.684713376	
CL	2700pF	10	20	30	40	50	60	70	80	90	100
SR(V/uS)											
S1	3.016583399	1.508291699	1.0055278	0.75414585	0.60331668	0.5027639	0.430940486	0.377072925	0.335175933	0.30165834	
S3	22.94654498	45.89308996	68.83963494	91.78617992	114.7327249	137.6792699	160.6258149	183.5723598	206.5189048	229.4654498	
S5	0.438326283	1.642996908	6.189767926	47.8727776	358.6900593	21.75289994	8.053272741	4.459062128	2.950348084	2.155926686	
S6	36.02607562	36.02607562	36.02607562	36.02607562	36.02607562	36.02607562	36.02607562	36.02607562	36.02607562	36.02607562	
S7	1.37634453	2.579505146	6.478623762	37.58013042	225.2573572	11.38401763	3.612468058	1.750181885	1.029343665	0.676960979	
Av	17444.44444	8722.22222	5814.814815	4361.111111	3488.888889	2907.407407	2492.063492	2180.555556	1938.271605	1744.444444	
Pdiss	0.06997914	0.10918314	0.14838714	0.18759114	0.22679514	0.26599914	0.30520314	0.34440714	0.38361114	0.42281514	
I5	0.00594	0.01188	0.01782	0.02376	0.0297	0.03564	0.04158	0.04752	0.05346	0.0594	
Vds5	1.181528662	0.863057325	0.544585987	0.22611465	-0.092356688	-0.410828025	-0.729299363	-1.047770701	-1.366242038	-1.684713376	
CL	2800pF	10	20	30	40	50	60	70	80	90	100
SR(V/uS)											
S1	3.12830871	1.564154355	1.04276957	0.782077177	0.625661742	0.521384785	0.446901244	0.391038589	0.347589857	0.312830871	
S3	23.79641702	47.59283403	71.38925105	95.18566807	118.9820851	142.7785021	166.5749191	190.3713361	214.1677532	237.9641702	
S5	0.45456059	1.703848646	6.419018589	49.64584344	371.9748763	22.5585629	8.351542101	4.624212577	3.059620235	2.235775822	
S6	37.36037472	37.36037472	37.36037472	37.36037472	37.36037472	37.36037472	37.36037472	37.36037472	37.36037472	37.36037472	
S7	1.427320253	2.675042374	6.71857279	38.9719871	233.6002223	11.80564792	3.746263171	1.815003436	1.067467504	0.702033608	
Av	17444.44444	8722.22222	5814.814815	4361.111111	3488.888889	2907.407407	2492.063492	2180.555556	1938.271605	1744.444444	
Pdiss	0.07257096	0.11322696	0.15388296	0.19453896	0.23519496	0.27585096	0.31650696	0.35716296	0.39781896	0.43847496	
I5	0.00616	0.01232	0.01848	0.02464	0.0308	0.03696	0.04312	0.04928	0.05544	0.0616	
Vds5	1.181528662	0.863057325	0.544585987	0.22611465	-0.092356688	-0.410828025	-0.729299363	-1.047770701	-1.366242038	-1.684713376	

CL	2900pF	10	20	30	40	50	60	70	80	90	100
SR(V/uS)											
S1	3.240034021	1.62001701	1.08001134	0.810008505	0.648006804	0.54000567	0.462862003	0.405004253	0.36000378	0.324003402	
S3	24.64628905	49.29257811	73.93886716	98.58515621	123.2314453	147.8777343	172.5240234	197.1703124	221.8166015	246.4628905	
S5	0.470794897	1.764700383	6.648269253	51.41890927	385.2596933	23.36422586	8.649811462	4.789363026	3.168892387	2.315624959	
S6	38.69467381	38.69467381	38.69467381	38.69467381	38.69467381	38.69467381	38.69467381	38.69467381	38.69467381	38.69467381	
S7	1.478295976	2.770579601	6.958521819	40.36384378	241.9430874	12.2272782	3.880058284	1.879824988	1.105591344	0.727106237	
Av	17444.44444	8722.22222	5814.814815	4361.111111	3488.888889	2907.407407	2492.063492	2180.555556	1938.271605	1744.444444	
Pdiss	0.07516278	0.11727078	0.15937878	0.20148678	0.24359478	0.28570278	0.32781078	0.36991878	0.41202678	0.45413478	
I5	0.00638	0.01276	0.01914	0.02552	0.0319	0.03828	0.04466	0.05104	0.05742	0.0638	
Vds5	1.181528662	0.863057325	0.544585987	0.22611465	-0.092356688	-0.410828025	-0.729299363	-1.047770701	-1.366242038	-1.684713376	

CL	800pf	10	20	30	40	50	60	70	80	90	100
SR(V/uS)											
S1	0.893802488	0.446901244	0.297934163	0.223450622	0.178760498	0.148967081	0.12768607	0.111725311	0.099311388	0.089380249	
S3	6.8	13.6	20.4	27.2	34	40.8	47.6	54.4	61.2	68	
S5	0.188194222	0.824783759	4.58076791	1063.417595	10.60611171	2.915584279	1.469599583	0.931606862	0.665176681	0.51041289	
S6	8.539514221	8.539514221	8.539514221	8.539514221	8.539514221	8.539514221	8.539514221	8.539514221	8.539514221	8.539514221	
S7	0.590929858	1.294910501	4.794537079	834.7828119	6.660638154	1.525822439	0.659220384	0.365655693	0.232072753	0.160269647	
Av	17444.44444	8722.22222	5814.814815	4361.111111	3488.888889	2907.407407	2492.063492	2180.555556	1938.271605	1744.444444	
Pdiss	0.028651136	0.046251136	0.063851136	0.081451136	0.099051136	0.116651136	0.134251136	0.151851136	0.169451136	0.187051136	
I5	0.00176	0.00352	0.00528	0.00704	0.0088	0.01056	0.01232	0.01408	0.01584	0.0176	
Vds5	0.981528662	0.663057325	0.344585987	0.02611465	-0.292356688	-0.610828025	-0.929299363	-1.247770701	-1.566242038	-1.884713376	
CL	900pf	10	20	30	40	50	60	70	80	90	100
SR(V/uS)	1.00E+01	20	30	40	50	60	70	80	90	100	
S1	1.01E+00	5.03E-01	3.35E-01	2.51E-01	2.01E-01	1.68E-01	1.44E-01	1.26E-01	1.12E-01	1.01E-01	
S3	7.65E+00	15.3	23	3.06E+01	38.22	45.9	53.54	61.2	68.84	76.48	
S5	2.12E-01	0.927881729	5.153363899	1196.344794	11.93187567	3.28E+00	1.65E+00	1.05E+00	7.48E-01	5.74E-01	
S6	9.61E+00	9.61E+00	9.61E+00	9.61E+00	9.61E+00	9.61E+00	9.61E+00	9.61E+00	9.61E+00	9.61E+00	
S7	6.65E-01	1.46E+00	5.39E+00	9.39E+02	7.49E+00	1.72E+00	0.741622932	0.411362655	0.261081847	0.180303353	
Av	17444.44444	8722.22222	5814.814815	4361.111111	3488.888889	2907.407407	2492.063492	2180.555556	1938.271605	1744.444444	
Pdiss	0.032232528	0.052032528	0.071805501	0.091632528	0.111442287	0.131232528	0.15103485	0.170832528	0.190634334	0.210435779	
I5	0.00198	0.00396	0.00594	0.00792	0.0099	0.01188	0.01386	0.01584	0.01782	0.0198	
Vds5	0.981528662	0.663057325	0.344585987	0.02611465	-0.292356688	-0.610828025	-0.929299363	-1.247770701	-1.566242038	-1.884713376	
CL	1000pf	10	20	30	40	50	60	70	80	90	100
SR(V/uS)	1.00E+01	2.00E+01	3.00E+01	4.00E+01	5.00E+01	6.00E+01	70	80	90	100	
S1	1.12E+00	0.558626555	0.372417704	2.79E-01	0.223450622	0.186208852	0.159607587	0.139656639	0.124139235	0.111725311	
S3	8.50E+00	17	25.5	34	42.5	51	59.5	68	76.48	85	
S5	2.35E-01	1.03E+00	5.73E+00	1.33E+03	1.33E+01	3.64E+00	1.836999479	1.164508578	0.831470851	0.638016112	
S6	1.07E+01	1.07E+01	1.07E+01	1.07E+01	1.07E+01	1.07E+01	10.67439278	10.67439278	10.67439278	10.67439278	
S7	0.738662323	1.618638127	5.993171349	1043.478515	8.325797692	1.907278049	0.82402548	0.457069617	0.290090941	0.200337059	
Av	17444.44444	8722.22222	5814.814815	4361.111111	3488.888889	2907.407407	2492.063492	2180.555556	1938.271605	1744.444444	
Pdiss	0.03581392	0.05781392	0.07981392	0.10181392	0.12381392	0.14581392	0.16781392	0.18981392	0.211817532	0.23381392	
I5	0.0022	0.0044	0.0066	0.0088	0.011	0.0132	0.0154	0.0176	0.0198	0.022	
Vds5	0.981528662	0.663057325	0.344585987	0.02611465	-0.292356688	-0.610828025	-0.929299363	-1.247770701	-1.566242038	-1.884713376	

CL	1100pf	10	20	30	40	50	60	70	80	90	100
SR(V/uS)											
S1	1.228978422	0.614489211	0.409659474	0.307244605	0.245795684	0.204829737	0.175568346	0.153622303	0.136553158	0.122897842	
S3	9.35	18.7	28.04	37.4	46.74	56.1	65.44	74.78	84.13	93.48	
S5	0.258767056	1.134077668	6.298555876	1462.199193	14.5834036	4.008928384	2.020699426	1.280959435	0.914617936	0.701817724	
S6	11.74183205	11.74183205	11.74183205	11.74183205	11.74183205	11.74183205	11.74183205	11.74183205	11.74183205	11.74183205	
S7	0.812528555	1.780501939	6.592488484	1147.826366	9.158377461	2.098005854	0.906428028	0.502776578	0.319100036	0.220370765	
Av	17444.44444	8722.22222	5814.814815	4361.111111	3488.888889	2907.407407	2492.063492	2180.555556	1938.271605	1744.444444	
Pdiss	0.039395312	0.063595312	0.087800731	0.111995312	0.136198563	0.160395312	0.184597634	0.208799376	0.232998924	0.257198563	
I5	0.00242	0.00484	0.00726	0.00968	0.0121	0.01452	0.01694	0.01936	0.02178	0.0242	
Vds5	0.981528662	0.663057325	0.344585987	0.02611465	-0.292356688	-0.610828025	-0.929299363	-1.247770701	-1.566242038	-1.884713376	
CL	1200pf	10	20	30	40	50	60	70	80	90	100
SR(V/uS)											
S1	1.340703733	0.670351866	0.446901244	0.335175933	0.268140747	0.223450622	0.191529105	0.167587967	0.148967081	0.134070373	
S3	10.2	20.4	30.6	40.8	51	61.2	71.38	81.58	91.78	102	
S5	0.282291334	1.237175638	6.871151865	1595.126392	15.90916756	4.373376419	2.204399374	1.397410293	0.997765021	0.765619335	
S6	12.80927133	12.80927133	12.80927133	12.80927133	12.80927133	12.80927133	12.80927133	12.80927133	12.80927133	12.80927133	
S7	0.886394787	1.942365752	7.191805619	1252.174218	9.990957231	2.288733659	0.988830576	0.54848354	0.34810913	0.240404471	
Av	17444.44444	8722.22222	5814.814815	4361.111111	3488.888889	2907.407407	2492.063492	2180.555556	1938.271605	1744.444444	
Pdiss	0.042976704	0.069376704	0.095776704	0.122176704	0.148576704	0.174976704	0.201381349	0.227780768	0.254180316	0.280576704	
I5	0.00264	0.00528	0.00792	0.01056	0.0132	0.01584	0.01848	0.02112	0.02376	0.0264	
Vds5	0.981528662	0.663057325	0.344585987	0.02611465	-0.292356688	-0.610828025	-0.929299363	-1.247770701	-1.566242038	-1.884713376	
CL	1300pf	10	20	30	40	50	60	70	80	90	100
SR(V/uS)											
S1	1.452429044	0.726214522	0.484143015	0.363107261	0.290485809	0.242071507	0.207489863	0.18155363	0.161381005	0.145242904	
S3	11	22.1	33.14	44.19	55.24	66.3	77.33	88.38	99.43	110.48	
S5	0.305815611	1.340273608	7.443747854	1728.053592	17.23493153	4.737824453	2.388099322	1.513861151	1.080912106	0.829420946	
S6	13.87671061	13.87671061	13.87671061	13.87671061	13.87671061	13.87671061	13.87671061	13.87671061	13.87671061	13.87671061	
S7	0.96026102	2.104229564	7.791122754	1356.522069	10.823537	2.479461464	1.071233124	0.594190502	0.377118224	0.260438177	
Av	17444.44444	8722.22222	5814.814815	4361.111111	3488.888889	2907.407407	2492.063492	2180.555556	1938.271605	1744.444444	
Pdiss	0.046639724	0.075158096	0.103763515	0.13236216	0.160961347	0.189558096	0.218162741	0.24676216	0.275361708	0.303961347	
I5	0.00286	0.00572	0.00858	0.01144	0.0143	0.01716	0.02002	0.02288	0.02574	0.0286	
Vds5	0.981528662	0.663057325	0.344585987	0.02611465	-0.292356688	-0.610828025	-0.929299363	-1.247770701	-1.566242038	-1.884713376	

CL	1400pf	10	20	30	40	50	60	70	80	90	100
SR(V/uS)	1.00E+01		7.82E-01	5.21E-01	3.91E-01	3.13E-01	2.61E-01	2.23E-01	1.96E-01	1.74E-01	1.56E-01
S1	1.56E+00										
S3	1.19E+01		23.8		35.7	4.76E+01		59.5	71.4	83.28	95.18
S5	3.29E-01	1.443371578	8.016343843	1860.980791	18.56069549		5.10E+00	2.57E+00	1.63E+00	1.16E+00	8.93E-01
S6	1.49E+01	1.49E+01	1.49E+01	1.49E+01	1.49E+01		1.49E+01	1.49E+01	1.49E+01	1.49E+01	1.49E+01
S7	1.03E+00	2.27E+00	8.39E+00	1.46E+03		1.17E+01	2.67E+00	1.153635673	0.639897463	0.406127318	0.280471883
Av	17444.44444	8722.222222	5814.814815	4361.111111	3488.888889	2907.407407	2492.063492	2180.555556	1938.271605	1744.444444	
Pdiss	0.050139488	0.080939488	0.111739488	0.142539488	0.173339488	0.204139488	0.234944133	0.265743552	0.2965431	0.327339488	
I5	0.00308	0.00616	0.00924	0.01232		0.0154	0.01848	0.02156	0.02464	0.02772	0.0308
Vds5	0.981528662	0.663057325	0.344585987	0.02611465	-0.292356688	-0.610828025	-0.929299363	-1.247770701	-1.566242038	-1.884713376	
CL	1500pf	10	20	30	40	50	60	70	80	90	100
SR(V/uS)	1.00E+01		8.38E-01	5.59E-01	4.19E-01	3.35E-01	2.79E-01	2.39E-01	2.09E-01	1.86E-01	1.68E-01
S1	1.68E+00										
S3	1.27E+01		25.5		38.24	5.10E+01		63.74	76.5	89.23	102
S5	3.53E-01	1.546469548	8.588939831	1993.90799	19.88645946		5.47E+00	2.76E+00	1.75E+00	1.25E+00	9.57E-01
S6	1.60E+01	1.60E+01	1.60E+01	1.60E+01	1.60E+01		1.60E+01	1.60E+01	1.60E+01	1.60E+01	1.60E+01
S7	1.11E+00	2.43E+00	8.99E+00	1.57E+03		1.25E+01	2.86E+00	1.236038221	0.685604425	0.435136412	0.300505589
Av	17444.44444	8722.222222	5814.814815	4361.111111	3488.888889	2907.407407	2492.063492	2180.555556	1938.271605	1744.444444	
Pdiss	0.053802458	0.08672088	0.119726299	0.15272088	0.185724131		0.21872088	0.251725524	0.28472088	0.317724492	0.350724131
I5	0.0033	0.0066	0.0099	0.0132		0.0165	0.0198	0.0231	0.0264	0.0297	0.033
Vds5	0.981528662	0.663057325	0.344585987	0.02611465	-0.292356688	-0.610828025	-0.929299363	-1.247770701	-1.566242038	-1.884713376	
CL	1600 pf	10	20	30	40	50	60	70	80	90	100
SR(V/uS)		0.893802488	0.595868326	0.446901244	0.357520995	0.297934163	0.25537214	0.223450622	0.198622775	0.178760498	
S1	1.787604977										
S3	13.6	27.2		40.8	54.4	68	81.6	95.18	108.78	122.38	136
S5	0.376388445	1.649567517	9.16153582	2126.83519	21.21222342	5.831168558	2.939199166	1.863213724	1.330353362	1.02082578	
S6	17.07902844	17.07902844	17.07902844	17.07902844	17.07902844	17.07902844	17.07902844	17.07902844	17.07902844	17.07902844	
S7	1.181859717	2.589821002	9.589074158	1669.565624	13.32127631	3.051644879	1.318440769	0.731311387	0.464145506	0.320539295	
Av	17444.44444	8722.222222	5814.814815	4361.111111	3488.888889	2907.407407	2492.063492	2180.555556	1938.271605	1744.444444	
Pdiss	0.057302272	0.092502272	0.127702272	0.162902272	0.198102272	0.233302272	0.268506916	0.303706336	0.338905884	0.374102272	
I5	0.00352	0.00704		0.01056	0.01408		0.0176	0.02112	0.02464	0.02816	0.03168
Vds5	0.981528662	0.663057325	0.344585987	0.02611465	-0.292356688	-0.610828025	-0.929299363	-1.247770701	-1.566242038	-1.884713376	

CL	1700 pF										
SR(V/uS)	10	20	30	40	50	60	70	80	90	100	
S1	1.899330288	0.949665144	0.633110096	0.474832572	0.379866058	0.316555048	0.271332898	0.237416286	0.211036699	0.189933029	
S3	14.4	28.9	43.34	57.8	72.23	86.7	101.13	155.58	130.03	144.47	
S5	0.399912723	1.752665487	9.734131809	2259.762389	22.53798738	6.195616593	3.122899114	1.979664582	1.413500447	1.084627391	
S6	18.14646772	18.14646772	18.14646772	18.14646772	18.14646772	18.14646772	18.14646772	18.14646772	18.14646772	18.14646772	
S7	1.255725949	2.751684815	10.18839129	1773.913475	14.15385608	3.242372684	1.400843317	0.777018348	0.4931546	0.340573001	
Av	17444.44444	8722.22222	5814.814815	4361.111111	3488.888889	2907.407407	2492.063492	2180.555556	1938.271605	1744.444444	
Pdiss	0.060965205	0.098283664	0.135689083	0.173083664	0.210490167	0.247883664	0.285288308	0.316648975	0.360087276	0.397488541	
I5	0.00374	0.00748	0.01122	0.01496	0.0187	0.02244	0.02618	0.02992	0.03366	0.0374	
Vds5	0.981528662	0.663057325	0.344585987	0.02611465	-0.292356688	-0.610828025	-0.929299363	-1.247770701	-1.566242038	-1.884713376	
CL	1800 pF										
SR(V/uS)	10	20	30	40	50	60	70	80	90	100	
S1	2.011055599	1.0055278	0.670351866	0.5027639	0.40221112	0.335175933	0.287293657	0.25138195	0.223450622	0.20110556	
S3	15.3	30.6	45.9	61.2	76.48	91.8	107.08	122.38	137.67	152.97	
S5	0.423437	1.855763457	10.3067278	2392.689588	23.86375135	6.560064628	3.306599061	2.09611544	1.496647532	1.148429002	
S6	19.213907	19.213907	19.213907	19.213907	19.213907	19.213907	19.213907	19.213907	19.213907	19.213907	
S7	1.329592181	2.913548628	10.78770843	1878.261327	14.98643585	3.433100489	1.483245865	0.82272531	0.522163695	0.360606707	
Av	17444.44444	8722.22222	5814.814815	4361.111111	3488.888889	2907.407407	2492.063492	2180.555556	1938.271605	1744.444444	
Pdiss	0.064465056	0.104065056	0.143665056	0.183265056	0.222871558	0.262465056	0.3020697	0.34166912	0.381270475	0.420869933	
I5	0.00396	0.00792	0.01188	0.01584	0.0198	0.02376	0.02772	0.03168	0.03564	0.0396	
Vds5	0.981528662	0.663057325	0.344585987	0.02611465	-0.292356688	-0.610828025	-0.929299363	-1.247770701	-1.566242038	-1.884713376	
CL	1900 pF										
SR(V/uS)	10	20	30	40	50	60	70	80	90	100	
S1	2.12278091	1.061390455	0.707593637	0.530695228	0.424556182	0.353796818	0.303254416	0.265347614	0.235864546	0.212278091	
S3	16.1	32.3	48.44	64.6	80.73	97	113.03	129.18	145.32	161.47	
S5	0.446961278	1.958861427	10.87932379	2525.616788	25.18951531	6.924512663	3.490299009	2.212566297	1.579794617	1.212230614	
S6	20.28134627	20.28134627	20.28134627	20.28134627	20.28134627	20.28134627	20.28134627	20.28134627	20.28134627	20.28134627	
S7	1.403458413	3.07541244	11.38702556	1982.609178	15.81901562	3.623828294	1.565648413	0.868432272	0.551172789	0.380640413	
Av	17444.44444	8722.22222	5814.814815	4361.111111	3488.888889	2907.407407	2492.063492	2180.555556	1938.271605	1744.444444	
Pdiss	0.068127959	0.109846448	0.151651866	0.193446448	0.23525295	0.27701939	0.318851092	0.360650512	0.402451866	0.444251325	
I5	0.00418	0.00836	0.01254	0.01672	0.0209	0.02508	0.02926	0.03344	0.03762	0.0418	
Vds5	0.981528662	0.663057325	0.344585987	0.02611465	-0.292356688	-0.610828025	-0.929299363	-1.247770701	-1.566242038	-1.884713376	

CL	2000pF	10	20	30	40	50	60	70	80	90	100
SR(V/uS)											
S1	2.234506221	1.117253111	0.744835407	0.558626555	0.446901244	0.372417704	0.319215174	0.279313278	0.248278469	0.223450622	
S3	17	34	51	68	85	102	119	136	153	170	
S5	0.470485556	2.061959397	11.45191978	2658.543987	26.51527927	7.288960698	3.673998957	2.329017155	1.662941702	1.276032225	
S6	21.34878555	21.34878555	21.34878555	21.34878555	21.34878555	21.34878555	21.34878555	21.34878555	21.34878555	21.34878555	
S7	1.477324646	3.237276253	11.9863427	2086.95703	16.65159538	3.814556098	1.648050961	0.914139233	0.580181883	0.400674119	
Av	17444.44444	8722.22222	5814.814815	4361.111111	3488.888889	2907.407407	2492.063492	2180.555556	1938.271605	1744.444444	
Pdiss	0.07162784	0.11562784	0.15962784	0.20362784	0.24762784	0.29162784	0.33562784	0.37962784	0.42362784	0.46762784	
I5	0.0044	0.0088	0.0132	0.0176	0.022	0.0264	0.0308	0.0352	0.0396	0.044	
Vds5	0.981528662	0.663057325	0.344585987	0.02611465	-0.292356688	-0.610828025	-0.929299363	-1.247770701	-1.566242038	-1.884713376	
CL	2100 pF	10	20	30	40	50	60	70	80	90	100
SR(V/uS)											
S1	2.346231532	1.173115766	0.782077177	0.586557883	0.469246306	0.391038589	0.335175933	0.293278942	0.260692392	0.234623153	
S3	17.8	35.7	53.54	71.38	89.23	107	125	142.77	160.62	178.47	
S5	0.494009834	2.165057367	12.02451576	2791.471186	27.84104324	7.653408733	3.857698905	2.445468013	1.746088787	1.339833836	
S6	22.41622483	22.41622483	22.41622483	22.41622483	22.41622483	22.41622483	22.41622483	22.41622483	22.41622483	22.41622483	
S7	1.551190878	3.399140066	12.58565983	2191.304881	17.48417515	4.005283903	1.730453509	0.959846195	0.609190977	0.420707825	
Av	17444.44444	8722.22222	5814.814815	4361.111111	3488.888889	2907.407407	2492.063492	2180.555556	1938.271605	1744.444444	
Pdiss	0.075290719	0.121409232	0.16761465	0.21381736	0.260015734	0.306236344	0.352397628	0.398615328	0.44481465	0.491014108	
I5	0.00462	0.00924	0.01386	0.01848	0.0231	0.02772	0.03234	0.03696	0.04158	0.0462	
Vds5	0.981528662	0.663057325	0.344585987	0.02611465	-0.292356688	-0.610828025	-0.929299363	-1.247770701	-1.566242038	-1.884713376	
CL	2200 pF	10	20	30	40	50	60	70	80	90	100
SR(V/uS)											
S1	2.457956843	1.228978422	0.819318948	0.614489211	0.491591369	0.409659474	0.351136692	0.307244605	0.273106316	0.245795684	
S3	18.7	37.4	56.1	74.78	93.48	112	130.88	149.57	168.27	187	
S5	0.517534112	2.268155337	12.59711175	2924.398386	29.1668072	8.017856767	4.041398853	2.561918871	1.829235872	1.403635447	
S6	23.48366411	23.48366411	23.48366411	23.48366411	23.48366411	23.48366411	23.48366411	23.48366411	23.48366411	23.48366411	
S7	1.62505711	3.561003878	13.18497697	2295.652733	18.31675492	4.196011708	1.812856057	1.005553157	0.638200071	0.44074153	
Av	17444.44444	8722.22222	5814.814815	4361.111111	3488.888889	2907.407407	2492.063492	2180.555556	1938.271605	1744.444444	
Pdiss	0.078790624	0.127190624	0.175590624	0.223998752	0.272397126	0.320844893	0.369195268	0.41759672	0.465996042	0.514390624	
I5	0.00484	0.00968	0.01452	0.01936	0.0242	0.02904	0.03388	0.03872	0.04356	0.0484	
Vds5	0.981528662	0.663057325	0.344585987	0.02611465	-0.292356688	-0.610828025	-0.929299363	-1.247770701	-1.566242038	-1.884713376	

CL	2300pf	10	20	30	40	50	60	70	80	90	100
SR(V/uS)											
S1	2.569682154	1.284841077	0.856560718	0.642420539	0.513936431	0.428280359	0.367097451	0.321210269	0.285520239	0.256968215	
S3	19.5	39.09	58.64	78.18	97.73		117	136.82	156.37	175.92	195.47
S5	0.541058389	2.371253306	13.16970774	3057.325585	30.49257117	8.382304802	4.225098801	2.678369728	1.912382958	1.467437058	
S6	24.55110339	24.55110339	24.55110339	24.55110339	24.55110339	24.55110339	24.55110339	24.55110339	24.55110339	24.55110339	24.55110339
S7	1.698923343	3.722867691	13.7842941	2400.000584	19.14933469	4.386739513	1.895258605	1.051260118	0.667209165	0.460775236	
Av	17444.44444	8722.22222	5814.814815	4361.111111	3488.888889	2907.407407	2492.063492	2180.555556	1938.271605	1744.444444	
Pdiss	0.082453483	0.132980144	0.183577434	0.234180144	0.284778518	0.335453483	0.385978983	0.436578112	0.487177434	0.537776892	
I5	0.00506	0.01012	0.01518	0.02024	0.0253	0.03036	0.03542	0.04048	0.04554	0.0506	
Vds5	0.981528662	0.663057325	0.344585987	0.02611465	-0.292356688	-0.610828025	-0.929299363	-1.247770701	-1.566242038	-1.884713376	
CL	2400pf	10	20	30	40	50	60	70	80	90	100
SR(V/uS)											
S1	2.681407465	1.340703733	0.893802488	0.670351866	0.536281493	0.446901244	0.383058209	0.335175933	0.297934163	0.268140747	
S3	20.4	40.8	61.2	81.58	102		122	142.77	163.175	183.57	204
S5	0.564582667	2.474351276	13.74230373	3190.252784	31.81833513	8.746752837	4.408798748	2.794820586	1.995530043	1.53123867	
S6	25.61854266	25.61854266	25.61854266	25.61854266	25.61854266	25.61854266	25.61854266	25.61854266	25.61854266	25.61854266	25.61854266
S7	1.772789575	3.884731504	14.38361124	2504.348436	19.98191446	4.577467318	1.977661153	1.09696708	0.696218259	0.480808942	
Av	17444.44444	8722.22222	5814.814815	4361.111111	3488.888889	2907.407407	2492.063492	2180.555556	1938.271605	1744.444444	
Pdiss	0.085953408	0.138753408	0.191553408	0.244361536	0.297153408	0.350062108	0.402760375	0.455558488	0.508358826	0.561153408	
I5	0.00528	0.01056	0.01584	0.02112	0.0264	0.03168	0.03696	0.04224	0.04752	0.0528	
Vds5	0.981528662	0.663057325	0.344585987	0.02611465	-0.292356688	-0.610828025	-0.929299363	-1.247770701	-1.566242038	-1.884713376	
CL	2500pf	10	20	30	40	50	60	70	80	90	100
SR(V/uS)											
S1	2.793132776	1.396566388	0.931044259	0.698283194	0.558626555	0.465522129	0.399018968	0.349141597	0.310348086	0.279313278	
S3	21.2	42.5	63.74	85	106.23		127	148.72	170	191.22	212.46
S5	0.588106945	2.577449246	14.31489972	3323.179984	33.14409909	9.111200872	4.592498696	2.911271444	2.078677128	1.595040281	
S6	26.68598194	26.68598194	26.68598194	26.68598194	26.68598194	26.68598194	26.68598194	26.68598194	26.68598194	26.68598194	26.68598194
S7	1.846655807	4.046595316	14.98292837	2608.696287	20.81449423	4.768195123	2.060063701	1.142674042	0.725227353	0.500842648	
Av	17444.44444	8722.22222	5814.814815	4361.111111	3488.888889	2907.407407	2492.063492	2180.555556	1938.271605	1744.444444	
Pdiss	0.08961625	0.1445348	0.199540218	0.2545348	0.309541302	0.364670764	0.419541767	0.4745348	0.529540218	0.584541302	
I5	0.0055	0.011	0.0165	0.022	0.0275	0.033	0.0385	0.044	0.0495	0.055	
Vds5	0.981528662	0.663057325	0.344585987	0.02611465	-0.292356688	-0.610828025	-0.929299363	-1.247770701	-1.566242038	-1.884713376	

CL	2600pf	10	20	30	40	50	60	70	80	90	100
SR(V/uS)											
S1	2.904858087	1.452429044	0.968286029	0.726214522	0.580971617	0.484143015	0.414979727	0.363107261	0.32276201	0.290485809	
S3	22.1	44.2	66.3	88.38	110.48	133	154.67	176.77	198.87	221	
S5	0.611631223	2.680547216	14.88749571	3456.107183	34.46986306	9.475648907	4.776198644	3.027722302	2.161824213	1.658841892	
S6	27.75342122	27.75342122	27.75342122	27.75342122	27.75342122	27.75342122	27.75342122	27.75342122	27.75342122	27.75342122	
S7	1.92052204	4.208459129	15.58224551	2713.044139	21.647074	4.958922928	2.142466249	1.188381003	0.754236448	0.520876354	
Av	17444.44444	8722.22222	5814.814815	4361.111111	3488.888889	2907.407407	2492.063492	2180.555556	1938.271605	1744.444444	
Pdiss	0.093116192	0.150316192	0.207516192	0.26472432	0.321922694	0.379008174	0.436323159	0.493522288	0.55072161	0.607916192	
I5	0.00572	0.01144	0.01716	0.02288	0.0286	0.03432	0.04004	0.04576	0.05148	0.0572	
Vds5	0.981528662	0.663057325	0.344585987	0.02611465	-0.292356688	-0.610828025	-0.929299363	-1.247770701	-1.566242038	-1.884713376	
CL	2700pf	10	20	30	40	50	60	70	80	90	100
SR(V/uS)											
S1	3.016583399	1.508291699	1.0055278	0.75414585	0.60331668	0.5027639	0.430940486	0.377072925	0.335175933	0.30165834	
S3	22.9	45.89	68.83	91.78	114.73	138	160.62	183.57	206.51	229.46	
S5	0.635155501	2.783645186	15.4600917	3589.034383	35.79562702	9.840096942	4.959898592	3.144173159	2.244971298	1.722643503	
S6	28.8208605	28.8208605	28.8208605	28.8208605	28.8208605	28.8208605	28.8208605	28.8208605	28.8208605	28.8208605	
S7	1.994388272	4.370322942	16.18156264	2817.39199	22.47965377	5.149650733	2.224868797	1.234087965	0.783245542	0.54091006	
Av	17444.44444	8722.22222	5814.814815	4361.111111	3488.888889	2907.407407	2492.063492	2180.555556	1938.271605	1744.444444	
Pdiss	0.09677902	0.156105712	0.215508422	0.274905712	0.334304086	0.393616502	0.45310455	0.51250368	0.571904809	0.631304086	
I5	0.00594	0.01188	0.01782	0.02376	0.0297	0.03564	0.04158	0.04752	0.05346	0.0594	
Vds5	0.981528662	0.663057325	0.344585987	0.02611465	-0.292356688	-0.610828025	-0.929299363	-1.247770701	-1.566242038	-1.884713376	
CL	2800pf	10	20	30	40	50	60	70	80	90	100
SR(V/uS)											
S1	3.12830871	1.564154355	1.04276957	0.782077177	0.625661742	0.521384785	0.446901244	0.391038589	0.347589857	0.312830871	
S3	23.8	47.6	71.38	95.18	119	143	166.57	190.37	214.16	238	
S5	0.658679778	2.886743156	16.03268769	3721.961582	37.12139098	10.20454498	5.14359854	3.260624017	2.328118383	1.786445115	
S6	29.88829977	29.88829977	29.88829977	29.88829977	29.88829977	29.88829977	29.88829977	29.88829977	29.88829977	29.88829977	
S7	2.068254504	4.532186754	16.78087978	2921.739842	23.31223354	5.340378538	2.307271345	1.279794927	0.812254636	0.560943766	
Av	17444.44444	8722.22222	5814.814815	4361.111111	3488.888889	2907.407407	2492.063492	2180.555556	1938.271605	1744.444444	
Pdiss	0.100278976	0.161878976	0.223489814	0.285087104	0.346678976	0.40822488	0.469885942	0.531485072	0.5930862	0.654678976	
I5	0.00616	0.01232	0.01848	0.02464	0.0308	0.03696	0.04312	0.04928	0.05544	0.0616	
Vds5	0.981528662	0.663057325	0.344585987	0.02611465	-0.292356688	-0.610828025	-0.929299363	-1.247770701	-1.566242038	-1.884713376	

CL SR(V/uS)	2900pf	10	20	30	40	50	60	70	80	90	100
S1	3.240034021	1.62001701	1.08001134	0.810008505	0.648006804	0.54000567	0.462862003	0.405004253	0.36000378	0.324003402	
S3	24.6	49.3	74	98.58	123.23	148	172.52	197.17	221.81	246.46	
S5	0.682204056	2.989841125	16.60528367	3854.888781	38.44715495	10.56899301	5.327298488	3.377074875	2.411265468	1.850246726	
S6	30.95573905	30.95573905	30.95573905	30.95573905	30.95573905	30.95573905	30.95573905	30.95573905	30.95573905	30.95573905	30.95573905
S7	2.142120736	4.694050567	17.38019691	3026.087693	24.14481331	5.531106343	2.389673893	1.325501888	0.84126373	0.580977472	
Av	17444.44444	8722.222222	5814.814815	4361.111111	3488.888889	2907.407407	2492.063492	2180.555556	1938.271605	1744.444444	
Pdiss	0.103941792	0.167660368	0.2314333	0.295268496	0.35906687	0.4228333	0.486667334	0.550466463	0.614267592	0.67806687	
I5	0.00638	0.01276	0.01914	0.02552	0.0319	0.03828	0.04466	0.05104	0.05742	0.0638	
Vds5	0.981528662	0.663057325	0.344585987	0.02611465	-0.292356688	-0.610828025	-0.929299363	-1.247770701	-1.566242038	-1.884713376	